

ՀԱՅԱՍՏԱՐԻ ՔԻՄԻԱԿԱՐ ՀԱՐԴԵՍ

Химический журнал армении

CHEMICAL JOURNAL OF ARMENIA

Основан в 1947 г. Выходит 12 раз в год

■ ሆ P & Գ Ր & Կ & & Ն Կ ∩ Į Ն Գ Ի &

Ա. Թ. Բաբայան *(գլի. խմրագիր)*, Շ. Հ. Բադանյան *(գլի. խմրագրի տեղակալ)*, Գ. Հ. Գրիգորյան, Վ. Մ. Թառայան, Մ. Հ. Իննիկյան *(գլի. խմրագրի տեղակալ)*, Ա. Հ. Մանթաշյան, Մ. Գ. Մանվելյան, Գ. Թ. Մարտիրոսյան, Ս. Կ. Գիրենյան, Ս. Հ. Վարդանյան, Ս. Ա. Տեր-Դանիելյան *(պատ. բարառղար)*

РЕДАКЦИОННАЯ КОЛЛЕГИЯ

А. Т. Бабаян (глав. редактор), Ш. О. Баданян (зам. глав. редактора), С. А. Вартанян, Г. О. Григорян, М. Г. Инджикян (зам. глав. редактора), М. Г. Манвелян, А. А. Манташян, Г. Т. Мартиросян, С. К. Пиренян, В. М. Тараян, С. А. Тер-Даниелян (ответ. секретарь)

Маритель Рум в видь верым 19, Ридинали. Рум 144, был. 56-08-31 Адрес редакции: Ереван-19, Барекамутян, 24г, тел. 56-08-31

ዩበዺ ዜ ኔ ጉ ዜ ዛ በ ኮ **Թ** Ց በ Ւ Ն

	510
Ընդհանուշ և ֆիզիկական քիմիա	-
Միսիթարյան Ս. Լ., Սիմոնյան Լ. Խ., Մելքոնյան Ռ. Գ., Բեյլերյան Ն. Մ. — Ամինո- սպիրտների ազգեցությունը վինիլացետատ — ակրիլոնիարիլ սոպոլիմերման	83
Դրիզորյան Ս. Կ. — Ջրային միջավայրում կումոլի հիգրոպերօքսիզի հետ գիեթա- Նոլամինի ռեակցիայի կինհաիկան երկարժեք պղնձի բացակայությամբ և	87
առկայությամբ Եղոյան Ռ. Վ., Գրիզորյան Վ. Վ., Քեյլերյան Ն. Մ. — Դիմեթիլամինոէթիլմեթ- ակրիլատի պոլիմերման օրինաչափությունների ուսումնասիրությունը	
ժեթանոլ և ջուր-ժեթանոլային հոժոգեն ժիջավայրում	93
Ա ճօ ւգանական և անալի քիկ քիմիա	
Մանվելյան Մ. Գ., Հովճաննիսյան Է. Ռ., Գալսայան Վ. Դ. — CoCl ₂ – KAlO ₂ —	
K ₂ SiO ₃ —H ₂ O <i>տիստեմի ուսումնասիրությունը 20°-ում</i>	102
PP-վի վախազդևցությունը Pիաղինային շաբջի նևրկանյութերի հետ	106
Օրգանական քիմիա	
Մխիթարյան Գ. Ռ., Քինոյան Ֆ. Ս., Խրիմյան Ա. Գ., Բաղանյան Շ. Հ. — Հ <i>չադեցած</i> միացությունների ռեակցիաները։ LX1. Ալիլպրոպարգիլ հալողենիդների և	
ամինների տեսակցիաների յուրահատկությունները Մուշեղյան Ն. Գ., Վարդանյան Ա. Գ., Մելիքյան Մ. Հ. — 1-էթօքսիրուտին-2-ի	113
հիկրոսիլիլացումը Մհսրոպյան Է. Գ., Համբարձումյան Գ. Բ., Բունիաթյան Յու Ա., Դանդյան Մ. Տ.— Ոչ ոիմեարիկ օբոիրանների միջժոլեկուլային կոնղենսումը ցիկլիկ և ացիկ-	120
լիկ կետոնների ձետ Պողոսյան Ս. Հ., Հովճաննիսյան Լ. Լ., Չաուշյան Կ. Ա. — Ինղոլի ածանցյալներ։ LXIII. N-[(β-Իսդոլիլ-3')եՐիլ], N-[արանս-2-օջոիժեԲիլ-∆4-ցիկլոհեջոե	124
նիլ-1) մե թիլ]ամին և նրա աժանցյալները	129
Թարխանյան Հ. Ս. — Գղնձի ժոնոջլորիդի և աժոնիուժի ջլորիդի ջրային լու- ծույթներուժ ացետիլենի լուծելիության ուսուժնասիրությունը Թարխանյան Հ. Ս., Վարդանյան Մ. Հ. — Գղնձի ժոնոջլորիդի և աժոնիուժի ջլո-	134
րիդի ջրային լուծույթններում, ացետիլենի դիմերման մակրոկինետիկայի	139
ուսումնասիրություն Քադալյան Վ. Ե., Մկրտչյան Ա. Լ., Հովսեփյան Ս. Ս., Դոլունց Դ. Գ., հաչատրյան Ս. Ս. — Եթիլենի ժեթանոլից ժաջրժան պրոցեսի հետագոտությունները	135
ղութավունայից ղամբեր դիմանով	144
Կաոն հաղորդումներ	
Շաննազարյան Գ. Մ., Բայաթյան Բ. Է. — <i>Բրոմի միդրման ընտրողականությունը</i>	
հեմինալ թլորթրոմվինիլային միացությունները թթվածնով օբսիդացնելիս Պողոսյան Ս. Հ., Թադևոսյան Գ. Տ. — Ինղոլի ածանցյալներ։ LXIV, Իզոմեր 1,2,	149
3,4,4a,5,7,8,13b,13c-դեկանիդրո-13H-րենզ(g)-ինդոլա(2,3-a) ինդոլիզիններ Ալավերդյան Գ. Շ. — Գրոպանի Թերժիկ դանդապ օբսիգացժան ռեակցիայի վրա Գրի գոլորյիների, ացնտալդենիգի և Գրածնի պերօբսիդի նավելժան ազգե-	181
ըության ուսումնասիրժան ժեթոդիկայի ժառին	154
Նամակներ խմբագրությանը	
Քաղդասարյան Գ. Օ., Վարդանյան Ի. Ա., Նալբանդյան Ա. Բ. — <i>Գլատինի ժակե</i> -	
րևույթի վրա մեթիլչիգրոպերօքսիզի նույթայման ժամանակ ռադիկալների	157
anjugated	101

СОДЕРЖАНИЕ

	CT
Общая и физическая химия	
Мхитарян С. Л., Симонян Л. Х., Мелконян Р. Г., Бейлерян Н. М.— Влияние аминоспиртов на константы сополимеризации винилацетата	
с вкрилонитрилом	8
ностей полимеризации диметиламиноэтилметакрилата в метаноле и и водно-метанольных гом ленных средах	ç
Нерсесян Г. М., Аллавердян О. Б., Едигарин А. А. — Коррозия молибдена в стекломассе, содержащей окись свинца	9
Неорганическая и аналитическая химия	
Манвелян М. Г., Оганесян Э. Б., Гилстян В. Д Исследование системы	
$CoCl_2$ — $KAlO_2$ — K_2SiO_3 — H_2O при 20°	10
германиевой кислоты с тиазиновыми красителями	10
Органическая химия	
Мхитарян Г. Р., Киноян Ф. С., Хримян А. П., Баданян Ш. О. — Реакции	
непредельных соединений. LXI. Об особенностях реакции аллилпро- паргильных галогенидов с аминами	11:
Мушегян Н. Г., Вартанян А. Г., Меликян М. О. — Гидроксилирование	
1-этоксибутина-2	120
кетонами и кетонами алифанического ряда	124
Погосян С. А., Оганесян Л. Л., Чаушян К. А. — Производные индола. LXIII. N-[β -(индолил-3)этил]-, N-[(<i>транс</i> -2-оксиметил- Δ 4-циклогексе-	
нил-1)метил]амин и его производные	129
рах хлористой меди и хлористого аммония. I	134
мония. II	139
Бадалян В. Е., Мкртчян А. Л., Овсепян С. С., Долунц Д. Г., Хача- трян С. С. — Исследование процесса очистки эгилена от метанола с	
помощью молекулярных сит	144
Краткие сообщения	
Шахназарян Г. М., Баятян Б. Э. — О селективности миграции брома при	
окислении гем-бромхлорвиниловых соединений кислородом	149
Погосян С. А., Татевосян Г. Т. — Производные индола. LXIV. Изомерные 1,2,3,4,4а,5,7,8,13b,13c-декагидро-13H-бенз(g)индоло(2,3-а)индолизины .	151
Алавердян Г. Ш. — О методыке изучения влияния добавок перекиси водорода, ацетальдегида и паров возы на медленную реакцию термиче-	7.0
ского очисления пропана	154
Письма в редакцию	
Багдасарян Г. О., Варданян И. А., Налбандян А. Б. — Образование радика-	

CONTENTS

General and Physical Chemistry

The Influence of Aminoalcohols on Copolymerization Constants of Vi-	
nylacetate and Acrylonitrils	83
Grigorian S. K. — Kinetics of the Cumene Hydroperoxide-Diethanolamine	
Reaction in Aqueous Solutions in the Presence and Absence of Cupric	
lons ,	87
Eghoyan R. V., Grigorian V. V., Beylerian N. M Investigation of Di-	
methylaminoethylmethacrylate (DMAMA) Polymerization in Methanol	
and Methanol-Water Homogeneous Mixtures	93
Nersessian G. M., Alaverdian O. B., Yedigarian A. A Corrosion of Mo-	
lybdenum in Melted Lead Glass	97
Inorganic and Analytical Chemistry	-
Manuellan M. G., Houhanissian E. B., Galstian V. D Investigation of the	
CoCl ₂ -KAlO ₂ -K ₂ SiO ₃ -H ₂ O System at 20°C	102
Mirzoyan F. V., Tarayan V. M., Hairiyan E. K The Interaction of the	
Basic Dyes Dimethylthionine and Methilene Yellow with Molibeloger-	
manic Acid	106
Organic Chemistry	
Mchilarian G. R., Kinoyan F. S., Khrimian A. P., Badanian Sh. H Reac-	
tions of Unsaturated Compounds. LXI. The Specialities of the Reaction	
between Allyl Propargyl Halides and Amines	113
Musheghlan N. G., Vardanian A. G., Meliklan M. H Hydrosilylation of	110
1-Ethoxybutyn-2	120
Mesropian E. G., Hambartsoumian G. B., Bouniatian Yu. A., Danghian M. T.—	120
Intramolecular Condensation of Non-Symmetrical Oxiranes with some	
Cyclic and Aliphatic Ketones	124
Poghossian S. H., Hovhannissian L. L., Chaoushian K. A Indole Deri-	
vatives. LXIII. N-[β-(Indolyl-3')ethyl], N-[(trans-2-oxymethyl-Δ4-cyclo-	
hexenyl-1)methyl]amine and Its Derivatives	129
Tarkhanian H. S Studies of Acetylene Solubility in Aqueous Solutions of	
Cuprous Chloride and Ammonium Chloride	134
Tarkhanian H. S., Vardanian M. H Studies of Macrokinetics of Acetylene	
Dimerization in Aqueous Solutions of Cuprous and Ammonium Chio-	
rides	139
Badalian V. E., Mkrtchian A. L., Ovseplan S. S., Dolountz D. G., Khacha-	
trian S. S. — Investigation of the Ethylene Purification Process from	
Methanol with Molecular Sieves	144
Short Communications	
Shahnazarian G. M., Bayatian B. E About the Selective Migration of	
Bromine in the Oxidation of hem-Bromochlorovinyl Compounds with	
Oxygen	149
Poghossian S. H., Tatevossian G. T Indole Derivatives. LXIV. 1,2,3,4,48,	
5,7,8,13b,13c-Decahydro-13H-benz(g)indolo(2,3-a)indolizine Isomers	151
Alaverdian G. Sh About the Methods of Investigating the Influence of	
Hydrogen Peroxide, Acetaidehyde, and Steam Additions on the Slow	
Thermal Oxidation of Propane	154
Letters to the Editor	
Baghdassarian G. O., Vardanian I. A., Nalbandian A. B The Evidense of	
Forming of OH Radicals by Decomposition of Methyl Hydroperoxide	
on the Platinum Surface	157
Армянский химический журнал, XXXII, 2—6	107

XXXII, № 2, 1979

ОБЩАЯ И ФИЗИЧЕСКАЯ ХИМИЯ

УДК 678.745.32—139 (088.8)

ВЛИЯНИЕ АМИНОСПИРТОВ НА КОНСТАНТЫ СОПОЛИМЕРИЗАЦИИ ВИНИЛАЦЕТАТА С АКРИЛОНИТРИЛОМ

С. Л. МХИТАРЯН, Л. Х. СИМОНЯН, Р. Г. МЕЛКОНЯН и Н. М. БЕИЛЕРЯН

Ереванский государственный университет

Поступило 16 XII 1977

Проведена совместная полимеризация винилацетата и акрилонитрила, инициированная перекисью бензоила (ПБ) в присутствии триэтаноламина (ТЭА), диэтанолэтиламина (ДЭтЭА) и диэтилэтаноламина (ДЭЭтА).

Рассчитаны константы сополниеризации. Установлено, что аминоспирты влияют на относительную реакционноспособность винилацетата и акрилонитрила. Предполагается, что влияние их обусловлено образованием комплексов между молекулами аминоспиртов и макромолекулами.

Рис. 4, табл. 1, библ. ссылок 5.

Полученные ранее данные по полимеризации винилацетата в массе в присутствии двухкомпонентной инициирующей системы—перекись бензоила (ПБ) и аминоспирты—показали, что аминоспирты не только участвуют в актах инициирования и передачи цепи, но и влияют на отношение $k_p/\sqrt{k_{00}}$ [1, 2], что объяснялось возможностью участия аминоспиртов в актах роста и обрыва цепи. Предполагалось образование комплекса между молекулами аминоспиртов и поливинилацетатными радикалами. Для подтверждения вышеуказанного предположения была проведена совместная полимеризация винилацетата и акрилонитрила, т. к. константы сополимеризации непосредственно связаны с константой роста цепи.

Экспериментальная часть и обсуждение результатов

Изучена сополимеризация винилацетата (M_1) и акрилонитрила (M_2) в массе при четырех различных соотношениях (M_1) и (M_2) , при постоянной концентрации перекиси бензоила и динитрила азо-бис-изомасляной кислоты, при четырех переменных концентрациях аминоспиртов. Конверсии не первышали 10%. Полученный сополимер осаждали

гексаном. Сополимер неоднократно промывали этанолом или ацетоном с целью очистки сополимера от частично образовавшихся гомополимеров винилацетата.

Пленки сополимера, приготовленные из 35% диметилформамидного раствора, исследовались на инфракрасном спектрометре «UR-20» в области 2900—700 см⁻¹. За изменением поглощения характерных групп С=О и С≡N следили по полосам 1700 и 2340 см⁻¹, соответственно. Было установлено, что независимо от природы аминоспирта с увеличением его концентрации включение количества винилацетатных звеньев в цепь сополимера увеличивается. Состав определялся на рефрактометре «URФ-23» и рассчитывался согласно формуле

$$X_{\rm A}n_{\rm D}^{\rm A}+(1-X_{\rm A})n_{\rm D}^{\rm B}=\bar{n}_{\rm D}^{\rm AB}$$

В таблице приведен один частный пример.

динитонл азо-бис-изо-

масляная кислота

Таблица Состав сополимера для исходной смеси мономеров [BA] 48 52 [AK] Триэтанол-Перекиси, XRA nD амин, 6,8.10-8 MOAD A 10-3 MOAB/A 0,362 0,378 6,8 13,6 1,5066 1,5060 перекись бензоила 1,5055 0,400

1,5050

1,5065

1,5043

1,4995

0,405

0,37

0,392

0,445

Константы сополимеризации определялись методом Майо и Льюиса, Альфрея, Гольфингера.

6,8

13,6

20,4

На рис. 1—4 иллюстрирована зависимость состава сополимеров от состава исходной смеси при различных количествах добавок триэтаноламина и этилдиэтаноламина и приведены значения r_1 и r_2 для различных аминов и их начальных концентраций.

Изученные аминоспирты отличаются друг от друга количеством спиртовых групп. Установлено, что с уменьшением числа ОН групп в молекуле усиливается влияние аминоспирта на константы роста цепи.

По-видимому, это обусловлено возможностью образования водородных связей между ОН группами аминоспиртов и свободной валентностью макрорадикалов. Это взаимодействие приводит к умснышению реакционноспособности макрорадикалов. Естественно, что степень взаимодействия во многом зависит от числа ОН групп в аминоспирте.

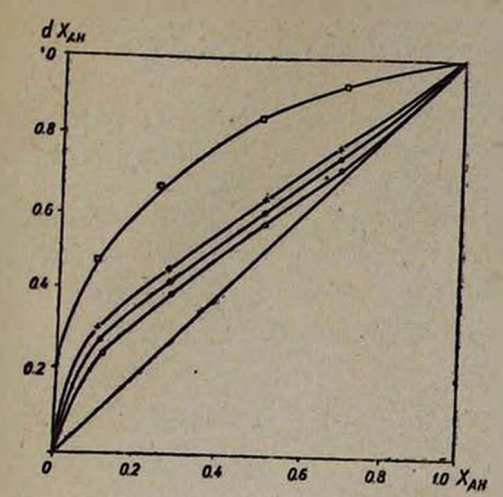
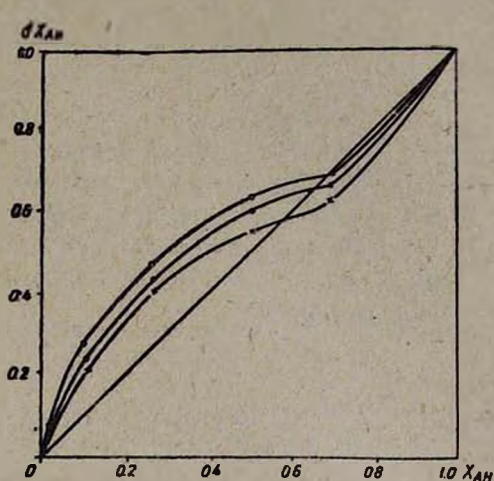


Рис. 1. $[\Pi B]_0 = 6.8 \cdot 10^{-3}$ моль/л, $[A]_0 = 13.6 \cdot 10^{-3}$, $-13.6 \cdot 10^{-3}$,



PHC. 2. $[IAK]_{\bullet} = 6.8 \cdot 10^{-3} \text{ MOAb/A},$ $[A]_{\bullet} - T \ni A, \bigcirc -6.8 \cdot 10^{-3}, \bullet -13.6 \cdot 10^{-3},$ $x - 20.4 \cdot 10^{-3} \text{ MOAb/A}, \bigcirc -r_1 = 0.26,$ $r_2 = 1.11; \bullet -r_1 = 0.28, r_2 = 0.98; x -r_1 = 0.25, r_2 = 0.46.$

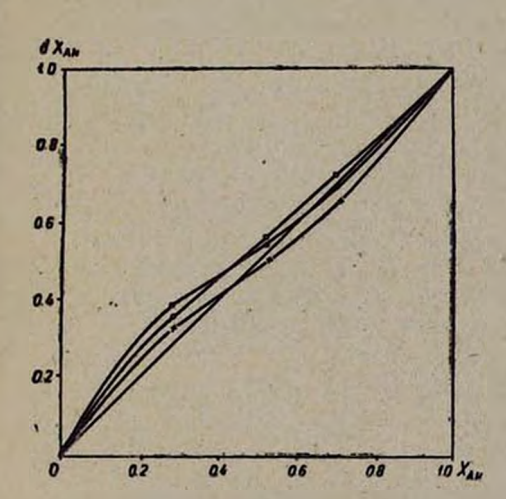


Рис. 3.3 [ПБ] = $6,8 \cdot 10^{-3}$ моль/л. [А].— ДЭтолЭА. О — $6,8 \cdot 10^{-8}$, • — $13,6 \cdot 10^{-8}$, х — $20,4 \cdot 10^{-3}$ моль/л. О — $r_1 = 0,52$, $r_2 = 0,76$; • — $r_1 = 0,57$, $r_2 = 0,67$; х — $r_1 = 0,54$, $r_2 = 0,60$.

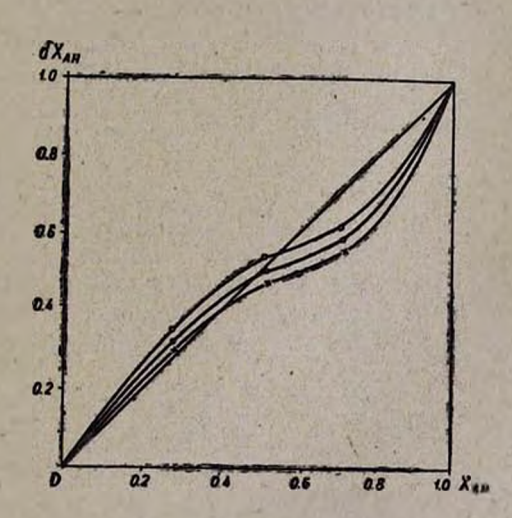


Рис. 4. [ДАК]₀ = 6,8·10⁻⁸ моль/л. [А]₀ — ДЭтолЭА. О — 6,8·10⁻⁸. • — 13,6·10⁻⁸, х — 20,4·10⁻⁸ моль/л. О — r_1 = 0,40, r_2 = 0,38; • — r_1 = 0,52. r_2 = 0,42; х — r_1 = 0,55, r_2 = 0,38.

ԱՄԻՆՈՍՊԻՐՏՆԵՐԻ ԱԶԴԵՑՈՒԹՅՈՒՆԸ ՎԻՆԻԼԱՑԵՏԱՏ_ ԱԿՐԻԼՈՆԻՏՐԻԼ ՍՈՊՈԼԻՄԵՐՄԱՆ ՀԱՍՏԱՏՈՒՆՆԵՐԻ ՎՐԱ

Ս. Լ. ՄԽԻԹԱՐՅԱՆ, Լ. Խ. ՍԻՄՈՆՅԱՆ, Ռ. Գ. ՄԵԼՔՈՆՅԱՆ և Ն. Մ. ԲԵՑԼԵՐՅԱՆ

Ուսումնասիրվել է վինիլացետատի և ակրիլոնիտրիլի համատեղ պոլիմեկումը՝ հարուցված բենզոիլպերօջսիդով, տրիէքանոլ-, դիէքանոլէքիլ- և դիէքիլէքանոլամինների ներկայությամբ, Հաշվվել են սոպոլիմերման հաստատունները։ Հաստատված է, որ ամինասպիրտները ազդում են վինիլացետատի և ակրիլոնիտրիլի հարաբերական ռեակցիոնունակության վրա։ Ծնթադրվում է, որ այն պայմանավորված է մակրոմոլեկուլի և սպիրտի միջև կոմպլեքսի առաջացումով,

THE INFLUENCE OF AMINOALCOHOLS ON THE COPOLYMERIZATION CONSTANTS OF VINYL ACETATE AND ACRYLONITRILE

S. L. MKHITARIAN, L. Kh. SIMONIAN, R. G. MELKONIAN and N. M. BEYLERIAN

The copolymerization of vinyl acetate and acrylonitrile initiated by benzoyl peroxide and in aminoalcohol systems (triethanol, diethylethanol and ethyldiethanolamines) has been carried out.

It is assumed that complexes are formed between growing macroradicals and aminoalcohol molecules.

ЛИТЕРАТУРА

- 1. Н. М. Бейлерян, С. Л. Мхитарян, О. А. Чалтыкян, Арм. хим. ж., 25, 570 (1972).
- 2. С. Л. Мхитарян, О. А. Чалтыкян, Н. М. Бейлерин, Арм. анм. ж., 21, 376 (1968).
- 3. С. Л. Мхитарян, О. А. Чалтыкян, Н. М. Бейлерян, Арм. хим. ж., 22, 384 (1969).
- 4. R. G. Fordyce, E. G. Chapin, G. E. Ham, J. Am. Chem. Soc., 70, 2489 (1948).
- 5. L. P. Witnauer, N. Watkins, W. S. Port, J. Pol. Sci., 20, 213 (1956).

XXXII, № 2, 1979

УДК: 547.128+546.55

КИНЕТИКА РЕАКЦИИ ГИДРОПЕРЕКИСИ КУМОЛА С ДИЭТАНОЛАМИНОМ В ВОДНОЙ СРЕДЕ В ОТСУТСТВИЕ И В ПРИСУТСТВИИ ДВУХВАЛЕНТНОЙ МЕДИ

С. К. ГРИГОРЯН

Ереванский государственный университет

Поступнло 27 IX 1977

Установлено, что ГІ!Қ в присутствии диэтаноламина (ДЭолА) расходуется двумя параллельными реакциями второго порядка. Одна из ших—катализированный распад димера ГПК под действием молекулы аминоспирта (II), вторая—непосредственная реакция между ГПК и ДЭолА (I). Обе реакции нерадпкальные. Температурная заваная зависимость констант скоростей выражается уравнениями

$$K_1 = 2.88 \cdot 10^{11} \cdot e^{-\frac{20600}{RT}}$$
 A/MOND-MUH (1)

$$K_2 = 2.85 \cdot 10^{\circ} \cdot e^{-\frac{17700}{RT}} \Lambda / MOAb \cdot MUH$$
 (11)

Найдено также, что комплекс Cu^{2+} с ДЭолА катализирует распад ГПК. Эта реакция радикально-цепная и $W_{\text{кат.}} = K_{\text{кат.}} \cdot (Cu^{2+})^{0.7} \cdot (\Gamma \Pi K)$ (ДЭолА). Температурная зависимость констант скоростей выражается уравнениями

$$K_{\text{кат.}} = 1,32 \cdot 10^9 \cdot e^{-\frac{16000}{RT}}$$
 л/моль-мин (на воздухе).
$$K_{\text{кат.}} = 4,42 \cdot 10^9 \cdot e^{-\frac{14000}{RT}}$$
 л/моль-мин (в атмосфере N_2)

Рис. 2, табл. 2, библ. ссылок 11.

Из ранних работ [1—4] известно, что в водных растворах в присутствии аминоспиртов (кроме моноэтаноламина) гидроперекись кумола (ГПК) расходуется двумя параллельными реакциями второго порядка: каталитически—под действием молекулы аминоспирта, и непосредственной реакцией ГПК с аминоспиртом. Было показано, что каталитическая активность аминоспирта обусловлена наличием в молекуле аминой и гидроксильной групп [4, 5]. Не содержащие спиртовых групп амины не обладают каталитической активностью [5—8].

В работах [9, 10] показано также, что катионы переменной валентности (Cu²⁺, Co²⁺, Mn²⁺ и др.) катализируют распад ГПК в присутствии триэтаноламина, триэтиламина и морфолина. Наблюдаемый перерасход гидроперекиси в этих реакциях обусловлен действием кинетически активных комплексов катионов с аминами (состав 1:1), что показано данными ИК и ПМР спектров.

Кинетика реакции ГПК с ДЭолА. Исследования проводились в интервале 60—80°, с варьированием исходных концентраций ГПК от 0,015 до 0,050 и ДЭолА от 0,02 до 0,50 моль/л. Полученные данные показали некоторую общность кинетических закономерностей распада ГПК в присутствии ранее изученных нами аминоспиртов [11]. Как в случае последних аминоспиртов, так и в присутствии ДЭолА стехиометрия 1А:1,12 ГПК, порядок по компонентам равен единице (суммарно—двум), одновременно протекают две независимые параллельные реакции второго порядка. Катализированный распад ГПК протекает через промежуточное образование активированного комплекса димера ГПК с диэтаноламином. Исследованием кинетики реакций ГПК с аминоспиртами в присутствии КОН установлено [8], что миграция протона молекулы ГПК происходит под действием как щелочи, так и молекул аминоспиртов.

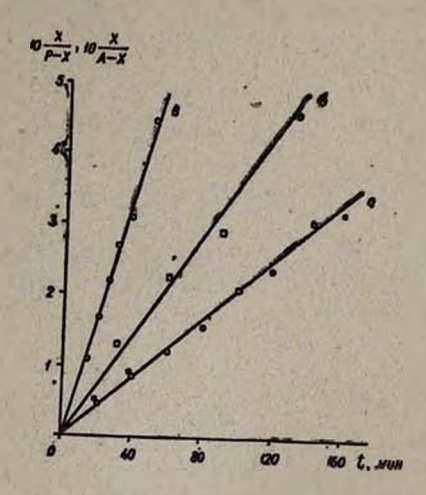


Рис. 1. Иллюстрация второго порядка реакции ГПК + ДЭолА в отсутствие и в присутствии Cu^{2+} при $[\Gamma\Pi K]_0 = [ДЭолА]_0 = 0.05$ моль/л, $t = 80^\circ$. a—по расходу ДЭолА в отсутствие (\bullet) и в присутствии (\circ) Cu^{2+} , δ — по расходу ГПК при $[Cu^{2+}]_0 = 0$, s— по расходу ГПК при $[Cu^{2+}]_0 = 1.10^{-4}$ г-ион/л.

Непосредственная же реакция протекает между молекулами гидроперекиси и аминоспирта, как и в случае ГПК с другими аминоспиртами. При условии (ГПК) $_0 \ll (ДЭолА)_0$ катализированная аминоспиртом реакция подавляется, и константа скорости K_1 , рассчитанная в этом случае по убыли ГПК, равна константе скорости (K_A) непосредственной реакции ГПК с ДЭолА, рассчитанной по убыли аминоспирта при (ГПК) $_0 = (ДЭолА)_0$. Однако в последнем случае значение константы скорости K_p , рассчитанной по убыли ГПК, получается больше, чем K_A . Значения K_A и K_p можно получить также графически (рис. 1). Например, для 80° $K_1 = 0.0433$, $K_A = 0.0438$, а $K_p = 0.075$ л/моль. мин. И в этом отношении ДЭолА сходен с остальными аминоспиртами [8].

На основании полученных кинетических данных для суммарной скорости реакции ГПК с ДЭолА получено следующее уравнение, известное для реакций ГПК с другими аминоспиртами [8]:

$$W_{\text{cyans.}} = W_1 + W_2 = K_1(A_0)(P_0) + K_2(P_0)^2 \tag{1}$$

где W_1 — скорость непосредственной реакции между ГПК и ДЭолА, W_2 — скорость катализированной аминоспиртом реакции.

Если $(\Gamma \Pi K)_0 = (ДЭолА)_0$, то из уравнения (1) получается

$$W_{\text{cymm.}} = K_p (P_0)^2 \tag{2}$$

где

$$K_{p} = K_{1} + K_{2}. (3)$$

Зная K_p и K_1 , по разности рассчитывается K_2 (табл. 1).

Таблица 1 Зависимость констант скоростей от температуры. $(\Gamma\Pi K)_0 = (\mathcal{L}\Theta \circ \Lambda A)_0 = 0.05$ мольіл

$10^4 \cdot \frac{1}{T}$	102. Kp, л/моль. мин	102 · K ₁ . л/моль · мин	$ \begin{array}{c} 10^2 \cdot K_2 = K_p - K_1, \\ $		
28,33	7,50	4,33	3,17		
29,15	3,60	2,20	1,40		
29,60	2,44	1,38	1,07		
30,00	1,40	0,78	0,72		

Температурные зависимости К1 и К2 выражаются уравнениями

$$K_1 = 2,88 \cdot 10^{11} \cdot e^{-\frac{20600}{RT}} \, \text{ n/monb·muh}$$
 (4)

$$K_2 = 2.85 \cdot 10^8 \cdot e^{-\frac{17700}{RT}}$$
 $n/моль \cdot мин$ (5)

Кинетика реакции ГПК с ДЭолА в присутствии Си²⁺. Показано, что в присутствии триэтанол-, диэтанол-, моноэтанол-, триэтиламинов и морфолина в отличие от катионов Cu2+, Co2+, Mn2+ двухвалентный ион никеля не оказывает каталитического влияния на распад ГПК. Это указывает на то, что комплексы Ni2+ с указанными аминами не обладают каталитической активностью. Наоборот, купри-ион оказывает каталитическое действие на реакцию ГПК с ДЭолА. Показано, что в присутствии винилацетата, стабильного иминоксильного радикала и кислорода реакция ГПК + ДЭолА + Cu²⁺ замедляется. Учитывая тот факт, что упомянутые вещества в отсутствие Cu²⁺ не влияют на скорость реакции ГПК+ДЭолА, можно заключить, что катализированная купри-ионом реакция радикально-цепная (но цепи очень короткие). Это доказано также методом ЭПР. Интересно отметить, что как в отсутствие, так и в присутствии Cu²⁺ диэтаноламин расходуется с одинаковой скоростью (рис. 2). Однако в присутствии катиона скорость расхода ГПК больше. Это указывает на то, что Cu2+ в реакционной среде не способствует окислению аминоспиртом. Кроме того, в отсутствие аминов Со²⁺, Мп²⁺, а также Си²⁺ не вызывают распада ГПК [10]. Отсюда следует, что комплекс Cu^2+ -ДЭолА катализирует распад ГПК (причем ДЭолА не окисляется). С целью подтверждения данного предположения нами полярографически изучена кинетика накопления альдегида как продукта окисления диэтаноламина в отсутствие и в присутствии Cu^2+ . Оказалось, что Cu^2+ не влияет на скорость его образования. Методом ТСХ доказано отсутствие в продуктах реакции других аминоспиртов (кроме ДЭолА). Более того, конечные стабильные продукты реакции не влияют на скорость реакции. Нет солевых эффектов. Малые добавки КОН одинаково увеличивают суммарную скорость реакции ГПК+ДЭолА и ГПК-ДЭолА+ Cu^2+ .

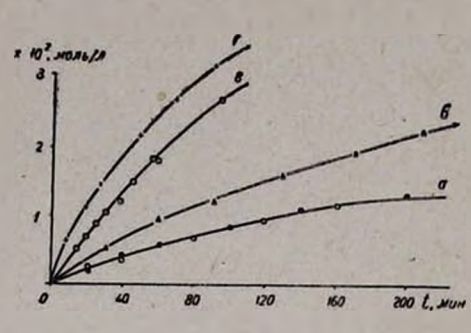


Рис. 2. Сравнение расходов ГПК и ДЭолА в отсутствие и в присустсвии Cu^{2+} при $t=80^{\circ}$. $[\Gamma\Pi K]_{\bullet}=[ДЭолА]_{\bullet}=$ = 0,05 моль/л. $[Cu^{2+}]_{0}=10^{-3}$ моль/л. a- расход ДЭолА в отсутствие (\bullet) и в присутствии (\bullet) С u^{2+} . b- расход ГПК в присутствии Cu^{2+} . b- расход ГПК в присутствии Cu^{2+} . (все на воздухе), b- расход ГПК в присутствии b- С u^{2+} . (все на воздухе), b- расход ГПК в присутствии b- С u^{2+} . (в атмосфере азота).

В результате каталитического распада ГПК под действием комплекса Cu^{2+} с Д Θ олA происходит бурное выделение кислорода и образуется 2-фенилпропан-2-ол.

Ввиду сложности исследуемой системы порядки по реагентам, а также эффективные константы скоростей реакции определялись с использованием начальных скоростей при условиях: $(\Gamma\Pi K)_0 = 0.015 - 0.05$, $(\mathcal{L}\Theta \circ A)_0 = 0.02 - 0.5$, $(CuSO_4) = 10^{-4} - 4 \cdot 10^{-3}$ моль/л, $t = 80^\circ$.

Таким образом, суммарная скорость реакции в присутствии Cu²⁺ выражается уравнением

$$W_{\text{сумм.}} = W_1^0 + W_2^0 + W_3^0 = K_1(A_0)(P_0) + K_2(P_0)^2 + K_{\text{ker.}} \cdot (\text{Cu}^{2+})^{0.7} (A_0)(P_0)$$
(6)

где W_1^0 — начальная скорость непосредственной реакции между ГПК и ДЭолА, W_2^0 — начальная скорость распада димера ГПК, катализированного аминоспиртом, W_3^0 — начальная скорость катализированного комплексом катион-аминоспирт распада ГПК.

Как известно [11], при $(A_0)\gg(P_0)$ W_2^0 можно пренебречь, и из уравнения (6) получим

$$W_{\text{сумм.}} = W_1^0 + W_3^0 = K_{8\phi\phi.}(P_0) \tag{7}$$

где

$$K_{8\phi\phi} = K_1(A_0) + K_{KRT}(Cu^{2+})^{0.7} \cdot (A_0) = W_{\text{cyrox.}}^0/(P_0)$$
 (8)

Значение K_1 — константы скорости непосредственной реакции ГПК с ДЭолА, известно, например, при 80° $K_1=0.014$ л/моль мин. Полученные значения для $K_{\rm soph}$ и $K_{\rm sat}$. при различных концентрациях ${\rm Cu}^{2+}$ приведены в табл. 2.

Таблица 2 Значения $K_{9\Phi\Phi}$. и K_{xat} . при различных концентрациях Cu^{2+} при 80° (ГПК) $_{0}=(ДЭол A)_{0}=0,05$ моль/л

К _{эфф.} , п/моль-мин	$K_{\text{кат.}} = K_{9\varphi\varphi} - K_1,$ $A/MOAb \cdot MUH$	(Cu ²⁺) ₀ , моль/л		
0,754	0,710	1.10-3		
0,483	0,440	5-10-4		
0,167	0,123	1.10-4		
0,143	0,099	5-10-5		
0,123	0,033	1-10-5		

Изучив реакцию при 60, 65, 70 и 80° на воздухе и в атмосфере азота, получили следующие значения констант скоростей:

$$K_{\text{в озд.}} = 1,32 \cdot 10^{9} \cdot e^{-\frac{16000}{RT}}$$
 л/моль · мин,
$$K_{\text{N}_{\text{0}}} = 4,42 \cdot 10^{9} \cdot e^{-\frac{14000}{RT}}$$
 л/моль · мин

ደቦԱՑԻՆ ՄԻԶԱՎԱՑՐՈՒՄ ԿՈՒՄՈԼԻ ՀԻԴՐՈՊԵՐՕՔՍԻԴԻ ՀԵՏ ԴԻԷԹԱՆՈԼԱՄԻՆԻ ՌԵԱԿՑԻԱՑԻ ԿԻՆԵՏԻԿԱՆ ԵՐԿԱՐԺԵՔ ՊՂՆՁԻ ԲԱՑԱԿԱՑՈՒԹՑԱՄԲ ԵՎ ԱՌԿԱՑՈՒԹՑԱՄԲ

Ս. Կ. ԳՐԻԳՈՐՏԱՆ

Հաստատված է, որ դիէթանոլամինի (ԴէԱ) առկայությամբ կումոլի հիդրոպերօքսիդը (ԿՀՊ) ծախսվում է երկու իրար զուգահեռ երկրորդ կարդի ռեակցիաներով, որոնք ռադիկալային բնույթի չեն։ Պարզված է նաև, որ Cu²+-ամին կոմպլեքսը կատալիզում է ԿՀՊ-ի քայքայումը առանց ամինի ծախսի։ Այդ ռեակցիան ռադիկալային-շղթայական բնույթի է, որի արագությունը արտահայտվում է հետևյալ հավասարումով.

$$W_{4--} = K_{4--} (Cu^{2+})^{0,7} (449) (744)$$

KINETICS OF THE CUMENE HYDROPEROXIDE-DIETHANOLAMINE REACTION IN AQUEOUS SOLUTIONS IN THE PRESENCE AND ABSENCE OF CUPRIC IONS

S. K. GRIGORIAN

It has been established that two parallel second order non-radical reactions occur in the presence of diethanolamine. It has been shown that besides these two reactions a third one also takes place being a radical-chain reaction in nature and proceeding through cumene hydroperoxide decomposition catalyzed by Cu²⁺-amine complexes.

ЛИТЕРАТУРА

- 1. Н. М. Бейлерян, С. К. Григорян, О. А. Чалтыкан, Изв. АН ССР, 17, 225 (1964).
- 2. Н. М. Бейлерян, С. К. Григорян, О. А. Чалтыкян, Изв. АН Арм. ССР, 17, 246 (1964).
- 3. Н. М. Бейлерян, С. К. Григорян, О. А. Чалтыкян, Изв. АН Арм. ССР, 17, 604 (1964).
- 4. О. А. Чалтыкян, С. К. Григорян, Н. М. Бейлерян, Изв АН Арм. ССР, 18, 183 (1965).
- 5. С. К. Григорян, О. А. Чалтыкян, Н. М. Бейлерян, Т. Ш. Севоян, Е. Я. Варданян, Кин. и квт., 13, вып. 3, 785 (1972).
- 6. С. К. Григорян, З. З. Меликсетян, Н. М. Бейлерян, Арм. хим. ж., 20, 333 (1967).
- 7. Н. М. Бейлерян, О. А. Чалтыкян, С. К. Григорян, З. З. Меликсетян, Арм. хим. ж., 21, 8 (1968).
- 8. С. К. Григорян, Уч. зап ЕГУ, 3, 58 (1975).
- 9. С. К. Григорян, Л. Г. Мелконян, Р. П. Мхитарян, Арм. хим. ж., 28, 10 (1975).
- 10. С. К. Григорян, Арм. хим. ж., 8, 663 (1976).
- 11. О. А. Чалтыккн, Н. М. Бейлерян, С. К. Григорян, Успехи химии орг. перекисных соединений, Изд. «Химия», М., 1969, стр. 171.

2 Ц 3 Ч Ц Ч Ц Ъ Ф Р Г Р Ц Ч Ц Ъ Ц Г П Ц Ч Р Г АРМЯНСКИЯ ХИМИЧЕСКИЯ ЖУРНАЛ

XXXII, № 2, 1979

УДК 541.127

ИССЛЕДОВАНИЕ ЗАКОНОМЕРНОСТЕЙ ПОЛИМЕРИЗАЦИИ ДИМЕТИЛАМИНОЭТИЛМЕТАКРИЛАТА В МЕТАНОЛЕ И ВОДНО-МЕТАНОЛЬНЫХ ГОМОГЕННЫХ СРЕДАХ

Р. В. ЕГОЯН, В. В. ГРИГОРЯН и Н. М. БЕЙЛЕРЯН Ереванский государственный университет Поступило 1 XII 1977

Исследовалась инициированныя динитрилом азоизомасляной кислоты кинетика полимеризации диметиламиноэтилметакрилата в метаноле и водно-метанольных средах.

В присутствии воды скорость полимеризации уъеличивается в 2 раза. При неизменном значении эффективной энергии акпивации (Е=17 ккал/моль) присутствие воды увеличивает значение предэкспонента в 4 раза. Наслюдаемые явления объяснены компактизацией макрорадикалов и макромолекул полидиметиламиноэтилметакрилата под действием осадителя—воды, и затруднением бимолекулярного обрыва.

Рис. 4, библ. ссылок 7.

Влияние среды на радикальную полимеризацию разных мономеров представляет не только теоретическое, но и практическое значение.

Известно влияние конформационных факторов, а также «качества» растворителя на квадратичный обрыв и кинетику радикальной полимеризации [1, 2]. Изменение кинетических параметров полимеризации и молекулярной массы полимера авторы объясняют свертыванием макромолекулярных клубков при ухудшении «качества» растворителя.

С практической точки зрения перспективно проведение полимеризации и сополимеризации в смесях растворителей, вариация состава которых позволяет регулировать скорость полимеризации, молекулярную массу полимера, а также состав сополимеров и их молекулярную и композиционную полидисперсность.

С этой точки зрения представляет интерес диметиламиноэтилметакрилат (ДМАЭМ), применяемый при синтезе ошитых и растворимых полиэлектролитов [3].

Изучались закономерности полимеризации ДМАЭМ в метаноле и водно-метанольной среде с целью выяснения влияния воды—осадителя, на кинетические и молекулярные параметры процесса.

Кинетика полимеризации ДМАЭМ, инициированной динитрилом азоизомасляной кислоты, изучалась в метаноле и водно-метанольных гомогенных растворах. Присутствие в полимеризационной среде 23% воды при сохранении гомогенности увеличивает скорость полимеризации в 2 раза (рис. 1). Присутствие воды увеличивает также молекулярные веса полученных полимеров, что наглядно видно из значений характери-

стической вязкости полимеров (рис. 2). В исследованных средах определялись порядки полимеризации по мономеру и инициатору, которые соответственно составляют ~ 0.8 и ~ 0.5 . Аномальный порядок по мономеру получили и другие авторы [5, 6].

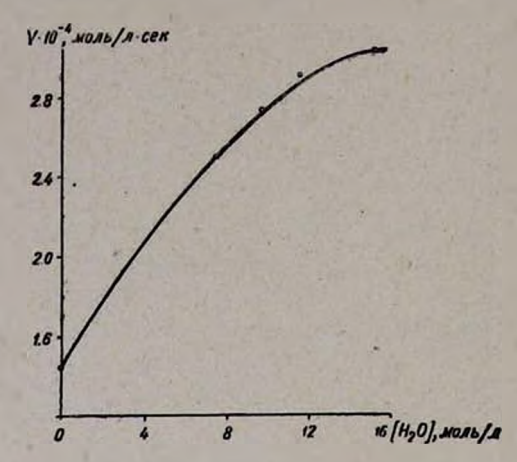


Рис. 1. Зависимость скорости полимеризации ДМАЭМ от концентрации воды при [ДМАЭМ] = 4,25, [ДАК] = $1.5 \cdot 10^{-2}$ моль/л, $t = 50^{\circ}$.

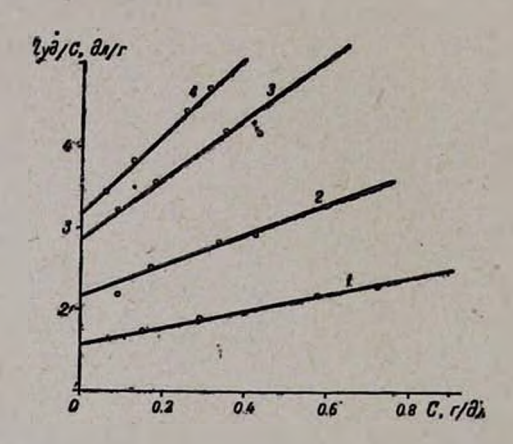


Рис. 2. Зависимость приведенной вязкости от концентрации растворов ПДМАЭМ для полимеров, полученных в: 1—CH₃OH, 2—H₂O + CH₃OH ([H₂O]=7,83 моль/л), 3—H₂O+CH₃OH ([H₂O]=12,6 моль/л), 4—воде, $t=30^\circ$.

В этом случае отклонение от первого порядка можно объяснить тем, что скорость полимеризации ДМАЭМ в массе меньше, чем в метаноле и, тем более, в водно-метанольных средах (рис. 1).

При изучении энергетики процесса выяснилось, что эффективная энергия активации полимеризации в обеих системах почти одна и та же и равна 17 ккал/моль (рис. 3), между тем присутствие воды увеличивает значение предэкспонента в 4 раза. В метаноле он равен 4,92·10⁷, а в водно-метанольной среде—19,45·10⁷ м⁻¹·сек⁻¹. Следовательно, наличие воды в полимеризационной системе не влияет на реакционную способ-

ность растущего макрорадикала, а является стерическим препятствием бирадикального обрыва, т. к. вода, будучи осадителем для ПДМАЭМ, влияет на конформацию макрорадикалов, делая их более компактными (среда не влияет также на скорость распада ДАК, $E_{\rm ин}=30~\kappa \kappa a n/moль$ [7]).

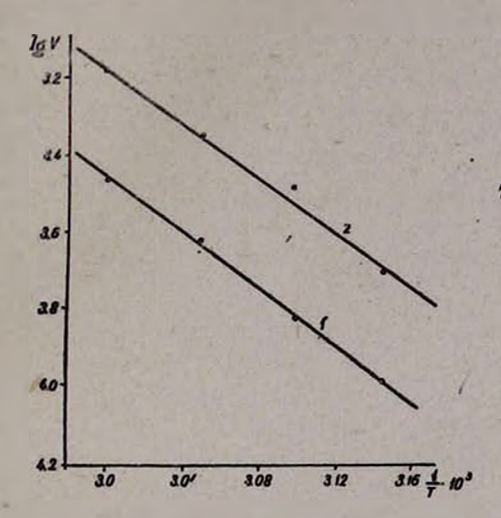


Рис. 3. Зависимость логарифма скорости полимеризации ДМАЭМ от 1/T при [ДМАЭМ] = 4,25 моль/л, [ДАК] =1,5 \cdot \cdot 10^{-2} моль/л. 1-E=17 ккал/моль в CH₃OH, 2-E=17.5 ккал/моль в 1 H₂O + CH₃OH при H₂O= 20° /₀.

Рис. 4. Зависимость приведенной вязкости от концентрации растворов ПДМАЭМ в: 1 — метаноле, 2, 3 — водно-метанольных средах $(2 - H_2O)$: $cH_3OH=1:1$, 3 — $H_2O:cH_3OH=3:1$).

Гидродинамическое поведение ПДМАЭМ в растворе изучалось путем измерения вязкости растворов одного и того же образца ПДМАЭМ в метаноле и водно-метанольных средах (рис. 4). Из зависимости приведенной вязкости от концентрации видно явное уменьшение характеристической вязкости ПДМАЭМ в водно-метанольных средах (кр. 2, 3), и при наличии в среде 75% воды [η] уменьшается почти в 5 раз. Были определены средневесовые молекулярные массы образцов ПДМАЭМ, полученные в метаноле, $\overline{M}_{\varpi} = 5 \cdot 10^5$.

Таким образом, увеличение скорости полимеризации в присутствии воды при неизменном значении энергии активации является результатом изменения конформации макрорадикалов и уменьшения вероятности квадратичного обрыва цепи.

Экспериментальная часть

ДАК очищали двойной перекристаллизацией из метилового спирта. Мономер перегоняли в вакууме, ДМАЭМ, т. кип. 48°, d_D^{20} 0,92, n_D^{20} 1,44. Кинетические измерения проводились дилатометрически, измерения вяз-

кости растворов полимеров-в вискозиметре Уббеллоде с висячим уровнем.

Молекулярные массы \overline{M}_w ПДМАЭМ были определены в ацетоне при комнатной температуре методом светорассеяния на фотогонидиффузометре «Sofica».

ԴԻՄԵԹԻԼԱՄԻՆՈԷԹԻԼՄԵԹԱԿՐԻԼԱՏԻ ՊՈԼԻՄԵՐՄԱՆ ՕՐԻՆԱ ՉԱՓՈՒԹՅՈՒՆՆԵՐԻ ՈՒՍՈՒՄՆԱՍԻՐՈՒԹՅՈՒՆԸ ՄԵԹԱՆՈԼ ԵՎ ՋՈՒՐ–ՄԵԹԱՆՈԼԱՅԻՆ ՀՈՄՈԳԵՆ ՄԻՋԱՎԱՅՐՈՒՄ

Ռ. Վ. ԵՂՈՑԱՆ, Վ. Վ. ԳՐԻ ԻՈՐՑԱՆ, և Ն. Մ. ԲԵՑԼԵՐՅԱՆ

Ուսումնասիրված է աղոիզոկարագաթթվի դինիտրիլով Հարուցված դիմեթիլամինոէթիլմեթակրիլատի պոլիմերման կինետիկան մեթանոլում և ջուրմեթանոլային միջավայրում։ Ցույց է տրված, որ ջրի ներկայությամբ պոլիմերման արագությունը մեծանում է 2 անդամ։ Ակտիվացման էներգիայի անփուիսի արժեջի դեպջում ջրի ներկայությունը նախաէջսպոնենտի արժեջը մեծացնում է 4 անդամ։ Դիտվող երևույթները բացատրվել են պոլիդիմեթիլամինոէթիլմեթակրիլատի մակրոռադիկալների և մակրոմոլեկուլների կոմպակտացմամբ և բիմոլեկուլյար Հատման ակտի արագության փոջրացմամբ.

INVESTIGATION OF DIMETHYLAMINOETHYLMETHACRYLATE (DMAMA) POLYMERIZATION IN METHANOL AND METHANOL-WATER HOMOGENEOUS MIXTURES

R. V. EGHOYAN, V. V. GRIGORIAN and N. M. BEYLERIAN

The kinetics of DMAMA polymerization initiated by azoisobutyro-dinitrile in methanol and methanol-water homogeneous mixtures has been studied. It was found that an increase in the over-all polymerization rate was observed in the presence of water. Experimental data confirm the supposition that a compactness of macroradicals and macromolecules of PDAMA, as well as a decrease in bimolecular termination rate occur in the presence of water.

ЛИТЕРАТУРА

- 1. G. G. Cameron, J. Cameron, Polymer, 14, 107 (1973).
- 2. Р. В. Егоян, Н. М. Бейлерян, П. В. Аримян, Арм. хим. ж., 28, 89 (1975).
- 3. Г. С. Колесников, А. С. Тевелина, Н. С. Скрипченко, И. Г. Стриховская, Высокомол. соед., A13, 2139 (1971).
- 4. Е. Ф. Панарин, И. И. Гаврилова, Высокомол. соед., В19, 251 (1977).
- 5. K. Jokota, M. Iten, J. Pol. Sci., 6, 825 (1968).
- 6. Р. В. Егоян, Н. М. Бейлерян, Л. Геворкян, Арм. хим. ж., 30, 555 (1977).
 - 7. Н. М. Бейлерян, Р. В. Егоян, Л. Б. Князьян, Арм. хим. ж., 26, 985 (1974).

2 Ц 3 Ч Ц Ч Ц Б Р Г Г Ц Ц Ц Б Ц Г И Ц Ч Г Г АРМЯНСКИЙ ХИМИЧЕСКИЙ ЖУРНАЛ

XXXII, № 2, 1979

УДК 620.191/193.

КОРРОЗИЯ МОЛИБДЕНА В СТЕКЛОМАССЕ, СОДЕРЖАЩЕЙ ОКИСЬ СВИНЦА

Г. М. НЕРСЕСЯН, О. Б. АЛЛАВЕРДЯН и А. А. ЕДИГАРЯН

Ереванский политехнический институт им. К. Маркса

Поступило 6 VI 1977

Исследована экспериментальная зависимость скорости коррозии молибдена от содержания РbO при температуре варки свинцового хрусталя. Выведено кинетическое уравнение, устанавливающее кубическую зависимость между скоростью коррозии и концентрацией PbO, что хорошо согласуется с экспериментальными данными. Вычислена эпергия активации коррозни молибдена в указанной стекломассе.

Рис. 4, библ. ссылок 3.

При электроварке стекла существенной проблемой является коррозия электродов, вызванная тяжелыми термическими условиями и агрессивностью среды. При варке стекол, не содержащих высокоагреосивных компонентов (окислов металлов переменной валентности), успешно применяются молибденовые электроды. Скорость коррозии этих электродов невелика, что обеспечивает необходимый срок их службы (несколько лет). Однако при варке специальных стекол, содержащих окислы свинца, олова, титана и других металлов переменной валентности, износ молибденовых электродов возрастает настолько, что исключает их применение при электроварке указанных стекол.

Исследование коррозии молибденовых электродов в указанных средах с целью выяснения ее механизма и закономерностей может способствовать разработке метода защиты их от коррозии.

Вопросы коррозии молибдена в расплавленной стекломассе не исследованы, имеется лишь сообщение о том, что посредством анодной поляризации удалось уменьшить коррозию молибденовых электродов [1]. Это обстоятельство еще больше повышает интерес к данному вопросу как в теоретическом, так и в практическом отношении.

Настоящая работа посвящена исследованию коррозии молибдена в расплаве свинцового хрусталя в зависимости от содержания PbO, температуры стекломассы, прохождения рабочего переменного тока через металл и др.

Исследуемые образцы представляли собой отрезки из молибденовой проволоки диаметром 1 мм, помещенные в корундовую трубку, куда подавался азот. Трубка погружалась в тигель с расплавленной стекломассой, находящейся в шахтной печи. Верхний конец трубки длиной 400—

Армянский химический журнал, XXXII, 2-2

500 мм и днаметром 15—20 мм закрывался резиновой пробкой, через которую пропускались проволочные образцы.

Скорость коррозии молибдена определялась по потере веса электрода в процессе опыта. Для этого электрод после опыта обрабатывался в плавиковой кислоте, которая снимала застывшую на нем стекломассу. Молибден, весьма стойкий в плавиковой кислоте, полностью очищался от стекломассы, что обеспечивало высокую точность определения его потерь путем взвешивания.

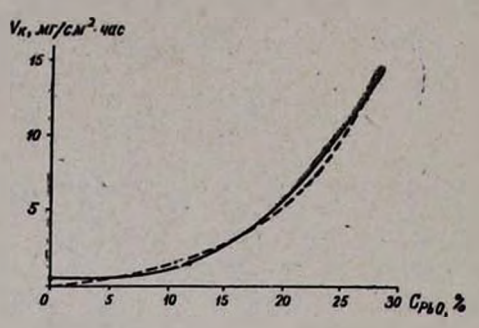


Рис. 1. Зависимость скорости коррозии молибдена от концентрации PbO в стекломассе (сплошная—экспериментальная, пунктирная—теоретическая).

На рис. 1 приведена кривая зависимости скорости коррозии от содержания окиси свинца в стекломассе при температуре варки 1430°. Из кривой следует, что по мере увеличения содержания РbO скорость коррозии резко возрастает. Так, при содержании в стекломассе 30% PbO скорость коррозии молибдена достигает 15 мг/см²час, тогда как в отсутствие окиси свинца (SiO₂—80%, K₂O—17%, Na₂O, ZnO, B₂O₃, по 1%) —0,035 мг/см²час. Таким образом, наличие в стекломассе 30% PbO приводит к увеличению скорости коррозии молибдена более чем в 40 раз.

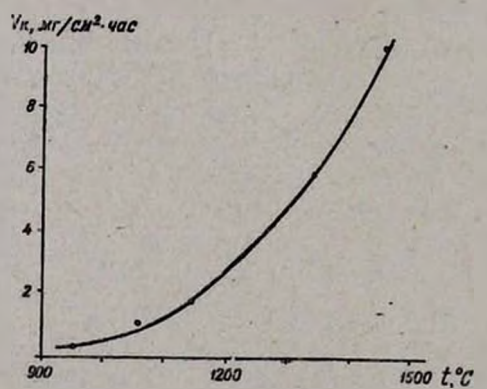


Рис. 2. Зависимость скорости коррозии молибдена от температуры стекломассы. Содержание PbO 24%.

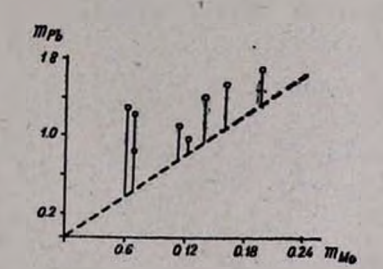
Значительно также влияние температуры стекломассы на скорость коррозии молибдена. Судя по кривой 2, она особенно чувствительна к температуре выше 1200°.

Важно было определить скорость коррозии молибдена в стекломассе при наличии рабочего переменного тока и без него. Значение последнего выбиралось исходя из практической плотности тока—1,0 $A/c m^2$. Как показали опыты, в пределах точности измерений скорость коррозии молибдена не зависит от наличия переменного тока для варки стекла.

Коррозия молибдена в стекломассе, содержащей окись свинца, сопровождалась выделением металлического свинца, что вызвано, очевидпо, переходом молибдена в стекломассу. Для установления реакций взаимодействия молибдена со стекломассой исследовалась зависимость количества выделившегося свинца от количества прокорродировавышего молибдена (свинец легко извлекался из застывшей стекломассы, куда он стекал с молибдена в виде капель и собирался на дне тигля). На рис. З приведены экспериментальные точки указанной зависимости, для которых трудно установить какую-либо закономерность. Там же пунктирной линией показана зависимость, соответствующая наиболее вероятной реакции между молибденом и стекломассой:

$$Mo + 3PbO \longrightarrow 3Pb + MoO_3$$
 (1)

Рис. 3. Теоретическая прямая зависимости количества выделившегося свинца от количества растворенного молибдена. Точками показаны экспериментальные значения.



Из рис. З видно, что количество выделившегося свинца больше, чем следует по реакции (1). Отметим, что это расхождение было бы большим, если бы молибдену приписали валентность меньше шести. Однако, судя по природным соєдинениям [2] и по свободной энергии образования окислов молибдена [3], шестивалентность его в наших условиях можно считать более вероятной.

Обсуждение результатов

Коррозия молибдена в стекломассе, содержащей РьО, вызвана, очевидно, окисляющим действием ионов свинца по схеме

$$Mo \longrightarrow Mo^{6+} + 6e$$
 (a)

$$3Pb^{2+} + 6e \longrightarrow 3Pb \tag{6}$$

В результате

$$Mo + 3Pb^{2+} \longrightarrow Mo^{6+} + 3Pb$$

что отражает реакцию (1).

Подобным образом могут действовать любые катионы, потенциал разряда которых более электроположителен, чем стационарный потенциал молибденового электрода в стекломассе. В этом смысле разряд остальных ионов K⁺, Na⁺, Zn⁺⁺ как электроотрицательных исключается.

Скорость коррозни молибдена по реакции (1) выразится

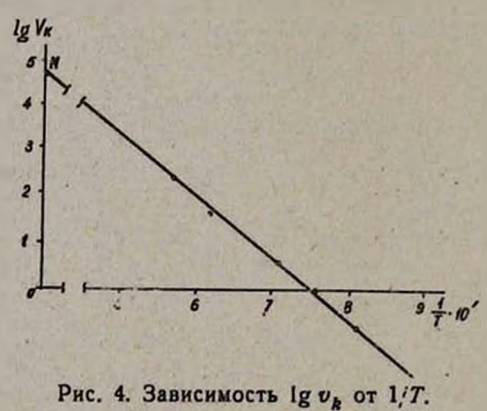
$$V_{k} = k_{1} \cdot C_{PbO}^{3} \cdot e^{-\frac{U_{1}}{RT}} - k_{2} C_{MoO_{s}} \cdot e^{-\frac{U_{3}}{RT}}$$

$$(2)$$

где первый член соответствует скорости прямого процесса, а второй—обратного. Учитывая, что в стекломассе $C_{\text{моО}_1} \to 0$ (особенно в начале опыта), для скорости коррозии вместо (2) можно написать

$$V_k = k_1 \cdot C_{PbO}^3 \cdot e^{-\frac{U_1}{RT}} \tag{3}$$

Зная k_1 и энергию активации U_1 , можно установить аналитическую зависимость скорости коррозии от содержания PbO в стекломассе и сопоставить ее с экспериментальными данными, приведенными на рис. 1. Энергию активации находим по зависимости $\lg V_k$ от 1/T, приведенной на рис. 4. Этот график построен по данным, указанным на рис. 2 (для стекломассы, содержащей $24^0/_0$ PbO). Наклон прямой, характеризующий зависимость $\lg V_k$ от 1/T, как известно, равен $U_1/2,3R$, отсюда энергия активации $U_1=30,0$ ккал/моль.



Коэффициент k_1 находим также по рис. 4. Здесь отрезок ОМ=4,85 представляет собой $\lg(k_1C_{PbO}^3)$. Как уже упоминалось, $C_{PbO}=24^0/_0$ и тогда $k_1=5,1$. Подставляя значения k_1 и U_1 в (3), получим кинетическое уравнение скорости коррозии в зависимости от содержания PbO в стекломассе и температуры

$$V_{k} = 5, 1 \cdot C_{PbO}^{3} \cdot e^{-\frac{50000}{2T}} \tag{4}$$

Полученное уравнение легко проверить для экспериментальной зависимости (сплошная кривая), приведенной на рис: 1 и найденной для

температуры варки хрусталя—1430° (1703°К). Подставив в (4) T=1703, получим

$$V_{\lambda} = 8,08 \cdot 10^{-2} \cdot C_{\text{PbO}}^{3} \tag{5}$$

На рис. 1 пунктиром показана теоретическая кривая скорости коррозии, построенная по уравнению (5). Как следует из рис. 1, совпадение (5) с экспериментальными данными вполне удовлетворительное. Таким образом, коррозия молибдена в стекломассе, содержащей окись свинца, описывается реакцией (1).

Что же касается несоответствия количества выделившегося свинца по реакции (1), то это может быть объяснено процессом диспропорционирования:

$$2Pb^{2+} \longrightarrow Pb + Pb^{++++}$$

что свойственно металлам переменной валентности. Однако этот вопрос требует дополнительного изучения.

ՄՈԼԻԲԴԵՆԻ ԿՈՌՈԶԻԱՆ ԿԱՊԱՐԻ ՕՔՍԻԴ ՊԱՐՈՒՆԱԿՈՂ ԱՊԱԿԵ ԶԱՆԳՎԱԾՈՒՄ

Գ. Մ. ՆԵՐՄԵՄՑԱՆ, Օ. Բ. ԱԼԱՎԵՐԴՑԱՆ և Ա. Ա. ԵԳԻԳԱՐՑԱՆ

Հետազոտված է մոլիբդենի կոռողիայի արագության էքսպերիմենտալ կախվածությունը կապարային բյուրեղապակու եփման ժամանակ PbO-ի սլարունակությունից։ Դուրս է բերված կոռոզիայի արազության և PbO-ի կոն- ցենտրացիայի միջև կախում հաստատող մի կինետիկական հավասարում, որը բավարարում է փորձնական տվյալներին։ Հաշվարկված է մոլիբդենի լուժման ակտիվացման էներգիան։

CORROSION OF MOLYBDENUM IN MELTED LEAD GLASS

G. M. NERSESSIAN, O. B. ALAVERDIAN and A. A. YEDIGARIAN

The dependence of the molybdenum corrosion rate upon the composition of PbO during the lead glass melting process has been investigated.

It has been shown that the corrosion rate is best expressed by a third power PbO concentration relationship. The dissolution activation energy of molybdenum has been evaluated.

ЛИТЕРАТУРА

- 1. Стекло и керамика, № 2, 39 (1975).
- 2. К. Агте, и Вацек, Вольфрам и молибден, Изд. «Энергия», М., 1964, стр. 29.
- 3. В. Лотимер, Окислительные состояния элементов и их потенциалы в водных растворах, ИЛ, М., 1954, стр. 259.

XXXII, № 2, 1979

НЕОРГАНИЧЕСКАЯ И АНАЛИТИЧЕСКАЯ ХИМИЯ

УДК 541.123.6+541.78+546.32+546.33

ИССЛЕДОВАНИЕ СИСТЕМЫ СоСІ₂—КАІО₂—К₂SiO₃—Н₂О ПРИ 20°С

М. Г. МАНВЕЛЯН, Э. Б. ОГАНЕСЯН и В. Д. ГАЛСТЯН Институт общей и неорганической химии АН Армянской ССР, Ереван Поступило 3 VII 1971

Проведено изучение системы $CoCl_2$ — $KalO_2$ — K_2SiO_3 — H_2O методами растворимости, измереннем pH, удельной электропроводности фильгратов и кажущихся объемов осадков. Установлено, что при мольном соотношении в исходной смеси $CoO/Al_2O_3+SiO_2=2$ и более осаждается гидроалюмосиликат кобальта состава $4CoO\cdot Al_2O_3\cdot SiO_2\cdot mH_2O$. Полученный гидроалюмосиликат кобальта подвергался термографическому, рентгенографическому и кристаллооптическому анализам. Сняты ИК спектры.

Рис. 4, табл. 1, библ. ссылок 4.

В литературе имеются работы, посвященные исследованию калиевых алюмосиликатных систем [1, 2].

Цицишвили и Андроникашвили синтезировали кобальтовый алюмосиликат, используя ионный обмен, заключающийся в действии раствора соответствующей соли на уже полученный алюмосиликат [3].

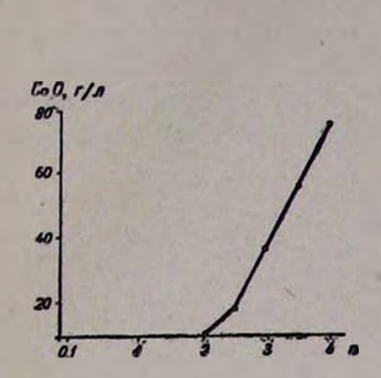
Экспериментальная часть

В качестве исходных продуктов были использованы $CoCl_2 \cdot 6H_2O$ и $K_2SiO_3 \cdot nH_2O$ марки «ч.д.а.». $KAlO_2$ был приготовлен растворением алюминиевых стружек в растворе едкого кали. Система $CoCl_2$ — $KAlO_2$ — K_2SiO_3 — H_2O исследовалась по методике, принятой нами ранее [4]. Для упрощения условно принимаем, что в исходном растворе $KAlO_2$ и K_2SiO_3 представляют собой один компонент, являющийся постоянной величиной, содержание же $CoCl_2$ увеличивалось от опыта к опыту. При этом мольное отношение $CoO/Al_2O_3 + SiO_2$, обозначаемое через n, менялось от 0,1 до 4.

После установления равновесия фильтрат отделялся от осадка и производился анализ осадка и фильтрата на SiO_2 , Al_2O_3 и CoO. SiO_2 определялся осаждением соляной кислотой, Al_2O_3 —аммиаком, а CoO—сероводородом.

Из кривой растворимости (рис. 1) и данных, приведенных в таблице, следует, что при n=2 осаждается гидроалюмосиликат состава 4CoO.

 $-Al_2O_3$ -SiO₂-mH₂O, а до отношения n=2 осаждаются осадки переменного состава. Составы осадков рассчитаны методом «остаточных концентраций».



PHC. 1. Pactbopilmocts B CHCTEME CoCl₂—KAIO₂—K₂SiO₃—H₂O.

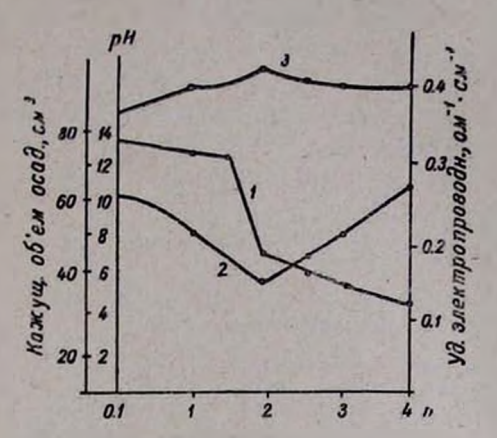


Рис. 2. Зависимости рН (1), удельной электропроводности (2) фильтратов и кажущихся объемов осадков (3) от мольного отношения $CoO/Al_2O_3 + SiO_2$ в исходной смеси.

Кривые зависимости рH, удельной электропроводности фильтратов и кажущегося объема осадков от мольного отношения $CoO/Al_2O_3+SiO_2$ в исходном растворе также подтверждают образование соединения при n=2 (рис. 2, кр. 1—3). Полученное соединение $4CoO\cdotAl_2O_3\cdot SiO_2\cdot mH_2O$ промывалось дистиллированной водой до удаления Cl^- , после чего подвергалось кристаллооптическому, термографическому и рентгенографическому анализам.

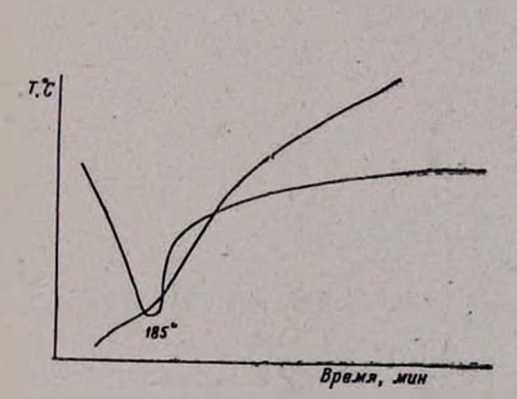


Рис. 3. Термограмма соединения 4CoO-Al₂O₂-SiO₂-mH₂O.

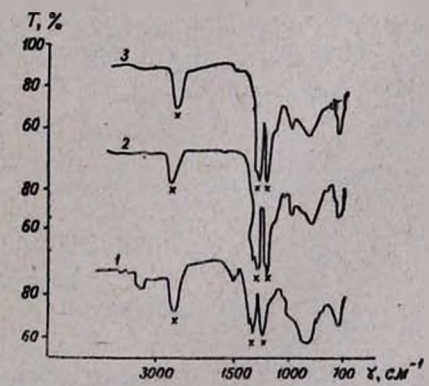


Рис. 4. ИК спектры образцов 4CoO· Al_2O_3 -SiO₃·mH₂O, высушенных $\frac{7}{2}$ при разных температурах: 1 — 20, 2 — 300, 3 — 500°C.

Термограмма 4CoO·Al₂O₃·SiO₂·mH₂O имеет один эндотермический эффект при 185°, связанный с удалением адсорбционной воды (рис. 3).

Рентгенографическое исследование показало, что $4\text{CoO-Al}_2\text{O}_3\text{-SiO}_2$ рентгеноаморфен. $N_{cp}=1,67,$ форма зерен изометрическая.

Исследованы ИК спектры поглощения образцов гидроалюмосиликата кобальта, высушенных при температурах 20, 300 и 500° (рис. 4, кр. 1—3). Запись ИК спектров производилась в днапазоне от 5000 до 650 см⁻¹ с использованием сменных призм NaCl и LiF на инфракрасном спектрометре ИКС-14. В спектрах алюмосиликата кобальта наблюдается ряд полос в интервале 810—1088 см⁻¹, которые относятся к валентным колебаниям Si—O—Si, образующих элементарное звено цепи тетраэдров SiO₄-2.

Таблица

Состав исходного p-pa, г/л			Состав фильтрата, г/л				Удельн.	Кажущ.	
CoO Al ₂ O ₃ +SiO ₂	CoO	Al ₂ O ₃	SiO,	CoO	Al ₂ O ₃	SIO,	Нд	электр., ом ⁻¹ ·см ⁻¹	объем, см ³
0,1	3,75	25,5	15	не о	бнаруж	ено	13,25	0,266	87
0,5	18,75	25,5	15				13,00	0,250	88
1,0	37,50	25,5	15	1			12,95	0,217	91
1,5	56,25	25,5	15	11 4 1		. 0	12,90	0,180	93
2,0	75,00	25,5	15				7,50	0,150	98
2,5	93,75	25,5	15	18,75			6,20	0,210	94
3,0	112,50	25,5	15	37,50			5,80	0,210	93
3,5	130,75	25,5	15	56,25			4,95	0,250	92
4,0	150,00	25,5	15	75,0	5.1		47,00	0,280	92

Следует отметить, что интенсивность полос деформационных и валентных колебаний сильно уменьшается при повышении температуры сушки образцов, и при 500° наблюдается полное исчезнование гидроксильных групп воды.

CoCl₂—KAlO₂—K₂SiO₃—H₂O Uhusbuh ՈՒՍՈՒՄՆԱՍԻՐՈՒԹՅՈՒՆԸ 20°—ՈՒՄ

Մ. Գ. ՄԱՆՎԵԼՅԱՆ, Է. Բ. ՀՈՎՀԱՆՆԻՍՅԱՆ և Վ. Դ. ԳԱԼՍՏՅԱՆ

Լուծելիության մեթոդով, ֆիլտրատների pH-ի, էլեկտրահաղորդականության և նստվածգների թվացող ծավալների չափման միջոցով ցույց է տրված, որ CoO/Al₂O₃+SiO₂ ելանյութային լուծույթներում, երբ մոլյար հարաբերությունը հավասար է 2-ի, գոյանում է 4CoO·Al₂O₃·SiO_{2·}mH₂O ալյումոսիլիկատը, Վերջինս ենթարկվել է թերմոգրաֆիկ, ռենտգենոգրաֆիկ, բյուրեղաօպտիկական ուսումնասիրությունների,

INVESTIGATION OF THE CoCl₂-KAIO₂-K₂SiO₃-H₂O SYSTEM AT 20°C

M. G. MANVELIAN, E. B. HOVHANISSIAN and V. D. GALSTIAN

It has been shown by solubility methods and by measurements of the filtrate pH, electrical cinductance, and the apparent volume of the precipitates the alumosilicate $4\text{CoO}\cdot\text{Al}_2\text{O}_3\cdot\text{SiO}_2\cdot m\text{H}_2\text{O}$ was obtained in the case of molar ratio of $\text{CoO}/\text{Al}_2\text{O}_3 + \text{SiO}_2$ equal to 2 in the initial solutions.

This alumosilicate has been subjected to thermographical, roentgenographical, and crystallooptical investigations.

ЛИТЕРАТУРА

- 1. R. M. Barrer, Baynham, J. Chem. Soc., 2882, 1956.
- 2. М. Е. Овсепян, С. П. Жданов, Цеолиты, их синтез, свойства и применение, Материалы II Всесоюзн. совещания по цеолитам, Изд. «Наука», М.—Л., 1965, стр. 140.
- Г. В. Цицишвили, Т. Г. Андроникашвили, Синтетические цеолиты, Изд. АН СССР, М., 1962, стр. 117.
- 4. Г. Г. Бабаян, В. Д. Галстян, Э. Б. Оганесян, Арм. хим. ж., 23, 124 (1970).

XXXII, № 2, 1979

УДК 543.70

ВЗАИМОДЕЙСТВИЕ МОЛИБДЕНОГЕРМАНИЕВОЙ КИСЛОТЫ С ТИАЗИНОВЫМИ КРАСИТЕЛЯМИ

Ф. В. МИРЗОЯН, В. М. ТАРАЯН и З. Х. АЙРИЯН

Институт общей и неорганической химии АН Армянской ССР, Ереван Ереванский государственный университет

Поступило 30 XI 1978

Установлено, что молибденогерманиевая кислоть с основными красителями диметилтионином и метиленовым зеленым в широком интервале кислотности и концентрации компонентов образует соответствующие четырехзамещение твердофазные соединения, ацетоновые растворы которых обладают высокой светопоглощаемостью (= 2,45·105). Рис. 4. библ. ссылок 8.

Соединения молибденогерманиевой гетерополикислоты (МГК) с катионами основных красителей (ОК), как правило, обеспечивают высокую чувствительность фотометрического определения германия и тем самым представляют большой интерес. Однажо эти соединения всесторонне не исследованы. Тому причиной наличие сложных равновесий образования МГК в водных растворах, усугубляющихся одновременным выделением твердофазных солей ОК с не связанными в МГК изополимолибдат-ионами, избыток которых обычно создается в растворе для обеспечения количественного выхода МГК.

Ранее в качестве ОК были использованы ксантеновые [1], антипириновые [2], трифенилметановые [3, 4], а также гемицианиновый катионный розовый [5]. Однако установленные при этом ограниченные концентрационные условия не способствовали выделению высокозамещенных ОК-МГК соединений.

В настоящей работе в качестве катионов, замещающих водородные ионы МГК, были использованы красители тиазинового ряда: диметилтионин (ДТ) и метиленовый зеленый (МЗ). При этом преследовалась цель—выявить условия для получения высокозамещенной соли МГК, т. е. ОК-МГК соединений.

Экспериментальная часть

Реагенты, методика исследования и аппаратура. Были использованы: $5\cdot 10^{-3}$ М исходный раствор Ge (IV), приготовленный растворением навески GeO₂ («ос. ч.») в дистиллированной воде с добавлением небольших количеств NaOH (pH ~ 7,2); 0,024 М раствор Na₂MoO₄·2H₂O («ч.»); HNO₃ («ос. ч.», d 1,41); 0,2 М раствор Na₂C₂O₄ («ч. д. а.»); 0,1% водный раствор ОК («ч. д. а.»), ацетон («ч. д. а.»). Все растворы хранились в полиэтиленовой посуде.

К раствору, содержащему определенные количества Ge (IV) и находящемуся в конической центрифужной пробирке, добавляли ННО3 и создавали оптимальную для количественного образования МГК кислотность (далее будет упоминаться как «начальная кислотность» — pH_{нач}). В раствор вводили определенные количества молибдат-иона, объем раствора доводили водой до 5 мл, размешивали и оставляли на 10-15 мин. для максимального образования МГК. Затем создавали оптимальную для выделения ОК-МГК соединения кислотность («конечная кислотность» — рН кон.), добавляли определенные количества эксалат-иона (при необходимости), реагента-красителя и доводили водой объем до 10 мл. После размешивания раствора до заметного выделения осадка ОК-МГК соединения отделяли его центрифугированием в течение 1 мин. (лабораторная центрифуга марки ЦЛК-1 при режиме 3000 об/мин), раствор осторожно декантировали и измеряли его рН (потенциометром рН-340). Осадок в пробирке растворяли в 10 мл ацетона, содержащих 1,0 мл 8 н HNO₃. О степени связывания Ge (IV) в МГК судили по оптической плотности (ОП) полученного раствора, измеренной на спектрофотометре СФ-4А (b=0.1 см, $\lambda_{\Pi T}=610$ нм; $\lambda_{M3}=640$ нм). Параллельно проводили «холостой» опыт, контролирующий образование изополимолибдатов ОК.

Результаты и их обсуждение

Установление условий образования МГК. Авторы ранее проведенных исследований [1—5] при изучении оптимальной для образования МГК кислотности основывались на собственной ее светопоглощаемости. Более убедительным представляется вести поиски оптимальной кислотности образования МГК не на основе интенсивности светопоглощения желтой формы МГК, которая изменяется как с изменением выхода МГК, так и с изменением ее внутрисферного строения (а- и в- формы [6—8]), а исходить из светопоглощения продукта внешнесферного взаимодействия МГК с ОК, т. е. ОК-МГК соединения. Последнее позволило бы

установить оптимальные для количественного образования МГК условия в широком интервале кислотности независимо от строения ее внутренней координационной сферы. Образование в системе изополимолибдатов ОК было устранено путем последующего повышения кислотности.

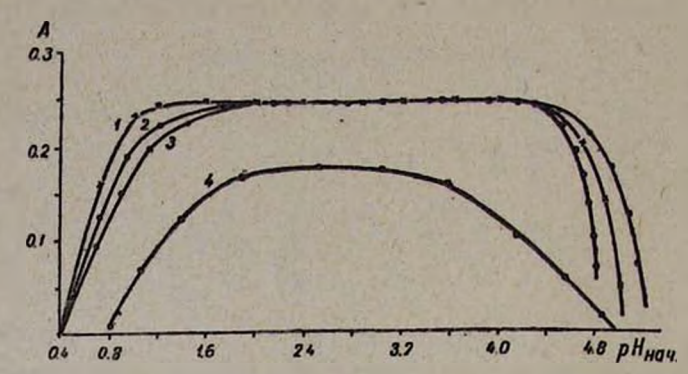


Рис. 1. Зависимость ОП ацетоновых растворов ДТ-МГК (1, 2) и МЗ-МГК (3, 4) соединений от начальной кислотности. [Ge (IV)] = $1 \cdot 10^{-5}$ М; [OK] = $2 \cdot 10^{-4}$ М; [MoO $_4^{2-}$], М·103: 1—2,4; 2, 3 — 1,2; 4 — 0,72; Конечная каслотность: 1 2 — 2 κ HNO $_3$: 3, 4 — pH 0,2.

На рис. 1 приведена зависимость ОП ацетоновых растворов ОК-МГК соединений от «начальной кислотности» при различной концентрации молибдат-иона. В условиях конечной кислотности ОК-МГК, тем самым и МГК, соединение вовсе не образуется. Следовательно, приведенный на рис. 1 интервал кислотности свидетельствует об оптимальных условиях образования самой МГК, не зависящих от природы примененного ОК. При этом четко отмечается достаточно широкий и оптимальный для количественного образования МГК интервал кислотности—рН 1,5—4,3, если в исследуемом растворе предварительно обеспечена [Na₂MoO₄] = 1,2·10⁻³ М (кр. 2,3). Дальнейшее повышение последней вдвое, не влияя на выход МГК, несколько расширяет интервал оптимальной кислотности—рН 1,1—4,4 (кр. 1). Одновременно четко выявляется и оптимальная для количественного образования МГК концентрация молибдат-иона ≥1,2·10⁻⁸ М.

Таким образом, интервал оптимальной «начальной кислотности», установленный на основе светопоглощаемости ОК-МГК соединений, полностью включает значения рН, при которых наблюдается максимальное образование α - и β -МГК [6—8]. С другой стороны, в отличие от α - и β -МГК, которые отличаются устойчивостью и спектрофотометрическими характеристиками, ацетоновые растворы ОК-МГК соединений, полученные в указанном интервале кислотности, характеризуются постоян-

Для измерения рН_{нач} были поставлены отдельные опыты.

ством ОП и почти на два порядка большим коэффициентом молярного погашения ($\bar{\epsilon} = 2,45 \cdot 10^5$) Эти особенности, несомненно, повышают интерес аналитического использования ОК-МГК соединений.

Условия выделения твердофазных ОК-МГК соединений. С целью установления условий, исключающих выделение простых солей ОК и обеспечивающих количественный выход ОК-МГК соединений, была изучена зависимость ОП исследуемых ацетоновых растворов от конечной кислотности при постоянных рН и [МоО2-] (рис. 2). Диметилтионин более склонен к образованию труднорастворимых в воде изополимолибдатов (кр. 1'). В связи с этим индивидуальный выход исследуемого соединения наблюдается в достаточно узком интервале кислотности- $2.0-2.5 \ \mu$ HNO₃ (кр. 1), при [Na₂MoO₄] = $1.2 \cdot 10^{-3}$ М. Образование и выделение изополимолибдатов МЗ подавляется при рН≤1,0 (кр. 3'), что позволяет выделить МЗ-МГК соединение в достаточно широком интервале кислотности-рН 1,0-1,5 н НОО3 (кр. 3). При повышении концентрации молибдат-иона интервал оптимальной кислотности заметно сужается-рН 0,7-1,5 н HNO₃ (кр. 2), поскольку выделение соответствующих изополимолибдатов имеет место при более высокой кислотности $(\kappa p. 2').$

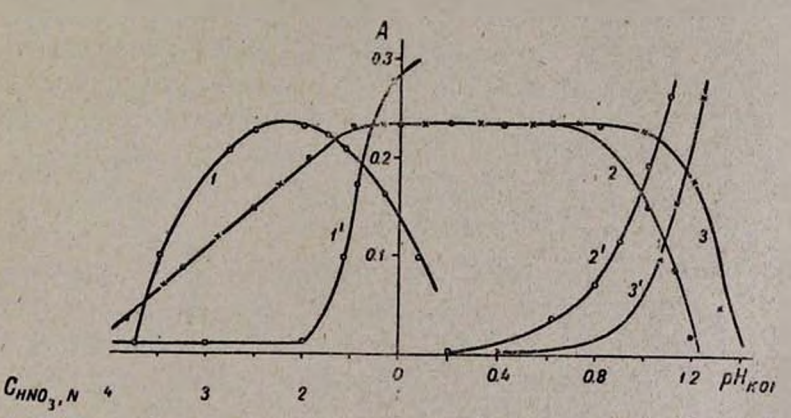


Рис. 2. Зависимость ОП ацетоновых растворов ДТ-МГК (1) и МЗ-МГК (2, 3) соединений от конечной кислотности. [Ge (IV)]= $1\cdot10^{-6}$ М; [OK]= $2\cdot10^{-4}$ М; рН_{нач.} 2,5; [MoO $_4^{2-}$], М·10³: 1, 3 — 1,2; 2 — 2,4; 1', 2', 3' — соответствующие "холостые".

Согласно полученным результатам, устранение образования в системе простых солей ОК позволило бы расширить интервал оптимальной для выделения ОК-МГК соединений кислотности. Этому, по-видимому, могло бы способствовать маскирование не связанных в МГК изополимолибдат-нонов. Рапее с этой целью была использована щавелевая кислота в сильнокислой среде [4] и поэтому она оказалась неэффективной. Нами маскирующая способность оксалат-иона определенной концентрации исследовалась в зависимости от кислотности среды при различной исходной концентрации молибдат-иона. Это позволило сместить

интервал оптимальной для количественного выделения ОК-МГК соединений кислотности в сторону слабокислых сред и впервые получить ОК-МГК соединение в условнях образования самой МГК.

При $[Na_2MoO_4] = 1,2 \cdot 10^{-3} M$ соединение ДТ-МГК количественно вылеляется в интервале рН 3,2-6,0 в условиях практически полного отсутствия изополимолибдатов ДТ (кр. 1, 1'). Увеличение концентрации молиблат-иона до 4,8·10⁻³М несколько сужает этот интервал—рН 4,2—6.5 (кр. 2, 2'). В случае использования основного красителя метиленового зеленого введение в систему оксалат-иона полностью устраняет образование и выделение изополимолибдатов МЗ во всем изученном интервале кислотности. Количественное выделение МЗ-МГК соединения осуществляется в интервале pH-0.05 \div 5,5, если в растворе создана [Na₂MoO₄] = 1.2-10⁻³ М (кр. 3). Увеличение концентрации молибдат-иона несколько расширяет этот интервал: pH--0,1÷6,0 (кр. 4). При постоянном pH кон был определен нижний предел концентрации молибдат-иона и реагентакрасителя, достаточный для обеспечения максимального выхода ОК-МГК соединения, а также верхний предел, еще позволяющий получить ОК-МГК соединение в индивидуальном состоянии. Полученные результаты позволили установить, что ДТ-МГК соединение независимо от конечной кислотности (2н HNO или р $H_{\rm кон.}$ 4,0 в присутствии оксалат-иона), а также МЗ-МГК соединение при р $H_{\rm кон.}$ 0,2 количественно выделяются в интервале 9·10⁻⁴—7,2·10⁻³ М концентрации молибдат-иона. Этот интервал значительно расширяется для МЗ-МГК соединения и составляет 9,6·10⁻⁴ — 3,2·10⁻² M, если его выделение осуществляется при рНкон. 4,0 в присутствии оксалат-иона (0,06 М). Количественный выход ОК-МГК соединений независимо от вышеуказанных условий их выделения и природы ОК имеет место при [ОК] = 1,7·10⁻⁴ М. В случае МЗ дальнейшее повышение последней до 10^{-2} М не привело к заметному выделению простых солей и изменению выхода МЗ-МГК соединения. Для ДТ-МГК соединения оптимальная концентрация ДТ в заметной мере определяется условиями его выделения и составляет (1,7-2,7) 10-4 М (2 н HNO_3) и $(1,7-6,8)\cdot 10^{-4}$ М (р $H_{\rm кон.}$ 4,0), соответственно.

Таким образом, введение в систему оксалат-иона и одновременное снижение кислотности заметно улучшает условия выделения ОК-МГК соединений. Было установлено, что практически полное маскирование изополимолибдат-ионов и количественное выделение ОК-МГК соединений осуществимо в достаточно широком интервале концентрации оксалат-иона— $4\cdot10^{-3}$ — $8\cdot10^{-2}$ М. Достаточно широк и интервал концентрации германия, при котором ОП исследуемых ацетоновых растворов подчиняется основному закону фотометрии— $2\cdot10^{-7}$ — $2\cdot4\cdot10^{-5}$ М (МЗ-МГК) и $2\cdot10^{-7}$ — $1\cdot4\cdot10^{-5}$ М (ДТ-МГК).

Ацетоновые растворы исследуемых ОК-МГК соединений интенсивно окрашены ($\bar{\epsilon}_{\text{дт-мгк}} = 2,45\cdot10^{5}, \ \bar{\epsilon}_{\text{м3-мгк}} = 2,30\cdot10^{5}$), что свидетельствует о

высокой замещенности ОК-МГК соединений. Методом изомолярных серий, поставленных при различной кислотности и суммарной концентрации Ge (IV) и ОК, установлено образование и выделение в твердофазном состоянии четырехзамещенных солей МГК (рис. 4). Полученные результаты использованы для разработки высокочувствительного метода определения микроколичеств германия.

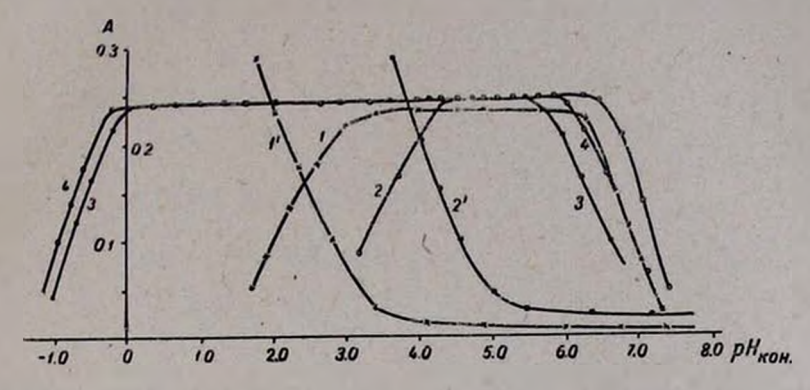
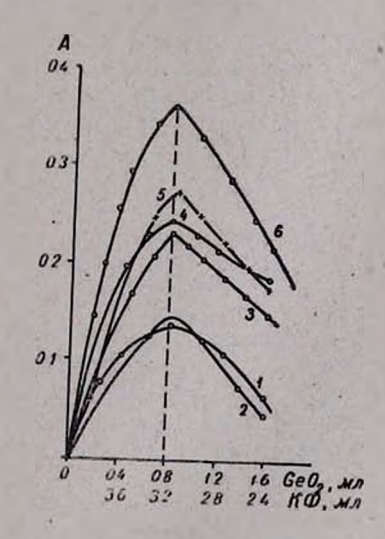


Рис. 3. Зависимость ОП ацетоновых растворов ДТ-МГК (1, 2) и М3-МГК (3, 4) соединений от конечной кислотности в присутствии оксалат-нона. [Ge (IV)] = $1 \cdot 10^{-5}$ M; pH_{нач.} 2,5; [OK] = $2 \cdot 10^{-4}$ M; [MoO²⁻], M·10³: 1, 3 — 1,2; 2 — 4,8; 4 — 2,4; [C₂O²⁻₄], M: 1, 2 — 0,08, 3 — 0,01, 4 — 0,06.

Рис. 4. Изомолярные серии систем: ДТ-МГК (2,5) и МЗ-МГК (1,3,4,6). [MoO_4^{2-}]=1,2·10⁻⁸ M; [$C_2O_4^{2-}$]=0,04 M (кр. 1, 2, 4, 5) рН: 1, 2, 4, 5–4,0; 3, 6 – 0,2; \sum [Ge (IV)] + [OK], M·10⁴: 1, 2 – 0,4; 3, 4, 5 – 0,8; 6 – 1,6.



Методика определения. К раствору (≤ 2 мл), содержащему 0,14—10,2 мкг Ge (IV) и находящемуся в коннческой центрифужной пробирке, добавляют HNO₃, 0,5 мл 0,024 М раствора Na₂MoO₄, объем раствора доводят до 3 мл и после размешивания оставляют на 10—15 мин. для количественного образования МГК (оптимальное значение рН 1,5—4,3). Затем добавляют 0,5 мл 0,2 М Na₂C₂O₄, 0,5 мл 0,1% раствора реагента красителя (ДТ или МЗ) и объем доводят до 10 мл. Размешивают до заметного выделения осадка ОК-МГК соединения, центрифугируют и после

отделения осадка декантацией растворяют его в 10 мл ацетона, содержащих 1 мл 8 н HNO₃. Ацетоновый раствор фотометрируют при 610

(ДТ) или 650 нм (МЗ).

Содержание германия определяют с помощью предварительно построенного калибровочного графика. Для контроля полученных данных определение можно провести и методом добавок. Ошибка определения не превышает 3%.

ՄՈԼԻՐԴԵՆԱԳԵՐՄԱՆԱԿԱՆ ԹԹՎԻ ՓՈԽԱԶԴԵՑՈՒԹՅՈՒՆԸ ԹԻԱԶԻՆԱՅԻՆ ՇԱՐՔԻ ՆԵՐԿԱՆՅՈՒԹԵՐԻ ՀԵՏ

s. վ. ՄԻՐԶՈՑԱՆ, վ. Մ. ԹԱՌԱՑԱՆ և Է. Ք. ՀԱՑՐԻՑԱՆ

Ուսումնասիրվել է մոլիբդենադերմանական նիկի (ՄԳԹ) փոխաղդեցու- նյունը դիմենիլնիոնինն և մենիլենային կանաչի հետ։ Հաստատվել են ՄԳԹ-ի քանակական առաջացումն ապահովող օպտիմալ պայմանները (pH 1,5—4,2, $[M_{\odot}O_{4}^{2-}] \gg 1,2\cdot 10^{-3}$ M).

Իզոպոլիմոլիթդատ-իոնների քողարկման նպատակով օքսալաթթվի կիկիրառումը հնարավորություն է տալիս pH—0,1—6,0 միջակայքում անջատելու նշված ներկանյութերի քառատեղակալված աղերը ՄԳԹ-ի հետ, Վերջիններիս ացետոնային լուծույթները ապահովում են բարձր լուսակլանում (s=2,45·10):

THE INTERACTION OF MOLYBDENOGERMANIC ACID WITH DIMETHYL THIONINE AND METHYLENE GREEN BASIC DYES

F. V. MIRZOYAN, V. M. TARAYAN and E. Kh. HAIRIYAN

The interaction of molybdenogermanic acid (MGA) with dimethyl thionine and methylene green basic dyes has been investigated and conditions providing a quantitative MGA yield have been established (pH=1.5-4.2, [MoO $_4^{2-}$] $\gg 1.2 \cdot 10^{-8}$ M). It has been shown that the formation of tetrasubstituted salts of MGA was observed in the range of pH = 0.1~6.0, their acetonic solutions providing a high molar absorptivity (s = 2.45 · 10³).

ЛИТЕРАТУРА

1. Gr. Popa, J. Paralescu, Talanta, 16, 315 (1969).

- 2. В. П. Живописцев, Т. Б. Черепанова, ЖАХ, 32, 974 (1974). 3. Л. И. Ганаго, И. А. Простак, ДАН БССР, 13, 345 (1969).
- 4. Л. А. Ганаго, И. А. Простак, ЖАХ, 26, 104 (1971).

5. Gr. Popa, J. Paralescu, Revista de chimie, 21, 43 (1970).

- 6. R. A. Chalmers, A. G. Sinclair, Analyt. chim. acta, 33, 384 (1965).
- 7. F. Chauveau, P. Sonchay, R. Schaal, Bull. Soc. Chim. France, 1190 (1959) 8. A. Haldsz, E. Pungor, Talanta, 18, 557, 565 (1971).

2 U 3 4 U 4 U 5 P P P D 4 U 5 U 7 U U 4 P P АРМЯНСКИЯ ХИМИЧЕСКИЯ ЖУРНАЛ

XXXII, № 2, 1979

УДК 547.366

РЕАКЦИИ НЕПРЕДЕЛЬНЫХ СОЕДИНЕНИИ

LXI. ОБ ОСОБЕННОСТЯХ РЕАКЦИИ АЛЛИЛПРОПАРГИЛЬНЫХ ГАЛОГЕНИДОВ С АМИНАМИ

Г. Р. МХИТАРЯН, Ф. С. КИНОЯН, А. П. ХРИМЯН и Ш. О. БАДАНЯН Институт органической химии АН Армянской ССР, Ереван Поступило 5 X 1978

Изучено взаимодействие аллилпропаргильных гологенидов с аминами (пиперидин, диэтил-, триэтил-, триметиламины). Показано, что вследствие 1,4-элиминирования образуется винилбутатриен. Последние в присутствии сильных оснований (в растворителях) изомеризуются в днены.

Библ. ссылок 12.

За последние годы установлено, что в зависимости от суммарных эффектов заместителей субстрата и индивидуальных свойств нуклеофила замещение в винил- и аллилпропаргильных системах можно направить в сторону образования соединений, имеющих кумулированные кратные связи [1—5]. Было замечено, что в случае аллилпропаргильных галогенидов при переходе от диметиламина к его высшим аналогам вместо ожидаемых аминоалленов образуется неизвестного строения бутатриен, не содержащий в своей молекуле нуклеофила [6].

Обнаружено, что если при взаимодействии диметилаллилэтинилхлор (бром) метана I с диметиламином единственным продуктом реакции является алленовый амин II, то липеридин, диэтиламин и другие амины вместо атаки на атом углерода, несущий атом галогена, отрывают аллильный атом водорода с образованием винилбутатриена. Последний получается, возможно, выбросом галогена из промежуточного карбониевого аниона III.

Отметим, что при комнатной температуре реакцию не удается довести до конца и винилбутатриену во всех случаях сопутствуют исходные галогениды. Применение как неполярных, так и протонных полярных растворителей не изменило картины.

Строение винилбутатриена V доказано данными УФ, ИК, ЯМР спектров: ИК (d=0,02), $v_{max}=3100-3020$ (-CH=): 2995, 2940, 2920, 2860 2060, 1655 (C=C=C=CH-), 1600 (-C=C сопряж.), $\delta_{max}=990$, 960 910 $c.m^{-1}$ (-CH=) ЯМР (CCI_4) $\delta=1,91$ [(CH_3) $_3C=C:=$)] м: 5-6,5 м. д ($=CHCH=CH_9$) м: УФ (этанол) $\lambda_{max}=205$ ($\epsilon=6700$), 238 ($\epsilon=7000$) 285 n.m. ($\epsilon=27000$).

Весьма вероятно, что необычное поведение аллильного водорода по отношению к высшим аминам обусловлено большей основностью последних по сравнению с диметиламином. И действительно, исходя из концепции «жестких» и «мягких» кислот и оснований Пирсона [7], можно было ожидать, что с повышением основности аминов они проявят большую склонность к координированию с аллильным протоном-жесткой кислотой, чем с более мягким углеролным центром. В случае правдоподобности наших рассуждений можно было ожидать более успешного осуществления реакции дегидрогалоидирования при применении достаточно жестких оснований: гидроксил-иона и тем более алкоксил-нона. И на самом деле было установлено, что применение указанных оснований способствует не только 1,4-дегидрогалоидированию, но и дальнейшей изомеризации образующегося при этом винилбутатриена V в диенин VI. С другой стороны, полученные нами данные можно было объяснить и пространственными факторами, влияющими на нуклеофильность [8], нсходя из того факта, что легкость замещения зависит от нуклеофильности партнера [9], и тем в большей степени, чем «теснее» переходное состояние, т. е. чем ближе реакция к S_N2 [10] механизму, можно предположить, что при взаимодействии аллилпропаргильных галогенидов с диметиламином реализуется S_N2 механизм.

В ходе исследований интересно было выяснить, характерна ли наблюдаемая аномалия только для вторичных аминов или третичные амины также будут вести себя аналогично. Можно было ожидать, что если инверсия реакции замещения на элиминирование обусловлена стерическими затруднениями, то третичные амины могут явиться более подходящими реагентами для отщепления. И действительно, было показано, что диметилаллилэтинилгалогениды I, взаимодействуя с триметилтриэтиламинами при комнатной температуре в абсолютном эфире, превращаются в винилбутатриен. По аналогии со вторичными аминами реакция не идет до конца.

Интересным обстоятельством, на наш взгляд, явилось то, что как при взаимодействии диметилаллилгалогенидов I с сильными основаниями (едкий кали, третбутилат калия) при 60—65°, так и в специально поставленном опыте изомеризации винилбутатриена в растворителях с высокой диэлектрической проницаемостью (диметилсульфоксид, диметил-

формамид) в диенин VI при 20—25° наблюдается и образование изопропенилпропенилацетилена XV, причем соотношение углеводородов VI и XV в первом случае составляет 5:1, во втором—18:1.

Образование диенина VI с терминальной винильной группой можно было интерпретировать как результат 1,3-миграции бутатриенового водорода, протекающей через образование карбаниона VII.

Преобладающее же образование диенина VI как при комнатной температуре, так и при нагревании объясняется большей стабильностью карбаниона VII в результате одновременно действующих S-орбитального эффекта и аллильной стабилизации в отличие от карбаниона VIII аллильного типа. Среди других альтернатив не исключается и получение диенина VI через промежуточное образование винилизопропенилаллена XII путем прототропии аллильного водорода метильных групп. В пользу последней может служить катализируемая основаниями 1,3-миграция протона винилизопропенилаллена, синтезированного независимым путем [11], с образованием углеводорода VI. Отметим, что реакция приводит также к получению изопропенилпропенилацетилена XV.

Тот факт, что аллильная изомеризация происходит в сравнительно мягких условиях—при обычной перегонке XI в присутствии каталитического количества едкого кали, в то время как 1,3-перенос в аллене XII требует не только длительного нагревания, но и применения биполярного растворителя—диметилформамида, свидетельствует в пользу первой из приведенных схем руслотропной изомеризации.

Следует отметить, что последовательную реакцию прототропной изомеризации аллилизопропенилацетилена XI в диенины VI и XV можно осуществить без выделения промежуточного аллена XII путем нагрева-

ния углеводорода XI в диметилформамиде в присутствии оснований.

Здесь особенно важно и то, что как в вышеприведенных примерах, так и при изомеризации аллилацетиленового карбинола XX в пропенилацетиленовый спирт XIX предпочтительно образуются изомеры с цисрасположением двух соседних атомов водорода при углеродных атомах вицинально замещенной кратной связи (XV, XIX), что, по всей вероятности, связано с геометрической стабильностью аллильных анионов [12].

Экспериментальная часть

ЯМР спектры были сняты в ССІ₄ на приборе «Perkin-Elmer B-12» с рабочей частотой 60 *МГц*. В качестве внутреннего стандарта служил ТМС. ИК спектры снимались на приборе «UR-20», УФ спектры—на «Specord» в этаноле. ГЖХ. прибор ЛХМ-8МД, 1 модели, колонка 2 м×3 мм, насадка 5% SE-30 на хроматоне N-AW ДМС S (0,20—0,25 мм). Газ-носитель—гелий (60 мл/мин).

- 2-Метилгептатетраен-2,3,4,6. а. К 7 г (0,037 моля) 2-метил-2-бром-гептен-6-ина-3 в ампуле при охлаждении до—5° постепенно добавлено 11,05 г (0,13 моля) пиперидина. Ампула запаяна и оставлена в течение дня при комнатной температуре. Выпавший гидробромид тщательно промыт эфиром. Эфирный экстракт обработан разбавленной HCl, промыт водой, высушен над сернокислым магнием. Сырой продукт, по данным ИК спектра, представлял собой смесь винилбутатриена и исходного бромида. Судя по количеству выделившегося гидробромида, выход винилбутатриена составляет 87%. Перегонкой в вакууме (11 мм) получена жидкость с т. кип. $49-50^{\circ}/11$ мм; n_D^{20} 1,5485. ИК (d=0,02) $\nu_{max}=3100$, 3020 (—CH=): 2995, 2940, 2920, 2860, 2060, 1655 (C=C=C=CH-), 6=1,91 [(CH₃)₂C=C=] м 5—6,5 м. д. (=CH-CH=CH₂) м: УФ (этанол) $\lambda_{max}=205$ ($\varepsilon=6700$) 238 ($\varepsilon=7000$) 285 мм ($\varepsilon=27000$).
- б. 7,1 г (0,05 моля) 2-метил-2-хлоргептен-6-ина-3 и 12,75 г (0,15 моля) пиперидина запаяно в ампуле, нагрето в течение 20 мин. при 50°, после чего аналогично вышеописанному получен винилбутатриен с выходом 74%.
- в. Из 7,1 г (0,05 моля) 2-метил-2-хлоргептен-6-ина-3 и 11 г (0,15 моля) диэтиламина после стояния в течение 7 дней в холодильнике получено соединение V с выходом 54,8%.
- г. Из 2,85 г (0,05 моля) триметиламина и 9,35 г (0,05 моля) 2-метил-2-бромгептен-6-ина-3 получено соединение V с выходом 71,4%.
- д. Из 3,77 г (0,037 моля) триэтиламина и 7 г (0,037 моля) 2-метил-2-бромгептен-6-ина-3 в 20 мл абс. эфира после стояния в течение 3 дней получено соединение V с выходом 63%.
- е. Из 5,05 г (0.05 моля) триэтиламина и 7,1 г (0,05 моля) 2-метил-2-хлоргептен-6-ина-3 получено соединение V с выходом 37,8 %.

Взаимодействие 2-метил-2-хлоргептен-6-ина-3 с едким кали. а) К 7 г (0,125 моля) едкого кали в 20 мл диметилформамида при перемешивании прикапано 5 г (0,035 моля) 2-метил-2-хлоргептен-6-ина-3. Перемешивание продолжено в течение 10 час. при 60—65°. Реакционная смесь экстрагирована эфиром, несколько раз промыта водой, высушена над MgSO₄ и перегнана. Получено 2 г (53,8%) смеси 2-метилгептадиен-2,6-ина-4 и XV в соотношении 5:1 (ГЖХ), перегонявшейся при 35—36°/12 мм. Найдено 0 /0: С 90,30; Н 9,95. С_вН₁₀. Вычислено 0 /0: С 90,56; Н 9,43. ИК (d=0,02): $v_{max}=3100$, 3040, 3010 (=CH—); 2220, 2190 (-С=C—), 1645, 1610 (—С=С-сопряж.), $\delta_{max}=970$, 950, 915, 895 см⁻¹ (-CH=). ЯМР (ССІ₄); $\delta=1$,85 [(СН₃)₂С=] м, 5,1—6,1 м. д. ($C=CH-C=C-CH=CH_{2}$), УФ (этанол) $\lambda_{max}=205$ ($\alpha=8100$) 268 мм ($\alpha=10100$).

6) При перемешивании к 11,2 г (0,2 моля) едкого кали в 50 мл диметилсульфоксида прибавлено 7,12 г (0,05 моля) 2-метил-2-хлоргептен-6-ина-3. Перемешивание продолжено в течение 10 час. при 60—65°. Реакционная смесь экстрагирована эфиром, эфирный экстракт промыт водой, высушен над MgSO₄ и перегнан. Получено 1,7 г (32,1%) смеси 2-метилгептадиен-2,6-ина-4 с т. кип. 36—37°/12 мм. Найдено %: С 90,30; Н 9,95. С_вН₁₀. Вычислено %: С 90,56; Н 9,43. ИК (d=0,02) $v_{max}=3100, 3040, 3010 (=CH-); 2220, 2190 (-C=C-) 1645, 1610 (C=C сопряж.) <math>\delta_{max}=970, 950, 915, 895$ см⁻¹ (-CH=). ЯМР (CCI₄); $\delta=1,85$ [(CH₃)₂C=] м; 5,1—6,1 м. д. (С=CHC=CCH=CH₂) м. УФ этанол $\lambda_{max}=205$ ($\epsilon=30000$), 268 нм ($\epsilon=28000$).

Взаимодействие 2-метилгентатриена-2,3,4,6 с третбутилатом калия. Взаимодействием 1,59 г (0,015 моля) V с 0,3 г третбутилата калия в 10 мл диметилсульфоксида при комнатной температуре в течение 24 час. получено 0,8 г (50%) смеси 2-метил-2,6-гептадиен-4-ина и XV в соотношении 18:1 (ГЖХ), перегнавшейся при 34—35°/13 мм. Найдено %: С 89,75; Н 9,60. С₈Н₁₀. Вычислено 0 /₀: С 90,56; Н 9,43. ИК ($\mathcal{L}=0,02$); $^{v_{max}}=3100$, 3040, 3010 (=CH-): 2220, 2190 (—С=C-) 1645, 1610 (С=С сопряж.) $^{\delta_{max}}=970$, 950, 895 см⁻¹ (—СН=) ЯМР (ССІ₄): $^{\delta}=1,85$ [(СН₃)₃С=] м, 5,1-6,1 м. д. (С=СH-С=С—СH=СН₂) м. УФ (этанол) $^{\lambda_{max}}=205$ ($^{\varepsilon}=7600$) 268 нм ($^{\varepsilon}=7000$).

Взаимодействие 2-метилгентатетраена-1,3,4,6 [11] с едким кали. К раствору 5,04 г (0,09 моля) едкого кали в 20 мл диметилформамида прикапано 4,77 г (0,045 моля) 2-метилгентатетраена-1,3,4,6. Перемешивали в течение 5 час. при 60—65°. Затем смесь экстрагирована эфиром, несколько раз промыта водой и перегнана. Получено 2,6 г (54,5%) смеси 2-метилгентадиен-2,6-ина-4 и XV в соотношении 6:1 (ГЖХ), перегнавшейся при $35-36^\circ/12$ мм. ИК (d=0,02); $v_{max}=3100$, 3040, 3010 (=CH—) 2220, 2190 (—С \equiv C—); 1645, 1610 (—С \equiv C сопряж.) $\delta_{max}=915$, 950, 970, 895 см $^{-1}$ (=CH $^{-1}$). ЯМР (CCI $_{4}$); $\delta=1,85$ [(CH $_{4}$) $_{2}$ C=] м.

5,1—6,1 м. д. $(C = CHC = CCH = CH_2)$ м. УФ (этанол); $\lambda_{max} = 205$ ($\epsilon = 50000$); 268 нм ($\epsilon = 60000$).

Взаимодействие 2-метилгептадиен-1,6-ина-3 с едким кали. К раствору 11,2 г (0,2 моля) едкого кали в 50мл диметилформамида прикапано 7,42 г (0,07 моля) 2-метилгептадиен-1,6-ина-3. Смесь перемешивалась в течение 7 час. при 60—65°. После обычной обработки получено 4,5 г (60,6%) смеси 2-метилгептадиен-2,6-ина-4 и XV в соотношении 3,78:1 (ГЖХ), перегнавшейся при 35—36°/12 мм. Найдено %: С 91,01; Н 10,12. С_вН₁₀. Вычислено 0 /n: С 90,56; Н 9,43. ИК (d=0,02) 1 1 1 1 1 1 1 1 1 1 1 1 1 1 1 1 1 1 1 1 1 1 1 1 1 1 1 1 1 1 1 1 1 1 1 1 1 1 1 1 1 1 1 1 1 1 1 1 1 1 1 1 1 1 1 1 1 1 1 1 1 1 1 1 1 1 1 1 1 1 1 1 1 1 1 1 1 1 1 1 1 1 1 1 1 1 1 1 1 1 1 1 1 1 1 1 1 1 1 1 1 1 1 1 1 1 1 1 1 1 1 1 1 1 1 1 1 1 1 1 1 1 1 1 1 1 1 1 1 1 1 1 1 1 1 1 1 1 1 1 1 1 1 1 1 1 1 1 1 1 1 1 1 1 1 1 1 1 1 1 1 1 1 1 1 1 1 1 1 1 1 1 1 1 1 1 1 1 1 1 1 1 1 1 1 1 1 1 1 1 1 1 1 1 1 1 1 1 1 1 1 1 1 1 1 1 1 1 1 1 1 1 1 1 1 1 1 1 1 1 1 1 1 1 1 1

2-Метилгептадиен-1,5-ина-3. Смесь 5,8 ε (0,0467 моля) 2-метилгептен-5-ин-3ола-2 (XIX), 20 мл 40% серной кислоты перемешивалась в течение 2 час. при 50°, масляный слой отделялся, нейтрализовался поташом, промывался водой, экстрагировался эфиром и сушился над сернокислым магнием. После удаления эфира остаток перегонялся в вакууме. Получено 2,0 ε (40,40%) 2-метилгептадиен-1,5-ина-3 ε т. кип. 36—39°/11 мм; n_D^{20} 1,5030, d_D^{20} 0,8191. Найдено o_D^{20} С 90,04; Н 10,05. o_D^{20} Вычислено o_D^{20} С 90,56; Н 9,43. ИК (o_D^{20} 0,02); o_D^{20} 3030 (=CH-); 2190 (—C=C); 1645, 1610 (C=C сопряж.); o_D^{20} 3030, 895 o_D^{20} (—CH=); ЯМР (ССІ₄); o_D^{20} 31,83 (СН₄CH=CH—) д. д. (o_D^{20} 7, o_D^{20} 7, o_D^{20} 7, o_D^{20} 8,95 o_D^{20} 7, o_D^{20} 7, o_D^{20} 7, o_D^{20} 8,95 o_D^{20} 7, o_D^{20} 7, o_D^{20} 8,95 o_D^{20} 7, o_D^{20} 7, o_D^{20} 8,95 o_D^{20} 7, o_D^{20} 8,96 o_D^{20} 7, o_D^{20} 8,97 o_D^{20} 8,97 o_D^{20} 8,97 o_D^{20} 7, o_D^{20} 8,97 o_D^{20} 7, o_D^{20} 8,97 o_D^{20} 8,97 o_D^{20} 8,97 o_D^{20} 8,97 o_D^{20} 8,97 o_D^{20} 9,97 o_D^{20} 9,

ՉՀԱԳԵՑԱԾ ՄԻԱՑՈՒԹՅՈՒՆՆԵՐԻ ՌԵԱԿՑԻԱՆԵՐ

LXI. ԱԼԻԼՊՐՈՊԱՐԳԻԼ ՀԱԼՈԳԵՆԻԴՆԵՐԻ ԵՎ ԱՄԻՆՆԵՐԻ ՌԵԱԿՑԻԱՆԵՐԻ ՅՈՒՐԱՀԱՏԿՈՒԹՅՈՒՆՆԵՐԸ

Գ. Ռ. ՄԽԻԹԱՐՑԱՆ, Ֆ. Ս. ՔԻՆՈՑԱՆ, Ա. Պ. ԽՐԻՄՑԱՆ և Շ. Հ. ԲԱԴԱՆՑԱՆ

Ալիլպրոպարգիլ հալոգենիդների պիպիրիդինի, դիէթիլ-, տրիէթիլ-, տրիմեթիլամինների հետ փոխազդելիս 1,4 պոկման հետևանքով առաջանում է վինիլբուտատրիեն։ Վերջինս հիմքերի ներկայությամբ դիմեթիլսուլֆօքսիդում կամ դիմեթիլֆորմամիդում իզոմերվում է դիենինի։

REACTIONS OF UNSATURATED COMPOUNDS

LXI. SPECIFICITY OF THE REACTION ALLYL PROPARGYL HALIDES AND AMINES

G. R. MCHITARIAN, F. S. KINOYAN, A. P. KHRIMIAN and Sh. H. BADANIAN

Treatment of allyl propargyl halides with pyridine (piperidine), diethyl triethyl and trimethylamines lead to the formation of vinyl butatrienes through a 1,4-elimination reaction. The latter isomerise into dienyns in DMSO or DMFA when treated with bases. Dienyns were also obtained under the same conditions from allyl propargyl halides.

- 1. С. А. Вартанян, Ш. О. Баданян, А. В. Мушегян, Изв. АН Арм. ССР, 16, 547 (1963); 17, 505 (1964); 19 864 (1966); С. А. Вартанлн, Ш. О. Баданян, Э. А. Арутюнян, Э. А. Абгарян, Арм. хим. ж., 22, 998 (1969).
- 2. С. А. Вартанян, Э. А. Абгарян, Ш. О. Баданян, Арм. хим. ж., 23, 748 (1970); Ш. О. Баданян, М. Г. Восканян, Г. Г. Худоян, Арм. хим. ж., 23, 804 (1970).
- 3. Ш. О. Баданян, С. А. Вартанян, М. Р. Бархударян, А. А. Геворкян, Арм. кнм. ж., 24, 232 (1971).
- 4. Ш. О. Баданян, М. Г. Восканян, Г. Г. Худоян, Р. Г. Агабабян, Арм. хим. ж., 27, 401 (1974).
- 5. М. Г. Восканян, Г. Г. Худоян, Ш. О. Баданян, Арм. хнм. ж., 28, 802 (1975); Ш. О. Баданян, А. П. Хримян, Арм. хнм. ж., 27, 625 (1974).
- 6. Ф. С. Киноян, С. К. Пиренян, С. А. Вартанян, Арм. хим. ж., 24, 871 (1971).
- 7. R. G. Pearson, Chem. In Britain, 1967, 103; Science, 1966, 172; J. Am. Chem. Soc. 85, 3533 (1963); Р. Дж. Пирсон, И. Зонгстад, Усп. хим., 38, 1223 (1969); Р. Дж. Пирсон, Усп. хим., 40, 1259 (1971).
- H. C. Brown, A. Cahn, J. Am. Chem. Soc., 77, 1715 (1955); H. C. Brown, B. Kanner, J. Am. Chem. Soc., 88, 986 (1966).
- 9. Р. Ф. Хадсон, Усп. хим., 35, 1448 (1966).
- E. R. Thornton, J. Am. Chem. Soc., 89, 2915 (1967); G. J. Frisone, E. R. Thornton, J. Am. Chem. Soc., 90, 1211 (1968).
- 11. Г. Р. Мхитарян, Ф. С. Киноян, Ш. О. Баданян, Арм. хим. ж.. 31, 501 (1978).
- 12. W. G. Young, S. H. Sharman, S. Winstein, J. Am. Chem. Soc., 82, 1376 (1960); J. H. Brewster, H. O. Bayer, J. Org. Chem., 29, 105 (1964).

XXXII, № 2, 1979

УДК 542.91:547.1:128

ГИДРОСИЛИЛИРОВАНИЕ 1-ЭТОКСИБУТИНА-2

н. г. мушегян, а. г. вартанян и м. о. меликян

Институт общей и неорганической химии АН Армянской ССР, Ереван

Поступило 16 XII 1977

Исследованы реаждии гидросилилирования 1-этоксибутина-2 триэтил-, диэтилхлор-, этилдихлор-, трихлор-, фенилдихлор-, дифенилхлор- и трифенилсиланами. Показано, что в случае гидросилилирования 1-этокси-бутина-2 триэтилсиланом получается в основном один из возможных двух изомеров, а именио, 1-этокси-2-триэтилсилилбутеп-2. При гидросилилировании остальными этилхлорсиланами и трихлорсиланом образуются смеси обоих возможных изомеров, т. е. соответствующих 2- и 3-силилироизводных-1-этокси-бутенов.

Табл. 2, библ. ссылок 17.

В 1957 г. Спайером в качесве катализатора реакции гидросилилирования непредельных соединений была применена платинохлористоводородная кислота [1], которая по своей эффективности превзошла все предшествующие катализаторы. После этого в литературе появились многочисленные сообщения о получении кремнийорганических соединений с помощью реакции присоединения гидридсиланов к различным непредельным соединениям с применением катализатора Спайера.

В литературе имеются описания реакций присоединений гидридсиланов к ацеиленовым углеводородам и его производным [2—8].

В настоящей работе исследованы реакции присоединения различных гидридсиланов к 1-этоксибутину-2 в присутствии катализатора Спайера [1] согласно следующей схеме:

$$CH_{3}C = CCH_{2}OC_{2}H_{5}$$

$$RR'R''SIH$$

$$CH_{3}C = CCH_{2}OC_{2}H_{5}$$

$$R'' \qquad I$$

$$CH_{3}C = CHCH_{2}OC_{2}H_{5}$$

$$CH_{3}C = CHCH_{2}OC_{2}H_{5}$$

$$R'' \qquad II$$

гле a. $R=R'=R''=C_2H_5$; б. $R=R'=C_2H_5$, R''=CI; в. $R=C_2H_5$, R'=R''=CI; г. R=R'=R''=CI; д. $R=C_6H_5$, R'=R''=CI; е. $R=R'=C_6H_5$, R''=CI; ж. $R=R'=R''=C_6H_5$.

Выходы и константы полученных соединений приведены в табл. 1.

Согласно данным ИК и ПМР спектров, в случае присоединения галогенсодержащих силанов образуются смеси двух ожидаемых изомерных продуктов I и II, при присоединении же триэтилсилана II образуется лишь с незначительным выходом. Полученные данные, по-видимому, могут быть объяснены большой реакционноспособностью хлорсиланов [9], что приводит к уменьшению селективности реакций. Хлорсилилпроизводные 1-этоксибутенов-2 были подвергнуты воздействию этил- и фенилмагнийбромидов. Как и следовало ожидать, в результате были получены продукты непосредственного присоединения триэтил- и трифенилсиланов к 1-этоксибутину-2 (табл. 2).

Экспериментальная часть

ИК спектры снимались на приборе «UR-20» при комнатной температуре, спектры ПМР на спектрометре «T-60 (Varian)» при 60 МГц относительно ТМС.

Исходный 1-этоксибутин-2 получен из 1,3-дихлорбутена-2 по известному способу [10].

Общее описание реакции гидрогилилирования 1-этоксибутина-2. К смеси 1-этоксибутина-2 и соответствующего гидридоилана (в мольном соотношении 1:1, а в случае трихлорсилана 1:3 ввиду летучести последнего) при перемешивании прибавлен 0,1-мольный раствор платино-хлористоводородной кислоты в изопропиловом спирте (катализатор Спайера) из расчета 1—2 мл на один моль реагента. Смесь нагревалась до 80—90° 3—4 часа. После отгонки не вступивших в реакцию исходных веществ продукт перегнан в вакууме. Результаты приведены в табл. 1.

В ИК спектрах синтезированных веществ отсутствует область валентных колебаний С \equiv С связи и проявляются частоты в области 1630—1650 cm^{-1} , характерные для связи С \equiv С.

Данные ПМР* слектров, δ , м. д.: а) 1,75 д (СН₃CH=), 5,85 кв. (СН₃CH=) с J=7 Γ μ , 4,03 ушир. с. (СН₂O), 3,42 кв. (ОСН₂CH₃) с J=6 Γ μ , в области 0,4—1,4 сигналы СН₃ этоксильной и этильной групп при атоме кремния; б) 1,68—1,90, 5,90—6,40, 3,98—4,30 мультиплет, в) 1,67—1,97, 5,90—6,44, 4,0—4,34 мультиплет, г) 1,8—2,0, 6,4—6,82, 4,0—4,34 мультиплет.

Получение 1-этокситриэтил (трифенил) силилбутена-2 из хлорсилилпроизводных 1-этоксибутенов-2. К реактиву Гриньяра, приготовленному из магния и бромистого этила (или бромбензола) в среде абс. эфира, прибавлены синтезированные хлорсилилпроизводные 1-этоксибутенов-2 I и II (б, в, г, д, е) в мольном соотношении к реактиву Гриньяра 1:1; 1:2; 1:3; 1:2 и 1:1, соответственно. Смесь нагревалась 3—4 часа.

^{*} ИК и ПМР спектры сняты Л. В. Хажакяном, за что авторы выражают ему благодарность.

IиII	п, °/о	Т. перегонки,	d ²⁰	d ₄ ²⁰ n _D ²⁰		Найдено, °/о				числено, °/ ₀			
R, R', R"	Выход,	°С/мж	-4	"D	С	Н	SI	CI	С	Н	SI	CI	
$R=R'=R'=C_1H_5$	70	100—102/5—6	0,853	1,4540	66,89	12,39	13.40	-	67,2	12,20	13,10	-	
$R = R' = C_2 H_5, R'' = C1$	67	114—115/12	0,9525	1,4571	53,69	10,18	11,65	15,99	54.39	9,99	12,02	15,62	
$R=C_2H_8$, $R'=R''=C1$	45	88-90/5	1,075	1, 1630	41,90	7,29	12,30	31,12	42,29	7,09	12,36	31,20	
R=R'=R''=C1	69	75-77/7-8	1,1949	1,4655	30,50	5.21	11,90	45,53	30.46	4,74	12,02	46.12	
$R = C_6 H_8$, $R' = R'' = C1$	44	160—164/5—6	1,1241	1,5162	52,44	6,25	10,20	25,90	52,35	5,85	10,26	25,78	
$R=R'=C_6H_5$, $R''=CI$	37	182—186/5—6	1,0794	1,5560	70,32	7.92	7,14	11,59	69,98	7.35	7,32	11,31	
$R = R' = R'' = C_4H_5$	45	222—226/1—2*	1,0841	1,5958	80,03	6,69	8,00		80,39	7,30	7,83	-	

^{*} Т. пл. 92° (этиловый спирт).

Таблица 2 Триэтил(трифенил)силил-1-этоксибутены-2, полученные из хлорсилилпроизводных 1-этоксибутенов-2

Исходные 1 и II	1, 0/0	Т. перегонки.	d.20	n20	Н	айдено,	0/0	Вычислено, %/		
R, R', R"	Выхол,	°С/мм	a4	u _D	С	Н	SI	С	н	St
$R = R' = C_2H_5; R'' = C1$	73	101-103/5-6	0,8608	1,4595	66.69	12,19	13.21	67,20	12,20	13,10
$R=C_2H_3$, $R'=R''=CI$	75	101-103/5-6	0,860	1,4540	66,83	12,73	13,40	67,20	12,20	13,10
R=R'=R''=CI	72	100—102/5—6	0.8551	1,4540	66.35	12.39	12,90	67,20	12,20	13,10
$R=R'=C_0H_0$, $R''=CI$	29	223-226/1-2	0,0841	1,4558	80,03	6,69	8,00	80,33	7,30	7,83
R=C4H5, R'=R"=C1	31	222-226/1-2	1,084	1,5955	80,27	7,04	8,27	80,33	7,30	7,83

После подкисления продукт реакции экстрагирован эфиром; эфирный раствор высушен над безводным сульфатом натрия. После отгонки эфира продукт перегнан в вакууме. Выходы и константы полученных веществ приведены в табл. 2.

1-էԹՕՔՍԻԲՈՒՏԻՆ-2-Ի ՀԻԴՐՈՍԻԼԻԼԱՑՈՒՄԸ

1₁, դ. ՄՈՒՇԵՂՑԱՆ, Ա. Գ. ՎԱՐԴԱՆՑԱՆ **և Մ.** Հ. ՄԵԼԻՔՑԱՆ

Ուսումնասիրված է 1-էի՞օքսի-2-բուտինի հիդրոսիլիլացումը տրիէիիլ-, դիէի՞իլելոր-, էր՞իլդիքլոր-, տրիքլոր-, ֆենիլդիքլոր-, դիֆենիլքլոր- և տրիֆենիլսիլաններով։ Ցույց է տրված, որ 1-էի՞օքսի-2-բուտինի հիդրոսիլիլացումը տրիէնիլսիլանով բերում է հիմնականում երկու հնարավոր իզոմերներից
մեկի՝ 1-էի՞օքսի-2-արիէնիլսիլիլ-2-բուտենի առաջացման։ Մնացած դեպքերում ստարվում է երկու հնարավոր իզոմերների խառնուրդ։

HYDROSILYLATION OF 1-ETHOXYBUTYN-2

N. G. MUSHEGHIAN, A. G. VARDANIAN and M. H. MELIKIAN

The hydrosilylation reaction of 1-ethoxybutyn-2 with the following silanes: triethyl, diethylchloro, ethyldichloro, trichloro, phenyldichloro, diphenylchloro, and triphenyls were investigated. It was shown that in the case of hydrosilylation of 1-ethoxybutyn-2 with triethylsilane mainly one of the two possible isomers, naimly: 1-ethoxy-2-triethylsilylbutene-2 was formed. Hydrosilylation with the rest of ethylchlorosilanes and trichlorosilane produced a mixtures of both possible isomers. i. e. the corresponding 2-silyl and 3-silyl derivatives of 1-ethoxy-butene-2.

- 1. Y. Speler, Y. Y. Webster, G. Barner, J. Am. Chem. Soc., 79, 974 (1957).
- 2. Л. Л. Шуковская, Р. И. Пальчик, ЖОХ 35, 1122 (1965).
- 3. Н. В. Комаров, В. Б. Пухнаревич, С. П. Сущинская, Г. А. Калабина, В. Г. Сахаровский, Изв. АН СССР, сер. хим., 1968, 839.
- 4. Н. В. Комаров, С. В. Кирпиченко, Изв. АН СССР, сер. хим., 1970, 2288.
- 5. G. Stock, E. Colvin, J. Am. Chem. Soc., 93, 2080 (1971).
- К. И. Черкезишвили, М. О. Тактакишвили, И. М. Гвердцители, Сообщ. АН Груз. ССР, 78, 101 (1975).
- 7. И. М. Гвердцители, Т. Т. Талаквадзе, Соосщ. АН Груз. ССР, 79, 601 (1975).
- 8. М. Г. Воронков, С. В. Кирпиченко, В. В. Кейко, Л. В. Шерстянникова, В. А. Пестунович, Е. О. Цетлина. Изв. АН СССР, сер. хим., 1975, 390.
- 9. M. Capka, P. Svoboda, V. Bazant, V. Chvolovsky, Coll. Czech., Chem. Communs 36, 2785 (1971).
- 10. Г. М. Мкрян, Изв. АН Арм. ССР, 1, 260 (1948).

XXXII. № 2, 1979

УДК 547 642

МЕЖМОЛЕКУЛЯРНАЯ КОНДЕНСАЦИЯ НЕСИММЕТРИЧНЫХ ОКСИРАНОВ С ЦИКЛИЧЕСКИМИ КЕТОНАМИ И КЕТОНАМИ АЛИФАТИЧЕСКОГО РЯДА

Э. Г. МЕСРОПЯН, Г. Б. АМБАРЦУМЯН, Ю. А. БУНЯТЯН и М. Т. ДАНГЯН Ереванский государственный университет

Поступило 15 IX 1977

Взаимодействие алкилглицидилмалоновых и алкилглицидилацетоуксусных эфиров с циклопентаноном, циклогексаноном и ацетоном в присутствии каталитических количеств эфирата трехфтористого бора приводит к образованию соответствующих функционально замещенных новых дноксоланов.

Табл. 3, библ. ссылок 3.

Известны способы получения 1,3-диоксоланов взаимодействием окисей с циклическими и алифатическими кетонами, бензальдегидом [1—3].

В настоящей работе изучено взаимодействие алкилглицидилмалоновых (I—IV) и алкилглицидилацетоуксусных (V—VII) эфиров с циклопентаноном, циклогексаноном и ацетоном в присутствии каталитических количеств эфирата трехфтористого бора, приводящее к образованию соответствующих диоксольнов (VIII—XXIV).

 $X = COOC_2H_5$ (I-IV, VIII-XV); $COCH_3$ (V-VII, XVI-XXIV); $R = C_4H_5$; C_5H_{11} ; C_6H_{13} ; C_9H_{19} ; $R' = CH_3$ (XXII-XXIV); $R'R' = (CH_2)_4$ (VIII-XI, XVI-XVIII); $R'R' = (CH_3)_5$ (XII-XV, XIX-XXI).

Оксираны V—VII с ацетоном легко реагируют при комнатной температуре, а оксираны I—VII с циклопентаноном и циклогексаноном реагируют при нагревании до 60°.

Строение диоксоланов VIII—XXIV подтверждено ИК и ПМР спектрами.

Соединения VIII—XXIV гидролизуются 5% соляной кислотой до соответствующих 2-алкил-2-этоксикарбонил (ацетил) - 4-гидроксиметил-4-бутанолидов (XXV, XXVI) и циклических кетонов.

$$\begin{array}{c} C_{9}H_{11} \\ XCCOOC_{2}H_{5} \\ CH_{2}CH - CH_{2} \\ CCOOC_{2}H_{5} \\ CH_{2}OH \\ CCOOC_{2}H_{5} \\ CH_{2}OH \\ XXV, XXVI \\ XIII, XX \\ \end{array}$$

 $X = COOC_2H_5$ (XIII, XXV): $COCH_3$ (XX, XXVI).

Диоксан XIII также получен из циклогексанона и диэтилового эфира амил-2,3-диоксипропилмалоновой кислоты. Последний синтезирован кислотным гидролизом оксирана II [3].

Экспериментальная часть

ИК спектры измерены на приборе «ИКС-22», ПМР спектры—на приборе «Hitachi-Perkin-Elmer R-20В», с рабочей частогой 60 МГц, при $34\pm1^\circ$. Чистота соединений проверялась ТСХ на незакрепленном слое окыси алюминия II степени активности в системе гексан—диоксан (7:1,5); проявление—парами иода.

2-[(2'-Алкил-2',2'-диэтоксикарбонил)этил]-1,4-диоксоспиро(4,4) понаны (VIII—XI) и -(4,5) деканы (VII—XV). К смеси 0,08 моля циклического кетона и 0,2 мл эфирата ВF₃ медленно, при охлаждении добавляют 0,04 моля алкилглицидилмалонового эфира, растворенного в 0,08 моля циклического кетона, и 4 часа нагревают при 60°. При комнатной температуре смесь обрабатывают насыщенным раствором поташа до нейтральной реакции. Маслянистый слой отделяют, водный экстрагируют эфиром. Объединенные органические слои сущат над сульфатом натрия. После удаления эфира и избытка кетона остаток разгоняют в вакууме (табл. 1).

2-[(2'-Алкил-2'-ацетил-2-этоксикарбонил)этил]-1,4-диоксоспиро-(4, 4)нонаны (XVI—XVIII) и -(4,5)деканы (XIX—XXI). В количествах и условиях предыдущего опыта получены XVI—XXI (табл. 2).

Таблица 1 2-(2'-Алкил-2'-диэтоксикарбонил)этил]-1,4-диоксоспиро(4,!)нонаны (VIII—XI) и -(4,5)деканы (XII—XV); X=COOC₂H₃

еди-				Т. кип.,	d ²⁰	n _D ²⁰	Найдено, º/。		Вычис	D	
№ сое нений	R	R'R'	Выход,	°С/жм	a ₄	n _D	С	н	С	н	R _f
VII	C.H.		38	145—150 (0,5)	1,0612	1,4643	63,4	8,8	64,0	8.98	0.59
IX	C ₅ H ₁₁	цикло- пенталон	42	165—170 (0.5)	_			9,0	61,86	9,18	0,61
X	ينالنك	HIGH	45	170-175 (0,5)				9,4	65,92	9,37	0,64
XI	C.H.	2 20	48	180-185 (0,5)	1,0405	1,4632	67,2	9,8	67,6	9,8	0,63
XII	C.H.	50	40	154—156 (0,5)	1,0613	1,4631	64,1	9.4	64,9	9.2	0.60
XIII	CaH	-OHO	42	153 (0,5)	,,0512	1,4629	65,0	9,6	65,6	9,3	0,61
XIV ,	C ₆ H ₁₃	цикло- ексанон	48	171 (0,5)	1,0252	1,4618	66,3	9,1	66,3	9,5	0,62
		-	51	190—195 (0,5)	1,0456	1,4627	68,7	9,9	68,1	10,0	0,63

Таолица 2 2-[(2'-Алкил-2'-ацетил-2'-этоксикар юнил)этил}-1,4-диоксоспиро(4,4)нонаны (XVI - XVIII) и -(4,5)деканы (XIX--XXI); X=СОСН₃

R _f
I I'd
0.56
0,55
0,54
0.57
0,55
0,58

2-[(2'-Алкил-2'-ацетил-2'-этоксикарбонил)этил]-5,5-диметил-1,4-диоксопентаны XXII—XXIV. Смесь 0,014 мо ія алкилглицидилацетоуксусного эфира, 13 мл ацетона и 0,1 мл эфирата BF₃ оставляют 48 час. при комнатной температуре, затем обрабатывают 10 мл насыщенного раствора поташа. После отделения маслянистого слоя и экстрагирования водяного слоя объединенные органические слои сушат над сульфатом натрия, удаляют эфир и избыток ацетона, остаток разгоняют в вакууме (табл. 3).

Кислотный гидролиз XIII, XX. Смесь 0,015 моля XIII или XX и 10 мл 5% НСІ нагревают на водяной бане 5—6 час. и после охлаждения обрабатывают насыщенным раствором поташа до нейтральной реакции. Отделяют маслянистый слой, присоединяют его к эфирным экстрактам водного слоя, сушат над сульфатом магния. Удаляют эфир и циклогексанон (т. пл. 2,4-динитрофенилгидразона 161°, метанол), остаток разго-

няют в вакууме. Получают XXV с т. кип. 155—160°/0,5 мм, выход 90%, Π_D^{20} 1,4635. Найдено %: С 61,00; Н 8,51. С₁₃Н₂₂О₅. Вычислено %: С 60, 73; Н 8,52. XXVI с т. кип. 138°/0,5 мм, выход 87%, т. пл. 42°. Найдено %: С 63,15; Н 8,59. Вычислено %: С 63,15; Н 8,77.

Таблица 3 2-[(2'-Алкил-2'-ацетил-2'-этоксикарбонил)этил]-5,5-диметил-1,4-диоксапентаны (XXII—XXIV); $X = COCH_3$

еди-	R*	п. %	Т. кип., Т. пл.,	Найде	Найдено, °/о		Вычислено, %		
ж соеди- нений	IK.	Выход	°C/0,5 мм	°C	С	Н	С	Н	Re
IIXX	C ₄ H ₆	40	140—145	53	63.97	9,31	64,0	9,33	0,54
XXIII	C5H11	42	145 -150	56	61,5	9,56	64,96	9,55	0,55
XXIV	C ₆ H ₁₃	43	150—152	55	65,66	9,7	65,8	9,7	0,53

Встречный синтез XIII. Смссь 0,072 моля амилглицидилмалонового эфира, 0,3 г конц. серной кислоты и 30 мл воды нагревают при 80—85° 3 часа, затем нейтрализуют небольшим количеством поташа и экстрагируют эфиром. Эфирные вытяжки сушат над безводным сульфатом натрия, добавляют 0,144 моля циклогексанона и 4 часа нагревают при 60°. После удаления избытка кетона остаток разгоняют в вакууме. Получают 8 г (42,5%) XIII с т. кип. 153—155°/0,5 мм, n_D^{20} 1,4630. Найдено %: С 65,3; Н 9,2. $C_{21}H_{36}O_6$. Вычислено %: С 65,6; Н 9,3.

ՈՉ ՍԻՄԵՏՐԻԿ ՕՔՍԻՐԱՆՆԵՐԻ ՄԻՋՄՈԼԵԿՈՒԼԱՑԻՆ ԿՈՆԴԵՆՍՈՒՄԸ ՑԻԿԼԻԿ ԵՎ ԱՑԻԿԼԻԿ ԿԵՏՈՆՆԵՐԻ ՀԵՏ

է. Գ. ՄԵՍՐՈՊՅԱՆ, Գ. Բ. ՀԱՄԲԱՐՋՈՒՄՑԱՆ, Ցու Ա. ԲՈՒՆԻԱԹՅԱՆ Ե Մ. Տ. ԳԱՆՂՅԱՆ

Ալկիլգլիցիդիլմալոնաթթվի դեկքիլէսթերի և ալկիլգլիցիդիլացետոքացախաթթվի էթիլէսթերի փոխազդեցությունը ցիկլոհեքսանոնի, ցիկլոպենտանոնի և ացետոնի հետ F₃BO(C₂H₅)₂-ի ներկայությամբ բերում է դիօկսոլանների առաջացմանը։

INTRAMOLECULAR CONDENSATION OF NON-SYMMETRICAL OXIRANES WITH SOME CYCLIC AND ALIPHATIC KETONES

E. O. MESROPIAN, G. B. HAMBARTSOUMIAN, Yu. A. BOUNIATIAN and M. T. DANGHIAN

The interaction of diethyl alkylglycidylmalonates and ethyl alkylglycidylacetoacetates with cyclohexanone, cyclopentanone, and aceton in the presence of catalytic amounts of EF₃ etherate yielded some new dioxolanes.

- 1. В. Н. Яндовский, Т. И. Темникова, ЖОрХ, 4, 1758 (1968).
- 2. B. N. Blachett, J. M. Coxon, M. P. Hartshorn, A. H. Lewis, G. R. Zittle, G. J. Wright, Tetrah., 26, 1311 (1970).
- 3. И. Г. Тищенко, О. Н. Бубень, Г. З. Стисевич, ХГС, 7, 885 (1974).

XXXII, № 2, 1979

УЛК 547.752

производные индола

LXIII. N- $[\beta$ -(ИНДОЛИЛ-3')ЭТИЛ], N- $[(\tau parc-2-OҚСИМЕТИЛ-<math>\Delta^4$ - ЦИКЛОГЕКСЕНИЛ-1)МЕТИЛ]АМИН И ЕГО ПРОИЗВОДНЫЕ

С. А. ПОГОСЯН, Л. Л. ОГАНЕСЯН в К. А. ЧАУШЯН

Институт тонкой органической химин им. А. Л. Миджояна АН Армянской ССР, Ереван

Поступило 14 IX 1978

Описан синтез ряда замещенных триптаминов, являющихся промежуточными соединениями для получения структурных аналогов нохимбиноидов. Табл. 2, библ. ссылок 4.

Настоящая работа посвящена разработке метода получения этиловых эфиров монотриптамидов циклогексен- Δ^4 -транс-1,2-дикарбоновых кислот, которые могут быть использованы в качестве исходных веществ для синтеза структурных аналогов иохимбиноидов и аминоспиртов II, родственных по своему строению с некоторыми биогенными аминами индольного ряда [1—3].

Конденсацией триптамина и α-метилтриптамина с хлорангидридом монометилового эфира Δ⁴-циклогексен-транс-1,2-дикарбоновой кислоты [4] получены амиды I, строение которых подтверждено методом ИК спектроскопии. Чистота полученных амидов проверена ТСХ. Восстановлением АГЛ триптамиды I переведены в соответствующие аминоспирты II, охарактеризованные в виде хорошо кристаллизующихся солей.

Армянский химический журнал, XXXII, 2-4

При реакции II с хлорангидридами уксусной, бензойной и фенилуксусной кислот получены продукты днацилирования III, что подтверждено отсутствием характерного поглощения гидроксильной группы в ИК спектре.

Восстановлением III АГЛ получены N-замещенные третичные ами-

носпирты IV.

Противосудорожное действие препаратов изучалось на белых мышах. Препараты вводились внутрибрющинию в виде взвеси в метилкар-боксицеллюлозе в дозах 100—200 мг/кг. Противосудорожное действие определялось по тестам максимального электрошока, коразола, никотина и ареколина. Ни один из изученных соединений не обладал противосудорожным действием.

Экспериментальная часть

ИК спектры сняты на спектрометре UR-20. ТСХ проведена на окиси алюминия II степени активности, силуфоле UV-254, хлороформ—ацетон (8,5:1,5). Проявитель—пары йода.

 $N-[\alpha-Mетил-\beta-(индолил-3')$ этил] амид метилового эфира Δ^4 -циклогексен-транс-1,2-дикарбоновой кислоты (I, $R=CH_3$). Выход 81%, т. пл. 55—57° (эфир-петр. эфир), $R_{\rm f}$ 0,5. ИК спектр, v, см $^{-1}$: 730, 1440 (C=C, аром.), 1230 (С—О—С сл. эфир), 1620 (С=C), 1660 (С=O амид), 1760 (С=O сл. эф.), 3400 (NH инд.). Найдено %: С 70,60; H 7,13; N 7,83. $C_{20}H_{24}N_2O_3$. Вычислено %: С 70,56; H 7,10; N 8,22.

N-[β -(Hн ∂ олил-3') этил]-, N-[(Tранс-2-оксиметил- Δ 4-циклогексенил-1) метил] амин (II, R=H). K раствору 0,1 моля AГI в 100 мл абс. эфира медленно прикапывают 0,01 моля монометилового эфира амида I в 100 мл сухого тетрагидрофурана. Смесь кипятят 18 час., после чего разлагают 10% раствором едкого натра. Эфирно-тетрагидрофурановый раствор отфильтровывают. После удаления растворителя остаток растворяют в эфире, обрабатывают 10% раствором соляной кислоты. Водный слой подщелачивают, экстрагируют эфиром и высушивают над

едким кали. После отгонки большей части эфира остаток пропускают через слой окиси алюминия. Гидрохлорид осаждают из эфирного раствора. Выход 78%, т. пл. 94—95° (бензол), R_f 0,33. ИК спектр, v, c^{m-1} : 1615 (C=C), 3300—3350 (ОН, NH амин), 3410 (NH инд.) Найдено %: С 76,40: Н 8,43; N 10,06. $C_{18}H_{24}N_2O$. Вычислено %: С 76,01; Н 8,50; N 9,85. Гидрохлорид, т. пл. 156—160° (с разл.). Найдено %: С1 10,96. $C_{18}H_{25}N_2CIO$. Вычислено %: С1 11,05.

N-[α -Метил- β -(индолил-3') этил]-, N[(транс-2-оксиметил- Δ^4 -цикло-гексенил-1) метил] амин (II, $R=CH_3$). Выход 65%, т. пл. 62—65°. R, 0,32. ИК спектр, ν , см⁻¹: 1610 (C=C), 3200—3300 (OH), 3410 (NH инд.). Найдено %: С 76,10; Н 8,85; N 8,97. $C_{19}H_{26}N_2O$. Вычислено %: С 76,46; Н 8,78; N 9,38. Гидрохлорид, т. пл. 130—140° (с разл.). Найдено %: С1 10,38. $C_{19}H_{27}N_2OC$ l. Вычислено %: С1 10,58.

Амиды (III). Из 0,01 моля II, 10 мл пиридина и 0,022 моля соответствующих хлорангидридов при 5-часовом нагревании в бензоле получают амиды III.

Во время реакции с хлористым ацетилом полчаса перемешивают при комнатной температуре, растворы очищают пропусканием через слой окиси алюминия. Выделяют аморфные вещества (табл. 1). ИК спектры, v, cm^{-1} : 720—730, 1450—1460 (C=C аром.), 1210—1220 (С—О—С сл. эфир), 1610—1620 (C=C), 1640—1660 (C=O сл. эф.), 3350—3410 (NH инд.).

Таблица I N-[β-(Индолил-3')этил]амиды метилового эфира- Δ 4-циклогексентранс-1,2-дикарбоновой кислоты

D	D/	1, %	- 044	Hai	ідено,	%	Вычи	слено, ⁰/₀			
R	R'	Выход,	R _f	С	н	И	С	н	N		
Н	СН,	83	0,33	71,73	7,71	7,53	71,71	7,65	7,60		
H*	C,H,	80	0,62	77,58	6,73	5,83	78,02	6,54	5,68		
н	C ₈ H ₅ CH ₃	86	0,70	77,94	7,40	5,30	78,43	6,96	5,38		
CH ₃	CH ₃	74	0,35	72,00	8,33	7,53	72,22	7,90	7,32		
CH,	C ₆ H ₅	78	0,75	77,80	7,17	5,15	78,23	6,76	5,52		
CH,	C.H.CH.	76	0,78	79,07	6,80	4,96	78,62	7,16	5,23		

[•] Т. пл. 144—146° (метанол).

Аминоспирты (IV). К раствору 0,1 моля АГЛ в 200 мл эфира при перемешивании прикапывают раствор 0,011 моля амида III в 100 мл ТГФ. Получаемые обычной обработкой вещества пропускают через слой окиси алюминия и высушивают в вакууме над едким кали (табл. 2). ИК спектры, v, см⁻¹: 1610—1620 (C=C), 3200—3300 (OH), 3410—3420 (NH инд.). Гидрохлориды и оксалаты осаждают из эфирных растворов.

^{**} ТСХ на силуфоле.

Таблица 2 $N-[β-(Индолил-3') этнл], N-[транс-2-оксиметил-<math>\Delta^4$ -циклогексенил-1)метил]- N-алкиламины

4313	1,000	0/0 :		Най	ідено,	%	Вычи	слено,	°/o	Т. пл.
R	R R'	Выход,	R _f ***	С	Н	N	С	Н	N	ридов (ок- салатов), °C
H* H* H* CH ₃ * CH ₃ **	CH ₃ C ₆ H ₅ C ₆ H ₅ CH ₃ CH ₃ C ₆ H ₅ CH ₂	73 86 77 84 89 80	0,35 0,79 0,80 0,40 0,76 0,80	76,60 80,54 80,03 77,10 80,00 80,20	9,17 8,16 8,20 9,41 8,64 8,50	8,85 7,06 7,12 8,41 7,41 7,02	76,88 80,37 90,17 77,25 80,37 80,55	9,03 8,30 8,07 9,26 8,30 8,51	8,96 7,21 7,48 8,58 7,21 6,95	129-130 135-140 143-146 (145-150) (117-121) (118-122)

^{*} Т. пл. гидрохлоридов.

ԻՆԴՈԼԻ ԱԾԱՆՑՑԱԼՆԵՐ

LXIII. N-[β-ԻՆԴՈԼԻԼ-3′) ԷԹԻԼ], N-[(առանս-2-ՕՔՍԻՄԵԹԻԼ-Δ4-8ԻԿԼՈ-ՀԵՔՍԵՆԻԼ-1) ՄԵԹԻԼ |ԱՄԻՆԸ ԵՎ ՆՐԱ ԱԾԱՆՑՏԱԼՆԵՐԸ

Ս. Հ. ՊՈՂՈՍՅԱՆ, Լ. Լ. ՀՈՎՀԱՆՆԻՍՅԱՆ և Կ. Ա. ՉԱՈՒՇՅԱՆ

Կենսաբանական հատկությունները ուսումնասիրելու նպատակով սինթեզվել են N-[β-(ինդոլիլ-3΄)էթիլ], N-[-(առանս-2-օքսիմեթիլ-Δ4-ցիկլոհեքսենիլ-1)- մեթիլ]ամինը և նրա մեթիլ ածանցյալը, որոնց փոխազդեցության մեջ դնելով քլորանհիդրիդների հետ ստացվել են ամիդներ։ Վերջիններիս վերականգնուժը լիթիում ալյումինահիդրիդով բերել է ինդոլի շարքի երրորդային ամինասպիրտների։

INDOLE DERIVATIVES

LXIII. N-[β-(INDOLYL-3')ETHYL], N-[(trans-2-OXYMETHYL-Δ4-CYCLOHEXENYL-1)-METHYL]AMINE AND ITS DERIVATIVES

S. H. POGHOSSIAN, L. L. HOVHANNISSIAN and K. A. CHAOUSHIAN

The title compounds have been synthesized with the purpose of investigating their biological properties. Treatment of the obtained compounds with the acid chlorides of acetic, benzoic and phenyl acetic acids yielded the corresponding amides, which, upon reduction with lithium aluminum hydride, produced tertiary aminoalcohols of the indole series. The biological properties of the latter compounds have been studied.

^{**} Т. пл. оксалатов.

^{***} ТСХ на Al₂O₃ II ст. активности.

- 1. J. R. Vane, Brit. J. Pharm. Chemotherapy, 14, 88 (1959).
- 2. Е. И. Кузнец, В. С. Шашков, Л. С. Тер-Вартанян, М. Н. Преображенская, Н. Н. Суворов, Т. Т. Сычев, М. Н. Щукина, ДАН СССР, 136, 123 (1962).
- 3. A. B. Lerner, S. D. Case, Y. Takahusi, T. H. Lee, W. Mori, J. Am. Chem. Soc., 80, 2587 (1958).
- 4. И. Н. Назаров, В. Ф. Кучеров, Изв. АН СССР, ОХН, 2, 329 (1954).

XXXII, № 2, 1979

УДК 547.314.2:546.561,541.8

ИССЛЕДОВАНИЕ РАСТВОРИМОСТИ АЦЕТИЛЕНА В ВОДНЫХ РАСТВОРАХ ХЛОРИСТОЙ МЕДИ И ХЛОРИСТОГО АММОНИЯ. I

А. С. ТАРХАНЯН

Научно-производственное объединение «Наирит», Ереван Поступило 9 IV 1976

Определена растворимость ацетилена в концентрированных водных растворах хлористой меди и хлористого аммония при давлениях ацетилена от 0,23 до 1,6 атм и температурах 40, 60 и 80°. Обсужден химизм процесса.

Рис. 1, табл. 1, библ. ссылок 7.

Исследования растворимости ацетилена в водных растворах хлористой меди и хлористого аммония представляют определенный интерес [1—3].

Целью настоящей работы явилось определение закономерностей растворимости ацетилена в концентрированных водных растворах хлористой меди и хлористого аммония для выявления влияния отдельных компонентов или ионов на растворимость ацетилена.

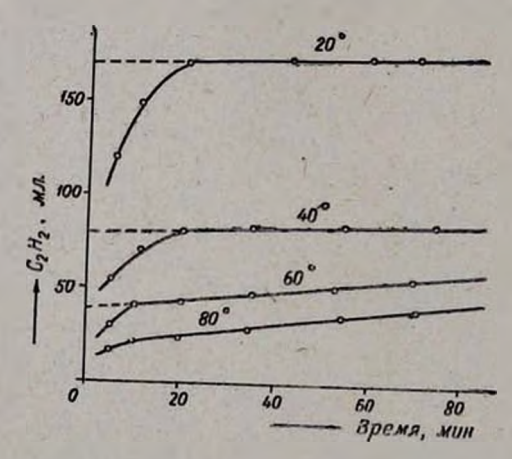


Рис. Зависимость растворимости ацетилена в водных растворах хлористой меди и хлористого аммония от времени.

Равновесное количество растворимого ацетилена определялось, как описано в [4]. На рисунке приведены кривые скорости растворения ацетилена в растворе состава: 1,111 моля воды, 0,2 моля хлористого аммония

и 0,08 моля хлористой меди при 20,40,60 и 80° и общем давлении ацетилена и паров воды 0,894 атм.

Как видно, кривые растворимости состоят из двух участков, отличающихся по скорости растворения ацетилена. Принимая во внимание [5, 6], можно заключить, что резкий подъем начальной части кривых в первые 5—10 мин. соответствует скорости образования химического соединения ацетилена с хлористой медью в растворе, а вторая часть, переходящая в прямую через 15—20 мин. соответствует скорости димеризации ацетилена. Продолжение второй части кривых на ось ординат соответствует показателю равновесного количества растворимого ацетилена при заданных давлении ацетилена и температуре. Тангенс угла наклона второй части кривых скорости растворения можно приписать в основном скорости каталитической димеризации ацетилена в винилацетилен.

Как видно из рисунка, с повышением температуры на 20° растворимость ацетилена в растворе уменьшается примерно в 2 раза, а наклон второй части кривых к оси абсцисс увеличивается как показатель увеличения скорости димеризации ацетилена. Результаты опытов по определению растворимости ацетилена в водных растворах хлористой меди и хлористого аммония в различных условиях при отсутствии образования твердых фаз приведены в таблище.

При растворении ацетилена в данном растворе потенциал стеклянного электрода очень быстро изменяется на 200 мв и более, в сторону увеличения концентрации водородных ионов. Учитывая большую точность замера увеличения концентрации Н⁺-ионов при низких температурах, данные приведены только для 40°. В растворах с содержанием НС1 более 1 моля/л прирост концентрации водородных ионов от ионизации ацетилена не обнаруживается потенциометрически.

Как видно из данных таблицы, при 40° в оп. 2 в присутствии предельно растворимого количества хлористого аммония—8,55 моля, растворимость ацетилена уменьшается по сравнению с оп. 1 (чистая вода) на 26% (высаливание).

Сравнивая растворимость ацетилена в оп. 7 с оп. 2 при 40°, видим, что более 95% растворенного ацетилена связывается химически с хлористой медью.

Из сравнения растворимости ацетилена в оп. 10 с оп. 1, 2, 3 при 40° следует сделать вывод, что хлористый аммоний не только уменьшает растворимость ацетилена в воде, но в еще большей степени уменьшает химически связанное количество ацетилена с хлористой медью, и что имеется конкуренция между хлор-ионом и ацетиленом за комплексообразование с хлористой медью, чем и обусловлено обратимо подвижное равновесие растворимости ацетилена в этих растворах.

Сравнивая результаты оп. 11 и 3 при 40° видим, что с увеличением количества взятой воды на 33% растворимость ацетилена увеличивается на 34%, далеко превосходя общую растворимость. Отсюда можно заклю-

чить, что вода активно участвует в процессах химического связывания ацетилена с хлористой медью.

Таблица

Растворимость ацетилена в водных растворах хлористой меди и хлористого аммония:

P — парциальное давление ацетилена, атм; C — растворимость ацетилена, моли; H^{\perp} — прирост концентрации водородных ионов, K — константа равно весия

_	п	- upn	poci					-	1					-
	Coc	тав рас		а,	11-	40	•			60°	•		80°	
N OUNTOB	H ₂ O	H ₄ Cl	НСІ	CuCl	P	C	Н+	K-103	P	С	K-103	P	С	K-103
	55,51 55,51	8,55			0,843	0,0275								
3	55,51	10	0,01			0,173	0.229			0,0101			0,0223	
_	55,51 55,51	10	0,01			8 2		20		0,0837 0,171	_		0,0446 0,104	
6	55,51	10	0,01	6	0,839	1	0,506			0,145	سند		0,0847	
	55,51 55,51	10 10	0,01 0,01		0,836	0,446	0,832	12,0		0,0892 0,176			0,0557 0,112	
9	55,51	10	0,01		0.838	0,227	0,292	0.76		0,369	_		0,276	
	55,51 41,65	8 10	0,01 0,01			0,129	0,292			0,109 0,0676			0,0624 0,0334	
_	55,51	9	1			0,169 0,365	8			0,0757 0,176	_		0,0401	
	55,51 55,51	9	2			0,167				0,170			0,0780 0,0358	1
15	55,51	8 .	2	8		3				0,174			0,0740	
	среднее						9,65			5,18	-	1.10	3,89	

В условиях оп. 7 при 40° при растворении ацетилена в водном растворе хлористой меди и хлористого аммония происходит ионизация обоих водородных атомов ацетилена. Из сравнения данных оп. 4 и 14 при 60 и 80° видно, что увеличение концентрации водородных ионов в исходном растворе в 100—200 раз уменьшает растворимость ацетилена только на 10—11%. Отсюда вывод, что растворимость ацетилена в водном растворе хлористой меди и хлористого аммония не зависит от концентрации водородных ионов. Это согласуется с данными [2].

Приведенные в таблице данные позволяют представить динамическое равновесие растворимости ацетилена в водных растворах хлористого аммония без учета влияния концентрации водородных ионов в виде следующей приближенной эмпирической формулы:

$$C = K \frac{\text{CuCl} \cdot P \cdot \text{H}_2\text{O}}{\text{NH}_2\text{Cl}}$$

где С—растворимость ацетилена, моли: К—константа равновесия, Р—парциальное давление ацетилена над исследуемым раствором.

В работе [7] было установлено, что растворение хлористой меди в водном растворе хлористого аммония описывается реакциями

$$NH_4CI + aq = NH_4^+ aq + CI^- aq$$
 (1)

$$CuCl + Cl^{-}aq = CuCl_{2}^{-} + aq$$
 (2)

Следовательно, химизм этого процесса будет

$$CuCl^{-} + C_2H_2 + \epsilon q = CuCl \cdot C_2H_2 + Cl^{-}aq$$
 (3)

Как видно из данных оп. 3—5 и 7—9 при 60 и 80°, с повышением парциального давления ацетилена константа равновесия вместо беспорядочного разброса систематически уменьшается, т. е. растворимость ацетилена не прямо пропорциональна парциальному давлению, а немного отстает.

Однако, если в формуле константы равновесия исходные концентрации заменить равновесной концентрацией компонентов в соответствии с реакциями (2) и (3), считая концентрацию свободной воды постоянной, то расхождения в величинах константы будут меньше, в первом случае уменьшение будет на 0,3%, во втором на 3%, т. е. в полном соответствии с реакцией (3).

При увеличении копцентрации хлор-ионов в исследуемом растворе потенциал медного электрода уменьшается, что вызвано связыванием ионов меди ионами хлора по уравнению

$$Cu^{+} + 2Cl^{-}aq = CuCl_{2}^{-} + aq$$
 (4)

Это явление использовано для замера прироста хлор-ионов в растворе хлористой меди при растворении в нем ацетилена. Сравнение изменения потенциала медного электрода при растворении ацетилена с номограммой показало, что растворение одного моля ацетилена приводит к увеличению концептрации хлор-ионов в растворе на 2,8 г-ионов.

Наблюдаемая ионизация обоих водородных атомов ацетилена в слабокислых растворах хлористой меди и хлористого аммония, увеличение при этом концентрации свободных хлор-ионов и другие факты позволяют представить дальнейшую возможность детализации реакции (3) в следующем виде:

$$CuCl \cdot C_2H_2 + aq = CuC = C + Cl \cdot aq + 2H^+aq$$
 (5)

суммарно:

$$CuCl_2^- + C_2H_3 + aq = CuC = C^- + 2Cl^-aq + 2H^+aq$$
 (6)

Из данных таблицы видно, что при повышении концентрации хлористой меди растворимость ацетилена увеличивается более чем в первой степени. Это вызвано уменьшением концентрации хлор-ионов по реакции (2) с одновременным увеличением концентрации свободной воды, необходимой для реакций (3), (5) и (6).

ՊՂՆՁԻ ՄՈՆՈՔԼՈՐԻԴԻ ԵՎ ԱՄՈՆԻՈՒՄԻ ՔԼՈՐԻԴԻ ԶՐԱՅԻՆ ԼՈՒԾՈՒՅԹՆԵՐՈՒՄ ԱՑԵՏԻԼԻՆԻ ԼՈՒԾԵԼԻՈՒԹՑԱՆ ՈՒՍՈՒՄՆԱՍԻՐՈՒԹՅՈՒՆ

Հ. Ս. ԲԱՐԽԱՆՏԱՆ

Պարզված է, որ պղնձի մոնոքլորիդի, ամոնիումի քլորիդի խիտ ջրային լուծույβներում (40, 60, 80°, 180-ից մինչև 1200 մմ սնդ. սն. ճնշման տակ) ացետիլենի լուծելիուßյունը ուղիղ համեմատական է CuCl/NH4 հարաբերուßյանը, վերցրած ջրի քանակությանը և ացետիլենի պարցիալի ճնշմանը։ Քննարկված է ացետիլենի լուծելիուßյան պրոցեսի քիմիզմը։

STUDIES OF ACETYLENE SOLUBILITY IN AQUEOUS SOLUTIONS OF CUPROUS CHLORIDE AND AMMONIUM CHLORIDE

H. S. TARKHANIAN

The solubility of acetylene in concentrated aqueous solutions of cuprous chloride and ammonium chloride at 40, 60 and 80°C, and at partial pressures of 0,23—1,57 atm has been investigated.

It has been found that the solubility of acetylene is directly proportional to $CuCl/NH_4Cl$ in the solution, the partial presure of acetylene and the initial amount of water. At pH < 3 and at higher concentrations of H^+ ions the solubility of acetylene is independent of them.

Ionization of both hydrogen atoms of acetylene takes place in weak acidic solutions of cuprous clhoride and ammonium chloride.

The chemistry of the acetylene conversion in the solutions has been discussed.

- 1. H. Schmitz, H. Schumacher, Z. Elektrochem., 45, 503 (1939).
- 2. R. Vestin, C. Lofman, Acta Chem. Scand., 7, 398 (1953).
- 3. R. Vestin, A. Somersalo, Muller, Acta Chem. Scand., 45, 745 (1953).
- 4. Н. Г. Карапетян, А. С. Тарханян, А. Н. Любимова, Изв. АН Арм. ССР, ХН, 17, 398 (1964).
- 5. J. A. Nieuland, W. S. Calkot, F. B. Downing, A. S. Carter, J. Am. Chem. Soc. 53, 4197 (1931).
- 6. Л. Г. Цюрих, А. А. Гинзбург, ЖОХ, 10, 1468 (1935).
- 7. А. С. Тарханян, Арм. хим. ж., 21, 825 (1968).

XXXII. № 2. 1979

УДК 547. 314.2:546.561.541.8

ИССЛЕДОВАНИЕ МАКРОКИНЕТИКИ ДИМЕРИЗАЦИИ АЦЕТИЛЕНА В ВОДНОМ РАСТВОРЕ ХЛОРИСТОЙ МЕДИ И ХЛОРИСТОГО АММОНИЯ. II

А. С. ТАРХАНЯН и М. А. ВАРДАНЯН

Научно-производственное объединение «Наирит». Ереван Поступило 20 IV 1976

В проточной системе при контакте ацетилена с жидким катализатором в пенном режиме определены замономерности макропроцессов скорости образования винилацетилена и побочных продуктов—дивинилацетилена и ацетальдегида в водном растворе хлористой меди и хлористого аммония различной концентрации, кислотности и рН раствора, влияние температуры и парциального давления ацетилена над катализатором. Изменения параметров процесса катальза проведены в пределах, имеющих промышленное значение.

Рис. 1, табл. 1, библ. ссылок 10.

Каталитический процесс димеризации ацетилена в винилацетилен в водных растворах хлористой меди и хлористого аммония применяется в многотоннажном производстве хлоропренового каучука [1—3].

Кинетике макропроцесса димеризации ацетилена посвящен ряд работ [4—6].

Цель настоящей работы—исследование макрокинетики процесса димеризации ацетилена в зависимости от концентрации компонентов катализатора.

Экспериментальная часть

Катализатор готовили из химически чистых реактивов, в реакторе в струе ацетилена из заводской линии. Фильтр Шотта № 1, впаянный в дно реактора, обеспечивал пенный режим взаимодействия ацетилена с жидким катализатором, вследствие чего уровень катализатора в реакторе повышался в 5—6 раз, по сравнению со спокойным состоянием. Во избежание уноса катализатора в виде пены верхная часть реактора имела расширение для гашения пены.

Для получения преимущественно винилацетилена катализатор продували избыточным количеством ацетилена в 5—10-кратном объеме, обеспечивая непрерывный вывод из зоны реакции продуктов превращения ацетилена. Анализ реакционных газов на содержание винилащетилена и других продуктов производили при помощи ГЖХ и путем конденсации при низкой температуре (—78°) и соответствующей фракционной разгонкой конденсата для прямого определения количества полученного

винилацетилена и других продуктов [7].

По окончании опыта при 60—65° определяли рН каталитического раствора рН-метром «ЛПУ-01». Параллельно определяли его кислотность, выражаемую в весовых процентах НСІ, методом титрования щелочью [8]. В тех случаях, когда раствор катализатора димеризации ацетилена содержит осадки, определяемая по этой методике кислотность оказывается отрицательной.

Исследование влияния концентрации водородных ионов на процесс катализа при постоянстве концентрации хлор-ионов достигалось путем замены части хлористого аммония в основном составе катализатора (CuCl—35 г, NH₄Cl—20 г, H₂O—45 мл) на эквивалентное количество хлористого водорода. Для получения раствора с отрицательной кислотностью ацетилен подавали в реактор со скоростью 20 л/час в течение 5 мин., затем по вводу ацетилена подавали соответствующее количество аммиака в течение 5 мин. Аммиак, вступая в реакцию с хлористым водородом, выделившимся в результате образования ацетиленидов меди, образует хлористой аммоний.

Изучение влияния скорости пропускания ацетилена с составом катализатора CuCl—35 г, NH₄Cl—20 г, 45 мл 0,01 н HCl, при 80° и 0,921 ат общего давления газов над каталитическим раствором на ход реакции показало, что с повышением скорости пропускания ацетилена через катализатор от 10 до 30 л/час скорости образования винилацетилена и ацетальдегида увеличиваются на 13% за счет соответствующего увеличения парциального давления ацетилена над катализатором. Это является показателем того, что контакт ацетилена с жидким катализатором проводился в кинетической области и полученные данные достаточно удовлетворительно отражают закономерности в этой области. При этом скорость образования дивинилацетилена, наоборот, уменьшается на 38%. Это являетоя экспериментальным подтверждением схемы Ньюлэнда о том, что образование полимеров ацетилена происходит в результате последовательных реажций [1, 2].

С повышением температуры выше 65° скорость образования винилацетилена медленно увеличивается, проходя через максимум при 80°. Как известно [9, 10], с повышением температуры на каждые 20° растворимость ацетилена уменьшается в 2 раза.

Выше 80° уменьшение парциального давления и растворимости ацетилена не компенсируется соответствующим ростом скорости микропроцессов, что приводит к уменьшению наблюдаемой скорости образования винилацетилена. С повышением температуры от 65 до 90° скорость образования ацетальдегида монотонно возрастает в 3 раза.

Из рисунка видно, что скорость образования винилацетилена проходит через максимум около рН 0,25 или минус 0,03 вес. % НС!. Выше и ниже этой кислотности скорость образования винилацетилена очень быстро уменьшается, доходя до нуля. Скорость образования дивинилацетилена симбатно скорости образования винилацетилена. Скорость

образования ацетальдегида также проходит через максимум при 2,5—3% HCl.

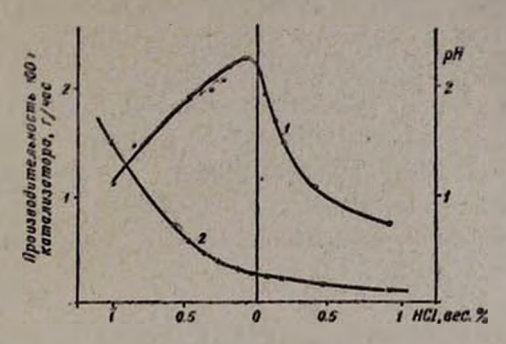


Рис. Изменение производительности катализатора в зависимости от концентрации НСІ и рН, при 80°; 1—скорость образования винилацетилена, 2—рН катализатора.

Таблица
Влияние состава катализатора и парциального давления ацетилена
на процесс катализа при 80°С и скорости пропускания ацетилена 20 .1/час
на 100 г катализатора. Константы скорости образования ВА, ДВА и АА

	Состав катализатора, моли			Парциальное дав- ление, ат			Получен з, моли/час			Константы скорости образования, 10 ³		
H ₂ O	NH ₄ CI	CuCI	H ₂ O	C ₂ H ₂	C ₄ H ₄	C ₄ H ₄	C ₆ H ₆	C2H4O	C ₄ H ₄	C ₈ H ₈	C ₃ H ₄ O	
55,51	8,265	6,732	0,578	0,518	0,0212	0,622	0,0339	0,0408	32,6	83,8	2,07	
55,51	8,265	7,843	0,393	0,492	0,0316	0,928	0,0517	0,0575	37,7	66,8	2,10	
55,51	8,265	8,511	0,395	0.482	0,0384	1,119	0,0603	0,0560	39,4	55,6	2,01	
55,51	8,265	9,470	0,395	0,482	0,0384	0,121	0,0616	0,0571*		71/10	- North	
55,51	7,621	7,843	0,390	0,491	0,0354	1,031	0,0606	0,0584	35,7	59,3	2,02	
55,5!	9,665	7.843	0,363	0,532	0,0214	0,613	0,0306	0,0457	31,45	73.6	2,35	
46,86	8,265	7,843	0,376	0,514	0,0271	0,947	0,0453	0,0457	36,7	64,7	1,79	
55,51	8,265	7,843	0,393	1,068	0,0773	1.739	0,1693	0,0905	32,5	41.0	1,98	
	-	_111		TITE				Среднее	35,1	63.2	2,04	

Получен осадок CuCl.

На основании полученных данных (табл.) выведены приближенные эмпирические формулы скорости образования винилацетилена (ВА), дивинилацетилена (ДВА) и ацетальдегида (АА), соответственно:

$$W_{BA} = K_{1} \frac{(\text{CuCl})^{2} \cdot P_{C_{9}H_{3}} \cdot \text{H}_{2}\text{O}}{(\text{NH}_{4}\text{Cl})^{2} \cdot Y(\text{H}^{+})}$$

$$W_{ABA} = K_{2} \frac{(\text{CuCl})^{2} \cdot P_{C_{9}H_{3}} \cdot P_{C_{4}H_{1}} \cdot \text{H}_{2}\text{O}}{(\text{NH}_{4}\text{Cl})^{2} \cdot Y(\text{H}^{+})}$$

$$W_{AA} = K_3 \frac{(\text{CuCl})^2 \cdot P_{\text{C}_2\text{H}_1} \cdot Y(\text{H}^+)}{(\text{NH}_4\text{Cl})^2 \cdot \text{H}_2\text{O}}$$

где $P_{\text{C,H}}$, $P_{\text{C,H}}$ — парциальные давления ацетилена и винилацетилена. (H⁺) — сложные функции от концентрации водородных ионов, причем разные для образования ВА, ДВА и АА. Эти формулы пригодны в интервале 25—90°. В таблице приведены результаты подочета констант скоростей их образования. При этом члены, выражающие концентрацию водородных ионов, исключены из этих формул, учитывая, что при изменении других компонентов концентрация водородных ионов изменялась незначительно.

ՊՎՆՁԻ ՄՈՆՈՔԼՈՐԻԴԻ ԵՎ ԱՄՈՆԻՈՒՄԻ ՔԼՈՐԻԴԻ ՋՐԱՑԻՆ ԼՈՒԾՈՒՑԹՆԵՐՈՒՄ ԱՑԵՏԻԼԵՆԻ ԴԻՄԵՐՄԱՆ ՄԱԿՐՈԿԻՆԵՏԻԿԱՑԻ ՈՒՍՈՒՄՆԱՍԻՐՈՒԹՅՈՒՆ

Հ. Ս. ԲԱՐԽԱՆՅԱՆ և Մ. Հ. ՎԱՐԴԱՆՅԱՆ

Ցույց է տրված, որ պղնձի մոնոքլորիդի և ամոնիումի քլորիդի լուծույթենիրում ացետիլենից վինիլացետիլենի, դիվինիլացետիլենի և ացետալդեհիդի առաջացման արագությունն ուղիղ համեմատական է $\frac{\text{CuCl}}{\text{NH}_{\text{cCl}}}$ վերցրած ջրի քանակին և ացետիլենի պարցիալ ճնշմանը լուծույթում։ Նշված միացություններից վինիլացետիլենի, դիվինիլացետիլենի առաջացման արագության կորն անցնում է մաքսիմումով pH 0,2—0,5 տիրույթում, մինչդեռ ացետալդեհիդի առաջացման արագության կորն անցնում է մաքսիմումով 2,5—3 կշռ. Արժայնության դեպքում։

STUDIES OF MACROKINETICS OF ACETYLENE DIMERIZATION IN AQUEOUS SOLUTIONS OF CUPROUS AND AMMONIUM CHLORIDES

H. S. TARKHANIAN and M. H. VARDANIAN

The macrokinetics of acetylene dimerization has been investigated in catalytic solutions, in a continuous stream of acetylene and under forming conditions. It has been shown that the reaction of vinylacetylene, divinylacetylene, and acetaldehyde formation is directly proportional to $\begin{bmatrix} CuCl \\ NH_Cl \end{bmatrix}^a, \text{ the partial pressure of acetylene in solution, and the initial amount of water.}$

- J. A. Nieuwland, W. S. Calcott F. B. Downing, A. S. Carter, J. Am. Chem. Soc., 53, 4197 (1931).
- 2. Ю. Ньюлэнд, Р. Фогт, Химия ацетилена, Изд. М., 1947.
- 3. А. Л. Клебанский, Л. Г. Цюрих, И. М. Долгопольский, Изд. АН СССР, ОХН, 2, 189 (1935).
- 4. II. Schmitz, II. Schumacher, Z. Elekrochem., 45, 503 (1939),
- 5. О. Н. Темкин, Р. М. Флид, Г. К. Шестаков, А. Ермаков, Г. Ф. Тихонов, Л. И. Яровая, В. Г. Михальченко, Кин. и кат., 10, 1230 (1969).
- 6. Г. К. Шестаков, Г. Ф. Тихонов, О. Н. Темкин, Р. М. Флид, И. Ш. Гершензон, С. М. Браиловский, С. И. Должникова, Квн. в квт. 11, 875 (1969).
- 7. W. J. Pedbielniak, Heynic, Mikrochim. Acta. 3, 177 (1931).
- 8. А. С. Тарханян, В. В. Вартанян, НТС ГНТК СМ Армянской ССР, Химия и химическая техн., № 1, 23 (1962).
- 9. А. С. Тарханян, Арм. хим. ж., 32, (1979).
- С. А. Вартанян, Н. Г. Карапетян, С. К. Пиренян, Н. Г. Манасян, Ж. П. Манвелян,
 А. С. Тарханян, А. Н. Любимова. Изв. АН Арм. ССР, XH, 14, 565 (1961).

XXXII, № 2, 1979

УДК 66.074.3:661.715.332.183 6

ИССЛЕДОВАНИЕ ПРОЦЕССА ОЧИСТКИ ЭТИЛЕНА ОТ МЕТАНОЛА С ПОМОЩЬЮ МОЛЕКУЛЯРНЫХ СИТ

В. Е. БАДАЛЯН, А. Л. МКРТЧЯН, С. С. ОВСЕПЯН, Д. Г. ДОЛУНЦ и С. С. ХАЧАТРЯН

Ереванское отделение ОНПО «Пластполимер» Поступило 27 IX 1978

Исследован процесс глубокой очистки этилена от метанола (до 0,001 вес.%) различными молекулярными ситами. Найдены адсорбционные емкости молекулярных сит в динамических условиях. Определены оптимальные параметры адсорбции и регенерации молекулярных сит.

Рис. 2, табл. 2, библ. ссылок 3.

В ряде процессов химической промышленности важнейшим фактором является содержание кислородсодержащих углеводородов в исходных продуктах, в частности содержание мстанола в этилене. Наличие метанола в этилене приводит к преждевременному отравлению и перерасходу катализатора, синжению выходов целевого продукта, образованию ряда побочных продуктов и т. д. Содержание метанола в исходном этилене может колебаться в пределах от 0,005 до 0,05 вес. %. Между тем для длительной эксплуатации ряда катализаторов содержание метанола в этилене не должно превышать 0,0001 вес. %. В настоящее время имеется ряд работ [1—3] по очистке газов от микропримесей. Однако нет конкретных данных по очистке этилена от метанола.

Целью настоящей работы явилось исследование процесса глубокой очистки этилена от метанола (до 0,0001 вес. %) при помощи различных молекулярных сит. В качестве адсорбентов были применены молекулярные сита марок CaA-5, NaA, KA-3M и NaX. Исследования проводились сначала на лабораторной, а затем на пилотной установке с объемом адсорбера 1 л при 20—30° и атмосферном давлении. Принципиальная технологическая схема установки по очистке этилена от метанола молекулярными ситами приведена на рис. 1. Газообразный этилен из баллона 1 через ротаметр 2 поступал в адсорбер 3. Предварительно в линию этилена из мерника 4 вводилось необходимое количество метанола для получения заданной концентрации метанола в этилене (от 0,01 до 0,05 вес. %). Этилен, проходя через слой испытуемого цеолита, очищался от метанола и выбрасывался в атмосферу. Периодически до и после адсорбера проверялось содержание метанола в исходном и очищенном эти-

лене. С увеличением содержания метанола в очищенном этилене выше 0,0001 вес. % прекращалась подача этилена в адсорбер и производилась регенерация цеолита азотом. Азот через ротаметр 5, проходя перегреватель 6, нагревался водяным паром до 140—150° и поступал в адсорбер 3, где при помощи электронагрева подогревался до 180—260°. Горячий азот, проходя через слой цеолита, вытеснял из него адсорбированный метанол и выбрасывался в атмосферу. Конец регенерации определялся по отсутствию метанола в отходящем азоте. После регенерации цеолит охлаждался и повторялся процесс очистки этилена. Анализ этилена на содержание метанола проводился хроматографически на приборе «Цвет 100» (с пламенно-ионизационным детектором, длиной колонки 2 м, диаметром колонки 3 мм, заполненной насадкой полисорб-1, фракцией 0,25—0,5 мм). Температура колонки 60°, испарителя 170°, скорость газа-носителя—гелия, 25 мл/мин.

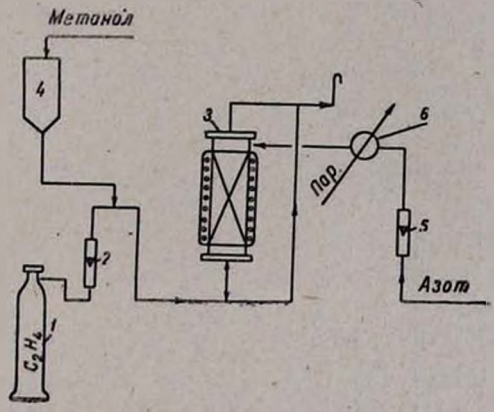


Рис. 1. Схема палотной установки очистки этилена от метанола: 1 — баллон этилена; 2, 5 — ротаметры; 3 — адсорбер; 4 — мерник метанола; 6 — подогреватель.

В табл. 1 приведены результаты опытов по изучению влияния объемной скорости подачи этилена на адсорбционную емкость цеолита при постоянном содержании метанола на входе в адсорбер. Полученные данные показывают, что наибольшей динамической активностью обладают молекулярные сита марки NaX, адсорбционная емкость которых при объемной скорости подачи этилена 800—2200 час 1 находится в пределах 60—61,6 г/л цеолита. Из таблицы видно также, что с увеличением объемной окорости подачи этилена динамическая активность молекулярных сит снижается примерно на 1,6—1,8 г/л цеолита. Если молекулярные сита марки KA-3M уступают по динамической активности цеолиту марки NaX всего лишь на 4—5,2 г/л цеолита, то цеолиты марок СаА-5 и NaA—на 28—30 г/л цеолита.

В табл. 2 приведены данные по изучению динамической активности цеолитов в зависимости от содержания метанола в исходном этилене при

постоянной объемной скорости подачи этилена. Результаты опытов показывают, что с увеличением содержания метанола в исходном этилене от 0,01 до 0,05 вес. %. динамическая активность цеолитов несколько возрастает (на 1,8—2,1 г/л цеолита).

Таблица / Результаты опытов по очистке этилена от метанола (содержание метанола в исходном этилене 0,02 вес. %, очищениом до 0,0001 вес. %,

	до 0,000	Вес. º/o)	ценном	
Марка цеолита	Объемная скорость подачн этилена, час-1	Продолжи- тельность опыта до про- скока, час	Динамическая активность цеолита по метанолу, 2/.1	4
CaA-5	800	160,0	32.0	
	1000	126,4	31,6	
- 1	1400	89,1	31,2	
	1800	68,5	30,8	
605	2200	54,9	30,2	
NaA	800	168,0	33,6	
	1000	133,2	33,3	
1	1400	94,3	33,0	
	1800	72,4	32,6	
	2200	58,2	32,0	
KA-3M	800	288,0	57,6	
	1000	229,6	57,4	
500	1400	163,1	57,1	
-	1800	125,8	56,6	
	2200	101,5	55,8	
NaX	800	308,0	51,6	
	1000	245,2	61,3	
500.74	1400	174,3	61,0	
77.52	1800	134,7	60,6	
	2200	109,1	60,0	6
28 7		1000		

Результаты опытов по очистке этилена от метанола (объемная скорость подачи этилена 1800 час⁻¹, содержание метанола в очищенном этилене не более 0,0001 вес. °/0

4	0,0001	вес. °/ ₀	
Марка цеолита	Содержание метанола в исходном эти-	Продолжи- тельность опыта до про- скока, час	Динамическая активность цеолита по
CaA-5	0,01	135,1	30,4
	0,02	68,5	30,8
17.0	0.03	46,4	31,3
37.1	0,04	35,3	31,8
	0,05	28,8	32,4
NaA	10,0	142,6	32,1
	0,02	72,4	32,6
	0,03	49,0	33,1
	0,04	37,4	33,7
	0,05	30,4	34,2
KA-3M	0,01	250,2	56,3
	0,02	125,8	56,6
	0,03	84,7	57,2
. 7	0,04	63,9	57,5
	0,05	51,6	58,1
NaX	0,01	268	60,3
	0,02	134,7	60,6
	0,03	90,4	61,0
	0,04	68,3	61,5
	0,05	55,3	62,2

Изучался также процесс регенерации молекулярных сит марки NaX и определены оптимальные параметры регенерации. Регенерация проводилась горячим азотом при различных температурах и объемных скоростях. Влияние температуры на продолжительность регенерации изучалось при постоянной объемной скорости (1400 час-1) подачи азота, а влияние скорости подачи азота на продолжительность регенерации—при постоянной температуре 230°. Результаты экспериментов приведены на рис. 2, из которого видно, что оптимальная температура регенерации

лежит в интервале 220—240°, а объемная скорость подачи азота 1200—1400 час -1.

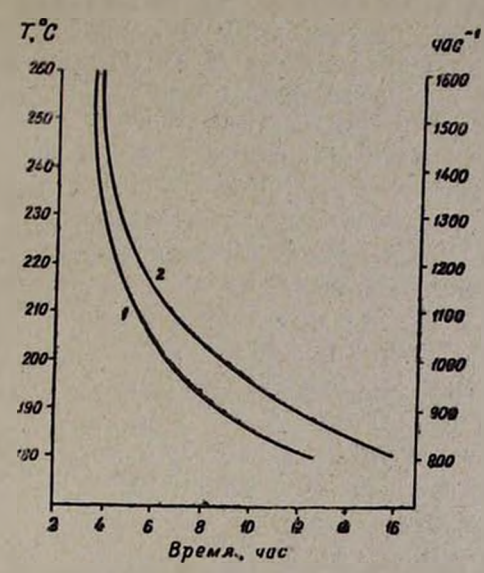


Рис. 2. Зависимость времени регенерации от: 1 — температуры; 2 — объемной скорости подачи азота.

На основе проведенных исследований можно сделать вывод, что для глубокой очистки этилена от метанола (до 0,0001 вес.%) целесообразно применять молекулярные сита марки NaX (или KA-3M), адсорбционная емкость которых при оптимальной скорости подачи азота (1800—2000 час⁻¹) составляет 57—61 г/л цеолита. Цеолиты можно регенерировать азотом для повторного использования, причем оптимальными параметрами регенерации являются: а) температура регенерации 220—240°; б) объемная скорость подачи азота 1200—1400 час⁻¹; в) продолжительность регенерации 4—6 час.

Է**ԲԻ**ԼԵՆԻ ՄԵ**ԲԱՆՈԼԻՑ ՄԱՔՐՄԱՆ ՊՐՈ**ՑԵՍԻ ՀԵՏԱԶՈՏՈ**ՒԹՅՈՒՆՆԵՐԸ** ՄՈԼԵԿՈՒԼԱՅԻՆ ՄԱՂԵՐԻ ՄԻՋՈՑՈՎ

Վ. Ե. ԲԱԴԱԼՅԱՆ, Ա. Լ. ՄԿՐՏՉՏԱՆ, Ս. Ս. ՀՈՎՍԵՓՑԱՆ, Դ. Գ. ԴՈԼՈՒՆՑ և Ս. Ս. ԽԱՉԱՏՐՑԱՆ

Թռիչքային սարքավորման վրա հետազոտվել է էԹիլենի մեԹանոլից մաքրման (մինչև 0,0001 %) պրոցեսը մոլեկուլային մաղերի (ցեռլիտների) միջոցով։ Հետազոտվել է մոլեկուլային մաղերի ռեգեներացման պրոցեսը և որոշվել վերջիններիս օպտիմալ պայմանները։

INVESTIGATION OF THE ETHYLENE PURIFICATION PROCESS FROM METHANOL WITH MOLECULAR SIEVES

V. E. BADALIAN, A. L. MKRTCHIAN, S. S. OVSEPIAN, D. G. DOLOUNTZ and S. S. KHACHATRIAN

The process of purifying ethylene through adsorption of methano (up to $0.0001^{\circ}/_{\circ}$ by weight) with various types of molecular sieves (zeolites) has been investigated. NaX type molecular sieves were found to be the best adsorbents at an optimal feeding rate of ethylene from $1800-2000\ l\cdot hour^{-1}$, the average adsorption capacity of the sieves a the dynamic conditions being 61 g of methanol/l zeolite.

The adsorption capacity of KA-3M type molecular sieves was little

lower, i. e. 57 g of methanol/l zeolite.

The regeneration process of molecular sleves has been investigated too.

The optimal regenerations conditions were found to be:

- a) space velocity of nitrogen supply 1200--1400 l.hour-1,
- b) temperature 220-240°C,
- c) regeneration time 4-6 hours.

- 1. А. Л. Коуль, Ф. С. Рифенфельд, Очистка газов, Гостептехиздат, 1962.
- 2. В. Босачек, Сб. «Цеолиты, их синтез свойство и применение», 1965. 3. Н. В. Кельцев, Основы адсорбционной техники, 1976, стр. 397.

ДИЯЧИЧИ БРГРИЧИ БИГОИЧРР АРМЯНСКИЯ ХИМИЧЕСКИЯ ЖУРНАЛ

XXXII, № 2, 1979

КРАТКИЕ СООБЩЕНИЯ

УДК 669.094.3

О СЕЛЕКТИВНОСТИ МИГРАЦИИ БРОМА ПРИ ОКИСЛЕНИЙ гем-БРОМХЛОРВИНИЛОВЫХ СОЕДИНЕНИЙ КИСЛОРОДОМ

Г. М. ЩАХНАЗАРЯН и Б. Э. БАЯТЯН

Ереванский государственный университет Ереванское отделение ВНИИКП

Поступило 6 VII 1978

Исходя из представлений общего характера в литературе укоренилось правило, согласно которому при окислительной изомеризации дигалогенвиниловых соединений мигрируют только атомы более тяжелого галогена [1]. Недавно один из нас получил данные, которые заставили усомниться в однозначности этого правила. Было показано, что при окислении гем-бромхлорвиниловых соединений уксуснокислым раствором надуксусной кислоты или хлороформным раствором надбензойной кислоты образуется смесь а-бром- и а-хлоркислот, соотношение которой определяется способностью растворителя к специфической мигрирующей группы и структурой галогенолефина сольватации [2]. Наблюдаемый факт явился предпосылкой для изучения окисления некоторых из этих соединений кислородом. В качестве объектов окисления были выбраны транс-1,1-бромхлор- (I), транс-1-бром-1,3-дихлор-(II), транс-1,3-дибром-1-хлорпропены (III) и транс-3,3-бромхлор-2-пропен-1-ол (IV) с чистотой 98-99% (по ГЖХ).

Окисление проводили в барботажной колонке при 70° и окорости подачи кислорода (2 л/час) или воздуха (10 л/час). После завершения реакции (по ГЖХ) прозрачный оксидат, содержащий до 70% перекиси (иодометрически), при перегонке под уменьшенным давлением превратился в хлорангидрид а-бромкислоты (V) с незначительной примесью бромангидрида а-хлоркислоты (VI). Так, например, из 0,3 моля II за 13 час. окисления получено 0,28 моля (93%) V и VI в соотношении 10:1

IV при этом превращается в прозрачный олигомер.

Мольное соотношение V и VI меняется в зависимости от температуры разложения перекиси. При повышении температуры увеличивается доля VI, а при понижении—V. Некоторое изменение в соотношениях наблюдается при замене кислорода воздухом. Так, например, при окислении воздухом оно составляет 8:3. Одняко во всех случаях V≫VI.

Таким образом, установлено, что при окислительной изомеризации дигалогенвиниловых соединений имеет место не исключительная, а предпочтительная миграция тяжелого галогена. Соотношение продуктов реакции для всех случаев определено методом ГЖХ анализа их сложных эфиров (иногда оксидата). Разделение V и VI, а также их метиловых и этиловых эфиров осуществляли перегонкой с дефлегматором (110 см) под уменьшенным давлением.

Структура и индивидуальность полученных соединений установлена сравнением их физико-химических констант с литературными данными и ГЖХ анализом. ГЖХ анализы проводили на хроматографе «Цвет-4», детектор-катарометр, неподвижная фаза апиезон-L5%, на целите-545 (для галогенангидридов-рогарак Q), колонка 2 м×3 мм, температура колонки 140—150°, скорость газа-носителя (Не) 50 мл/мин.

ЛИТЕРАТУРА

1. E. T. McBee, O. R. Pierce, D. L. Christinan, J. Am. Chem. Soc., 77, 1583 (1955); R. N. Haszeldine, F. Nyman, J. Chem. Soc., 1959, 1084; Б. Г. Яскицкий. ЖОрХ, 3, 800 (1967); D. Seyferth, W. Tronich, J. Organometal. chem., 18, 8 (1969). 2. Г. М. Шахназарян, Арм. хим. ж., 27, 621 (1974).

XXXII, № 2, 1979

УДК 547+547.762

производное индола

LXIV. ИЗОМЕРНЫЕ 1.2,3,4,4a,5.7,8,13b,13c-ДЕКАГИДРО-13H-БЕНЗ (g) ИНДОЛО (2,3-a) ИНДОЛИЗИНЫ

С. А. ПОГОСЯН н Г. Т. ТАТЕВОСЯН

Институт тонкой органической химен вм. А. Л. Миджояна АН Армянской ССР, Ереван

Поступило 14 X 1978

В целях поиска более удобного пути синтеза пентациклических оснований иохимбинового строения представлялось интересным аналогично [1, 2] осуществить реакцию окисления третичного амина I ацетатом ртути. Оказалось, что это окисление сопровождается циклизацией с образованием стереомерной смеси IIIа и IIIб, образование которой, по-видимому, можно объяснить (SNI) механизмом реакции циклизации, протекающей через промежуточную стадию образования карбониево-аммониевого иона II.

Каталитическая гидрогенизация двойной связи кольца Е в основания III проводилась платиновой чернью в спиртовом растворе.

На колонке с окисью алюминия реакционная смесь была разделена и были отдельно охарактеризованы изомеры. Изомер IV а по R_f, ЯМР, ИК и по температуре плавления совпадает с изомером цис-син, полученным ранее по [3], а изомер IV6 с цис-анти-изомером, полученным обычной изомеризацией оксиимидинов [3].

Экспериментальная часть

Изомерные 1,4,4а,5,7,8,13b,13c-октагидго-13H-бенз(g) индоло(2,3-а) индолизины (IIIа, б). Смесь 0,01 моля I и 35 г ацетата ртути в 250 мл 5% уксусной кислоты нагревалась в течение 12 час. при 70—75°. После охлаждения раствор насыщался сероводородом и отфильтровывался. Осадок промывался 5% уксусной кислотой. Фильтраты соединялись, концентрировались в вакууме и прибавлялось 200 мл метанола. рН раствора уксусной кислотой доведен до 5. Затем при 10—15° прибавлялось 0,1 моля боргидрида натрия. После 20-часового стояния при комнатной температуре метанол отгонялся в вакууме и вещество экстрагировалось хлороформом. Высушенный хлороформный раствор пропускался через слой окиси алюминия и после удаления растворителя получено 30% маслообразного продукта. R, 0,75 и 0,65 (Al₂O₃, II степени активности, хлороформ—ацетон, 9:1). НК спектр (CHCl₃) v, см⁻¹: 3480 (NH), 2735, 2785 (об. Больм). Найдено %: С 81,52; Н 7,53; N 10,40. С₁₈Н₂₀N₂. Вычислено %: С 81,77; Н 7,62; N 10,59.

Цис-син- и цис-анти—1,2,3,4,4а,5,7,8,13b,13c-декагидро-13H-бенз(g) индоло(2,3-а) индолизины (IVa, б). 0,005 моля ненасыщенного основания (IIIa, б) в 100 мл безводного спирта в присутствии 0,05 г платиновой черни гидрировалось до прекращения поглощения водорода. Поглощалось 125 мл водорода. Катализатор отфильтровывался, промывался спиртом и растворитель отгонялся в вакууме. Затем остаток растворялся в эфире, высушивался над едким кали и пропускался через слой окиси алюминия. После отгонки растворителя выход 92%. Найдено %: С 81,27; Н 7,50; N 10,50. С₁₈Н₂₀N₂. Вычислено %: С 81,77; Н 7,62; N 10,60. Вещество растворено в очень малом количестве бензола и разделено на колонке с окисью алюминия в системе бензол—хлороформ.

Изомер цис-син R, 0,75, выход 30%, ИК, ЯМР спектры идентичны

со спектрами вещества, описанными ранее [3].

Изомер цис-анти R, 0,68, выход 25%, т. пл. 205—206°, не дает депрессии с ранее полученным веществом [3]. ИК, ЯМР спектры также идентичны.

- 1. G. C. Morrison, W. Cetenko, J. Shavel, J. Org. Chem., 32, 4089 (1967).
- 2. N. Almi, E. Jamanaka, J. Endo, S. Sakal, J. Haginiwa. Tetrah., 29, 2015 (1973).
- 3. С. А. Погосян, А. Г. Терзян. Г. Т. Татевосян, Д. З. Партев, Э. В. Власенко, Арм. хим. ж., 31, 260 (1978).
- 4. С. А. Погосян, А. Г. Терэян, А. Б. Исраелян, Г. Т. Татьвосян, Арм. хим. ж., 27, 597 (1974).

XXXII, № 2, 1979

УДК541.124

О МЕТОДИКЕ ИЗУЧЕНИЯ ВЛИЯНИЯ ДОБАВОК ПЕРЕКИСИ ВОДОРОДА, АЦЕТАЛЬДЕГИДА И ПАРОВ ВОДЫ НА МЕДЛЕННУЮ РЕАКЦИЮ ТЕРМИЧЕСКОГО ОКИСЛЕНИЯ ПРОПАНА

г. ш. алавердян

Институт химической физики АН Армянской ССР, Ереван Поступило 23 VI 1978

В работе [1] нами было показано, что в реакторе, обработанном борной кислотой, при термическом окислении пропана выше 380° образуются большие концентрации перекиси водорода. При температурах 380° и выше были обнаружены большие концентрации радикалов НО₂. Был рассмотрен механизм [1, 2], в котором предполагалось, что ответственной за вырожденное разветвление в высокотемпературной области окисления пропана является перекись водорода. Для выяснения роли перекиси водорода в реакции термического окисления пропана нами было изучено ее действие на кинетику процесса.

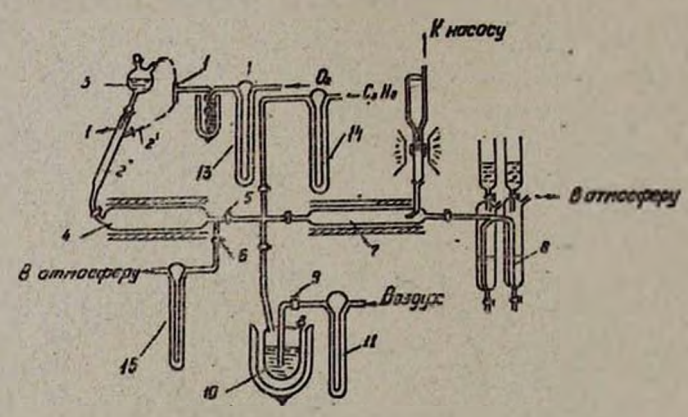


Рис. Схема установки для изучения влияния добавок перекиси водорода на реакцию окисления пропана.

Для подачи перекиси водорода в струю пропана с кислородом была разработана специальная методика. Схема установки для изучения влияния добавок перекиси водорода на реакцию окисления пропана приведена на рисунке. Перекись водорода наливалась в сосуд (3), к удлиненному концу которого был припаян капилляр (1). Кислород, поступая через реометр (13) по тройнику (1'), с помощью капилляра, уста-

новленного в рукаве, расположениом ближе к отверстию (2'), создавал определенную разность давлений на перекись водорода. Перекись водорода, стекая по каплям из капилляра (1), испарялась на горячей поверхности стеклянной трубки (2), нагреваемой до 150°, и одновременно увлекалась кислородом, поступающим из (2'). Далее для лучшего перемешивания кислород-перекисная смесь попадала в стеклянный сосуд (4) (длиной 17 см, диаметром 6 см), помещенный в печь, нагреваемую до 150°. Большой объем сосуда (4) был выбран для предотвращения пульсаций в реометрах при испарении перекиси водорода на поверхности трубки (2). Все коммуникационные пути и сосуд (4) были обработаны борной кислотой для сведения к минимуму разложения Н2О2 [3], наблюдаемого в отсутствие обработки борной кислотой. Пропан, подаваемый через реометр (14), перемешивался с кислород-перекисной смесью, выходящей из солуда (4), и подавался в зварцевый реактор (7) (l=15 см, d=1,5 см). Постоянная концентрация добавок перекиси водорода в реакторе (7) при различных временах контакта пропан-кислородной смеси достигалась с помощью кранов (5) и (6). Излишняя доля кислород-перекисной смеси отводилась через реометр (15) и выпускалась в атмосферу. Перекись водорода накапливалась за фиксированный промежуток времени в скрубере (8) и анализировалась фотоколориметрическим методом. Концентрация добавленной перекиси водорода в пропан-кислородной смеси равнялась 1-1017 част /см3, что соответствовало ее максимальной концентрации в реакции.

Так как во всех опытах использовалась 33% перекись водорода, а остальную долю составляла вода, проводилось также изучение действия добавок воды на кинетику окисления пропана. Концентрация добавленной воды в смеси пропана с кислородом равнялась 3·10¹⁷ част/см³.

Кроме добавок перекиси водорода, изучалось также действие на реакцию окисления добавок ацетальдегида совместно с перекисью водорода. С этой целью воздух, подаваемый через реометр (11) и кран (9), поступал в сосуд (10) с альдегидом, помещенный в термостат, при —42°, и, смешнваясь дальше с пропан-кислородной смесью и перекисью водорода, поступал в реактор (7). Концентрация ацетальдегида в пропан-кислородной смеси составляла 0,34·10¹⁷ част/см³.

Изучению в струевых условиях подвергалась смесь пропана с кислородом в соотношении 3:1 при атмосферном давлении и температурах 325, 380 и 450° без добавки, с добавкой H_2O_2 и H_2O_2 совместно с ацетальдегидом.

Чистота пропана составляла 99,9%. Продукты реакции анализировались хроматографически, а радикалы НО₂ регистрировались с использованием кинетического метода вымораживания радикалов в сочетании с ЭПР спектрометром [4].

При температурах 325 и 380° добавление отдельно перекиси водорода, а также перекиси водорода с ацетальдегидом в смесь пропана с кислородом практически не влияло на время проявления всех продуктов реакции. Иные результаты получены при 450°. Как показали опыты,

влияние добавок H_2O_2 и H_2O_2 совместно с ацетальдегидом на кинетику процесса окисления пропана практически одинаково. При высоких температурах (430—450°) добавление перекиси водорода снимает период индукции накопления первичных продуктов—пропилена, водорода, радикалов HO_2 . Добавки паров воды при 380 и 450° не оказали заметного влияния на кинетику окисления пропана на начальной стадии реакции. Данные, полученные с применением вышеуказанной методики, позволяют предполягать, что H_2O_2 при высоких температурах является веществом, ответственным за вырожденное разветвление.

- 1. Г. Ш. Алавердян, Г. А. Сачян, А. Б. Налбандян, ДАН СССР, 204, 608 (1972).
- 2. Г. А. Сачян, Г. Ш. Алавердян, А. Б. Налбандян, ДАН СССР, 204, 883 (1972). 3. И. К. Шахназарян, Т. М. Дангян, Г. Ш. Алавердян, Г. А. Сачян, А. Б. Налбандян,
- 11 Всесоюзн. конференция по кинетике и механизму газофазных реакция, Тонлися, 1971.
- 4. А. Б. Налбандян, А. А. Манташян, Элементарные процессы в медленных газофазных реакциях, Изд. АН Арм. ССР, Ереван, 1976.

XXXII, № 2, 1979

письма в РЕДАКЦИЮ

УДК 642.043.43:541.135.86:541.127

ОБРАЗОВАНИЕ РАДИКАЛОВ ОН ПРИ РАСПАДЕ ГИДРОПЕРЕКИСИ МЕТИЛА НА ПЛАТИНОВОЙ ПОВЕРХНОСТИ

Ранее [1—4] методом вымораживания радикалов в сочетании с ЭПР [5] было показано, что в отличие от принятых представлений органические перекиси при низких температурах в газовой фазе распадаются по гетерогенно-радикальному механизму с переходом части образующихся радикалов с поверхности катализатора в объем.

При распаде надуксусной и надпропионовой кислот, а также гидроперекиси метила регистрируются радикалы RO₂, а в случае распада надмуравьиной кислоты—радикалы HO₂.

Другим подтверждением гетерогенно-радикального распада органических перекисей, приводящего к образованию радикалов RO_2 , $R'O_2$ и OH, находящихся на поверхности платинового катализатора в относительно свободном состоянии, могли бы служить опыты по фиксации радикалов OH_{*Ac} .

Настоящее сообщение посвящено фиксации радикалов ОН_{адс.}, появляющихся на поверхности катализатора—платиновой сетки в процессе адсорбции и распада гидроперекиси метила

Методика опытов подробно описана в [3]. Опыты проводились в проточных условиях при $T=250^{\circ}$ и $\tau=7.5\times10^{-4}$ сек. Носителем служил N_2 , содержащий до 0,5% O_2 . Ксицентрация гидроперекиси в газе составляла 0,15%. Количество распавшейся перекиси составляло 6.5×15^{16} част/см³, а концентрация радикалов, перешедших в объем, $\sim10^{15}$ част/см³.

Из литературы [6] известно, что радикалы ОН при низких температурах с большой скоростью реагируют в объеме с СО по реакции ОН + СО → СО₂ + Н, приводя к образованию СО₂. Предполагая, что эта реакция на поверхности катализатора будет протекать со скоростью не меньшей, чем в объеме, в серии опытов № был заменен на СО. Было показано, что замена № на СО практически не влияет на скорость распада СН₃ООН и выход перекисных радикалов в пределах ошибок опыта сохраняется неизменным. Выбор гидроперекиси метила в качестве объекта исследования был продиктован еще тем, что в отличие от надкислот [3, 4] в продуктах реакции СО₂ отсутствует.

Специальными опытами было установлено, что в отсутствие CH_3OOH окись углерода в условиях данных опытов не окисляется до CO_2 . В опытах с заменой N_2 на CO в продуктах были обнаружены углекислота и следы водорода ($\sim 10^{15}$ част/см³).

Концентрация СО₂ оказалась равной 5,4·10¹⁵ част/см³, т. е. очень близкой к концентрации распавшейся перекиси, равной 6,5·10¹⁶ част/см³. Отсюда следует, что концентрация радикалов ОН, приводящих к образованию СО₂, равна концентрации последней. Из литературы [7] известно, что радикалы ОН эффективно рекомбинируют на поверхности катализатора. Поэтому концентрация радикалов ОН, переходящих в объем, по крайней мере, на 2—3 порядка будет меньше и не сможет обеспечить наблюдаемый в опыте выход двуокиси углерода. Кроме того, наличие радикалов ОН в газовой фазе в больших концентрациях, в особенности в отсутствие СО, должно было бы привести к ряду вторичных процессов, в частности, к взаимодействию с органической перекисью, что привело бы к изменению первого порядка реакции при больших временах контакта, как это наблюдалось ранее [8].

Полученные результаты свидетельствуют об образовании на поверхности платины в процессе гетерогенного распада гидроперекиси метила относительно свободных радикалов OH_{вас}.

ЛИТЕРАТУРА

- 1. Г. О. Багдасарян, И. А. Варданян, А. Б. Налбандян, ДАН СССР, 224, 359 (1975).
- 2. Г. О. Багдасарян, Э. О. Оганесян, И. А. Варданян, Г. А. Сачян, А. Б. Налбандян, Арм. хим. ж., 29, 899 (1976).
- 3. Г. О. Багдасарян, И. А. Варданян, А. Б. Налбандян, ДАН СССР, 231, 362 (1976).
- Научная сессия по электронному парамагиитному резонансу, 5—7 января 1977 года, Тбилиси.
- А. Б. Налбандян, А. А. Манташян, Элементарные процессы в медленных газофазных реакциях, Изд. АН АрмССР, Ереван, 1976.
- 6. В. Н. Кондратьсв, Константы скорости газофазила реакций, Изд. «Наука», М., 1971, стр. 209.
- 7. А. Б. Налбандян, В. В. Боеводский, Механизм горения водорода, М., 1949.
- 8. Г. О. Багдасарян, И. В. Варданян, А. Б. Намбандян, ДАН СССР, 224, 359 (1975).

Г. О. БАГДАСАРЯН, И. А. ВАРДАНЯН, А. Б. НАЛБАНДЯН

Институт химической физики АН Арминской ССР, Ереван

Поступило 28 І 1977